

# Záznamy z JE

## Obsah

<b>Atlantis 1</b>	<b>2</b>
Axiální ofset . . . . .	2
Koncentrace kyseliny borité . . . . .	2
Pokazetový koeficient nevyrovnání výkonu . . . . .	3
<b>Atlantis 2</b>	<b>4</b>
Axiální ofset . . . . .	4
Koncentrace kyseliny borité . . . . .	4
Pokazetový koeficient nevyrovnání výkonu . . . . .	5
<b>Atlantis 3</b>	<b>6</b>
Axiální ofset . . . . .	6
Koncentrace kyseliny borité . . . . .	6
Pokazetový koeficient nevyrovnání výkonu . . . . .	7
<b>Atlantis 4</b>	<b>8</b>
Axiální ofset . . . . .	8
Koncentrace kyseliny borité . . . . .	8
Pokazetový koeficient nevyrovnání výkonu . . . . .	9
<b>Atlantis 5</b>	<b>10</b>
Axiální ofset . . . . .	10
Koncentrace kyseliny borité . . . . .	10
Pokazetový koeficient nevyrovnání výkonu . . . . .	11
<b>Atlantis 6</b>	<b>12</b>
Axiální ofset . . . . .	12
Koncentrace kyseliny borité . . . . .	12
Pokazetový koeficient nevyrovnání výkonu . . . . .	13
<b>Atlantis 7</b>	<b>14</b>
Axiální ofset . . . . .	14
Koncentrace kyseliny borité . . . . .	14
Pokazetový koeficient nevyrovnání výkonu . . . . .	15
<b>Atlantis 8</b>	<b>16</b>
Axiální ofset . . . . .	16
Koncentrace kyseliny borité . . . . .	16
Pokazetový koeficient nevyrovnání výkonu . . . . .	17
<b>Atlantis 9</b>	<b>18</b>
Axiální ofset . . . . .	18
Koncentrace kyseliny borité . . . . .	18
Pokazetový koeficient nevyrovnání výkonu . . . . .	19

<b>Atlantis 10</b>	<b>20</b>
Axiální ofset . . . . .	20
Koncentrace kyseliny borité . . . . .	20
Pokazetový koeficient nevyrovnání výkonu . . . . .	21
<b>Atlantis 11</b>	<b>22</b>
Axiální ofset . . . . .	22
Koncentrace kyseliny borité . . . . .	22
Pokazetový koeficient nevyrovnání výkonu . . . . .	23
<b>Atlantis 12</b>	<b>24</b>
Axiální ofset . . . . .	24
Koncentrace kyseliny borité . . . . .	24
Pokazetový koeficient nevyrovnání výkonu . . . . .	25
<b>Atlantis 13</b>	<b>26</b>
Axiální ofset . . . . .	26
Koncentrace kyseliny borité . . . . .	26
Pokazetový koeficient nevyrovnání výkonu . . . . .	27
<b>Atlantis 14</b>	<b>28</b>
Axiální ofset . . . . .	28
Koncentrace kyseliny borité . . . . .	28
Pokazetový koeficient nevyrovnání výkonu . . . . .	29
<b>Atlantis 15</b>	<b>30</b>
Axiální ofset . . . . .	30
Koncentrace kyseliny borité . . . . .	30
Pokazetový koeficient nevyrovnání výkonu . . . . .	31
<b>Atlantis 16</b>	<b>32</b>
Axiální ofset . . . . .	32
Koncentrace kyseliny borité . . . . .	32
Pokazetový koeficient nevyrovnání výkonu . . . . .	33
<b>Atlantis 17</b>	<b>34</b>
Axiální ofset . . . . .	34
Koncentrace kyseliny borité . . . . .	34
Pokazetový koeficient nevyrovnání výkonu . . . . .	35
<b>CandyMountain 1</b>	<b>36</b>
Axiální ofset . . . . .	36
Koncentrace kyseliny borité . . . . .	36
Pokazetový koeficient nevyrovnání výkonu . . . . .	37
<b>CandyMountain 2</b>	<b>38</b>
Axiální ofset . . . . .	38
Koncentrace kyseliny borité . . . . .	38
Pokazetový koeficient nevyrovnání výkonu . . . . .	39
<b>CandyMountain 3</b>	<b>40</b>
Axiální ofset . . . . .	40
Koncentrace kyseliny borité . . . . .	40
Pokazetový koeficient nevyrovnání výkonu . . . . .	41

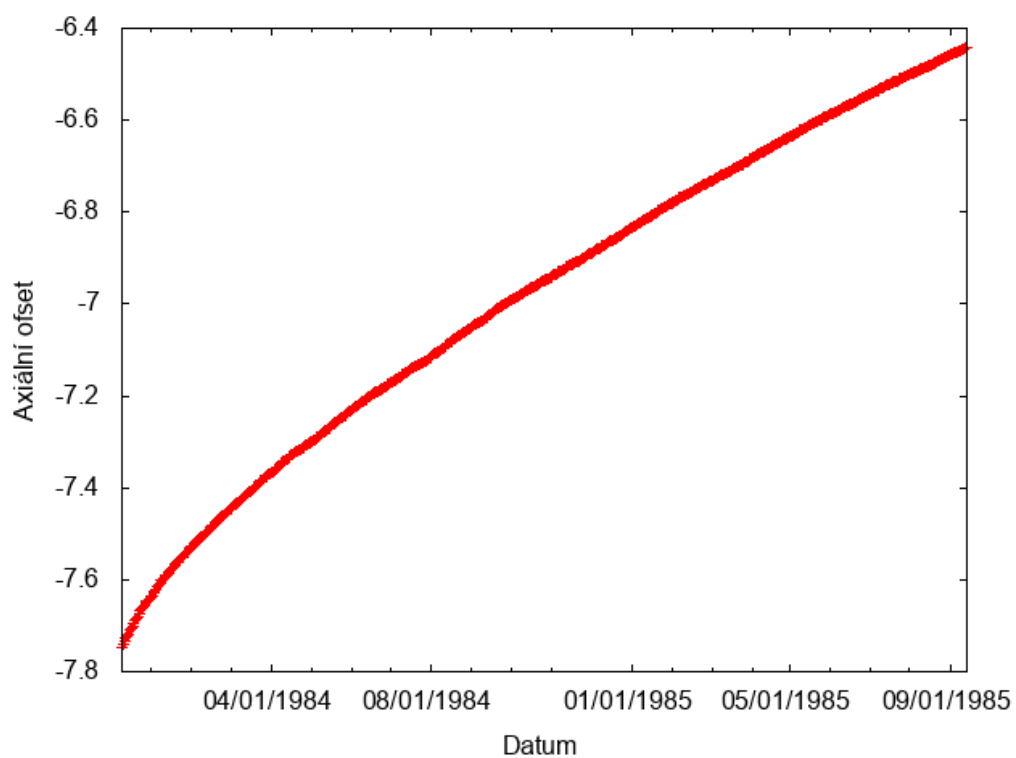
<b>CandyMountain 4</b>	<b>42</b>
Axiální ofset . . . . .	42
Koncentrace kyseliny borité . . . . .	42
Pokazetový koeficient nevyrovnání výkonu . . . . .	43
<b>CandyMountain 5</b>	<b>44</b>
Axiální ofset . . . . .	44
Koncentrace kyseliny borité . . . . .	44
Pokazetový koeficient nevyrovnání výkonu . . . . .	45
<b>CandyMountain 6</b>	<b>46</b>
Axiální ofset . . . . .	46
Koncentrace kyseliny borité . . . . .	46
Pokazetový koeficient nevyrovnání výkonu . . . . .	47
<b>CandyMountain 7</b>	<b>48</b>
Axiální ofset . . . . .	48
Koncentrace kyseliny borité . . . . .	48
Pokazetový koeficient nevyrovnání výkonu . . . . .	49
<b>CandyMountain 8</b>	<b>50</b>
Axiální ofset . . . . .	50
Koncentrace kyseliny borité . . . . .	50
Pokazetový koeficient nevyrovnání výkonu . . . . .	51
<b>CandyMountain 9</b>	<b>52</b>
Axiální ofset . . . . .	52
Koncentrace kyseliny borité . . . . .	52
Pokazetový koeficient nevyrovnání výkonu . . . . .	53
<b>CandyMountain 10</b>	<b>54</b>
Axiální ofset . . . . .	54
Koncentrace kyseliny borité . . . . .	54
Pokazetový koeficient nevyrovnání výkonu . . . . .	55
<b>CandyMountain 11</b>	<b>56</b>
Axiální ofset . . . . .	56
Koncentrace kyseliny borité . . . . .	56
Pokazetový koeficient nevyrovnání výkonu . . . . .	57
<b>CandyMountain 12</b>	<b>58</b>
Axiální ofset . . . . .	58
Koncentrace kyseliny borité . . . . .	58
Pokazetový koeficient nevyrovnání výkonu . . . . .	59
<b>CandyMountain 13</b>	<b>60</b>
Axiální ofset . . . . .	60
Koncentrace kyseliny borité . . . . .	60
Pokazetový koeficient nevyrovnání výkonu . . . . .	61
<b>CandyMountain 14</b>	<b>62</b>
Axiální ofset . . . . .	62
Koncentrace kyseliny borité . . . . .	62
Pokazetový koeficient nevyrovnání výkonu . . . . .	63

<b>CandyMountain 15</b>	<b>64</b>
Axiální ofset . . . . .	64
Koncentrace kyseliny borité . . . . .	64
Pokazetový koeficient nevyrovnání výkonu . . . . .	65
<b>Disneyland 1</b>	<b>66</b>
Axiální ofset . . . . .	66
Koncentrace kyseliny borité . . . . .	66
Pokazetový koeficient nevyrovnání výkonu . . . . .	67
<b>Disneyland 2</b>	<b>68</b>
Axiální ofset . . . . .	68
Koncentrace kyseliny borité . . . . .	68
Pokazetový koeficient nevyrovnání výkonu . . . . .	69
<b>Disneyland 3</b>	<b>70</b>
Axiální ofset . . . . .	70
Koncentrace kyseliny borité . . . . .	70
Pokazetový koeficient nevyrovnání výkonu . . . . .	71
<b>Disneyland 4</b>	<b>72</b>
Axiální ofset . . . . .	72
Koncentrace kyseliny borité . . . . .	72
Pokazetový koeficient nevyrovnání výkonu . . . . .	73
<b>Disneyland 5</b>	<b>74</b>
Axiální ofset . . . . .	74
Koncentrace kyseliny borité . . . . .	74
Pokazetový koeficient nevyrovnání výkonu . . . . .	75
<b>Disneyland 6</b>	<b>76</b>
Axiální ofset . . . . .	76
Koncentrace kyseliny borité . . . . .	76
Pokazetový koeficient nevyrovnání výkonu . . . . .	77
<b>Disneyland 7</b>	<b>78</b>
Axiální ofset . . . . .	78
Koncentrace kyseliny borité . . . . .	78
Pokazetový koeficient nevyrovnání výkonu . . . . .	79
<b>Disneyland 8</b>	<b>80</b>
Axiální ofset . . . . .	80
Koncentrace kyseliny borité . . . . .	80
Pokazetový koeficient nevyrovnání výkonu . . . . .	81
<b>Disneyland 9</b>	<b>82</b>
Axiální ofset . . . . .	82
Koncentrace kyseliny borité . . . . .	82
Pokazetový koeficient nevyrovnání výkonu . . . . .	83
<b>Disneyland 10</b>	<b>84</b>
Axiální ofset . . . . .	84
Koncentrace kyseliny borité . . . . .	84
Pokazetový koeficient nevyrovnání výkonu . . . . .	85

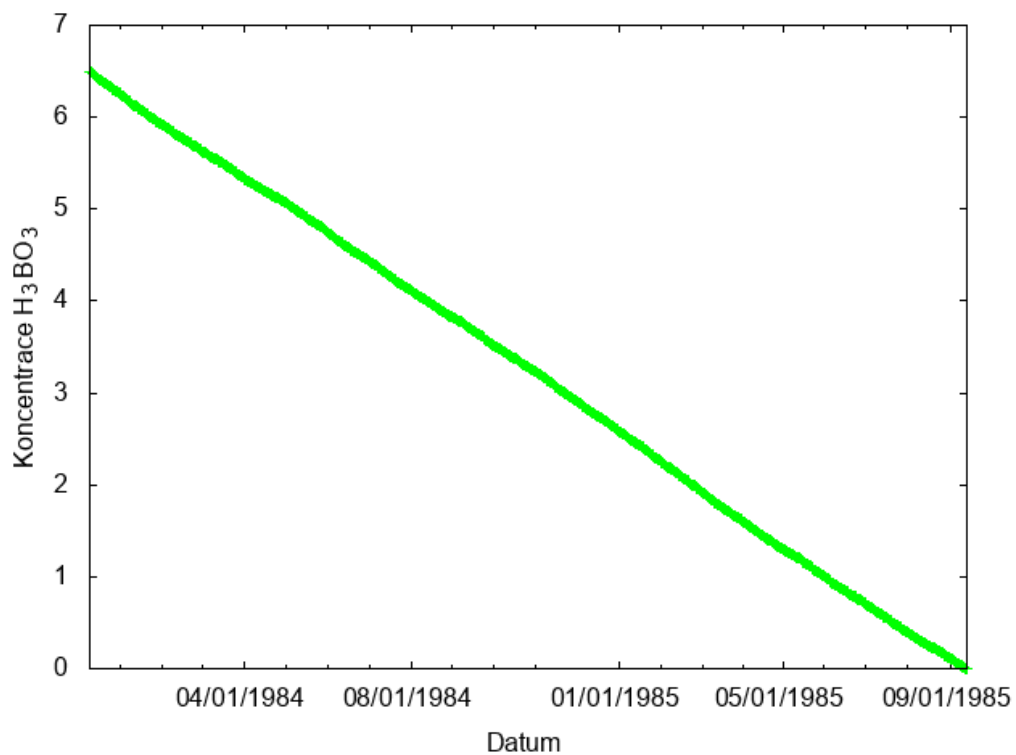
<b>Disneyland 11</b>	<b>86</b>
Axiální ofset . . . . .	86
Koncentrace kyseliny borité . . . . .	86
Pokazetový koeficient nevyrovnání výkonu . . . . .	87
<b>Disneyland 12</b>	<b>88</b>
Axiální ofset . . . . .	88
Koncentrace kyseliny borité . . . . .	88
Pokazetový koeficient nevyrovnání výkonu . . . . .	89
<b>Disneyland 13</b>	<b>90</b>
Axiální ofset . . . . .	90
Koncentrace kyseliny borité . . . . .	90
Pokazetový koeficient nevyrovnání výkonu . . . . .	91
<b>Disneyland 14</b>	<b>92</b>
Axiální ofset . . . . .	92
Koncentrace kyseliny borité . . . . .	92
Pokazetový koeficient nevyrovnání výkonu . . . . .	93
<b>Disneyland 15</b>	<b>94</b>
Axiální ofset . . . . .	94
Koncentrace kyseliny borité . . . . .	94
Pokazetový koeficient nevyrovnání výkonu . . . . .	95
<b>Disneyland 16</b>	<b>96</b>
Axiální ofset . . . . .	96
Koncentrace kyseliny borité . . . . .	96
Pokazetový koeficient nevyrovnání výkonu . . . . .	97
<b>Disneyland 17</b>	<b>98</b>
Axiální ofset . . . . .	98
Koncentrace kyseliny borité . . . . .	98
Pokazetový koeficient nevyrovnání výkonu . . . . .	99
<b>Disneyland 18</b>	<b>100</b>
Axiální ofset . . . . .	100
Koncentrace kyseliny borité . . . . .	100
Pokazetový koeficient nevyrovnání výkonu . . . . .	101

# Atlantis 1

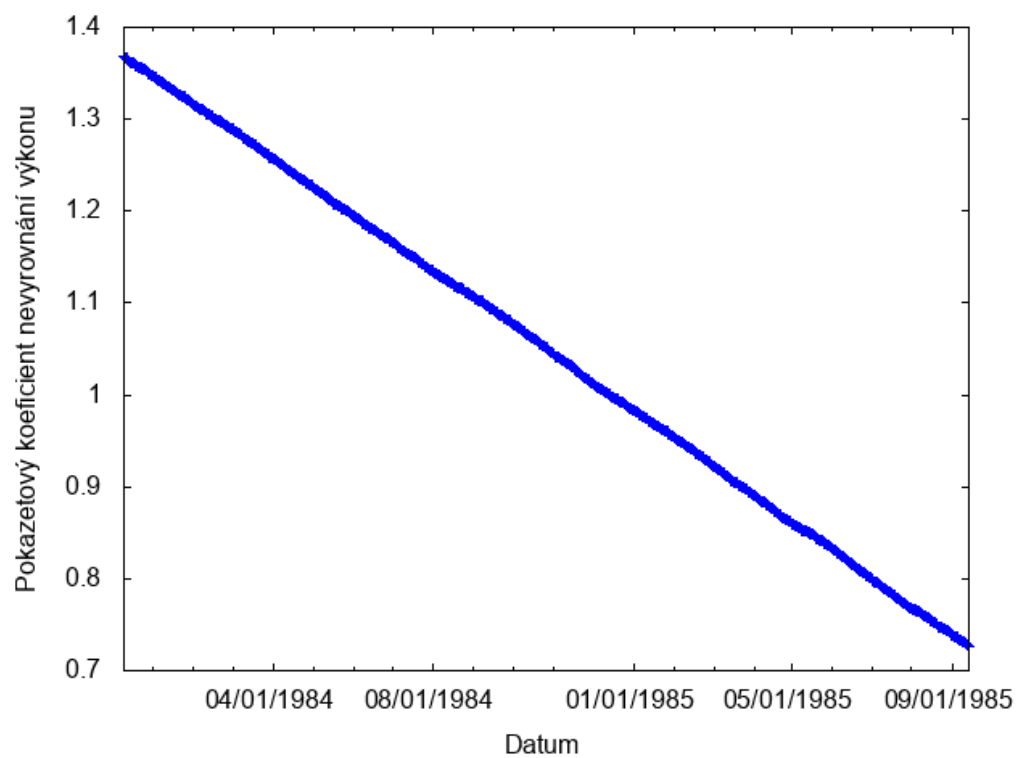
## Axiální ofset



## Koncentrace kyseliny borité

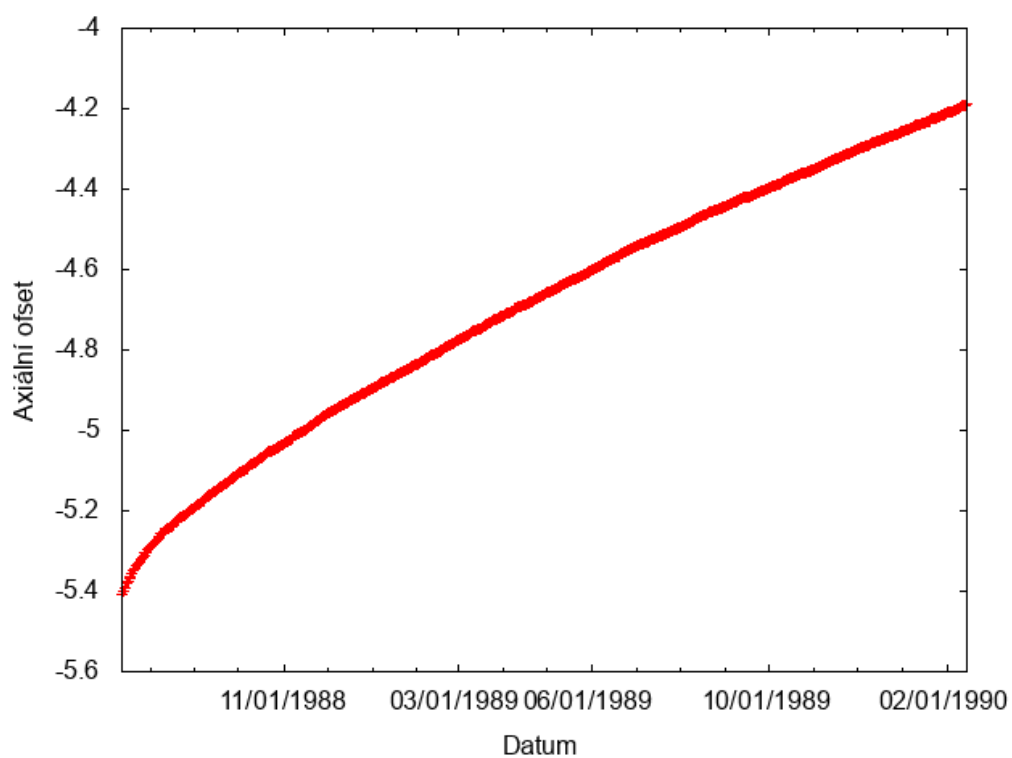


## Pokazetový koeficient nevyrovnání výkonu

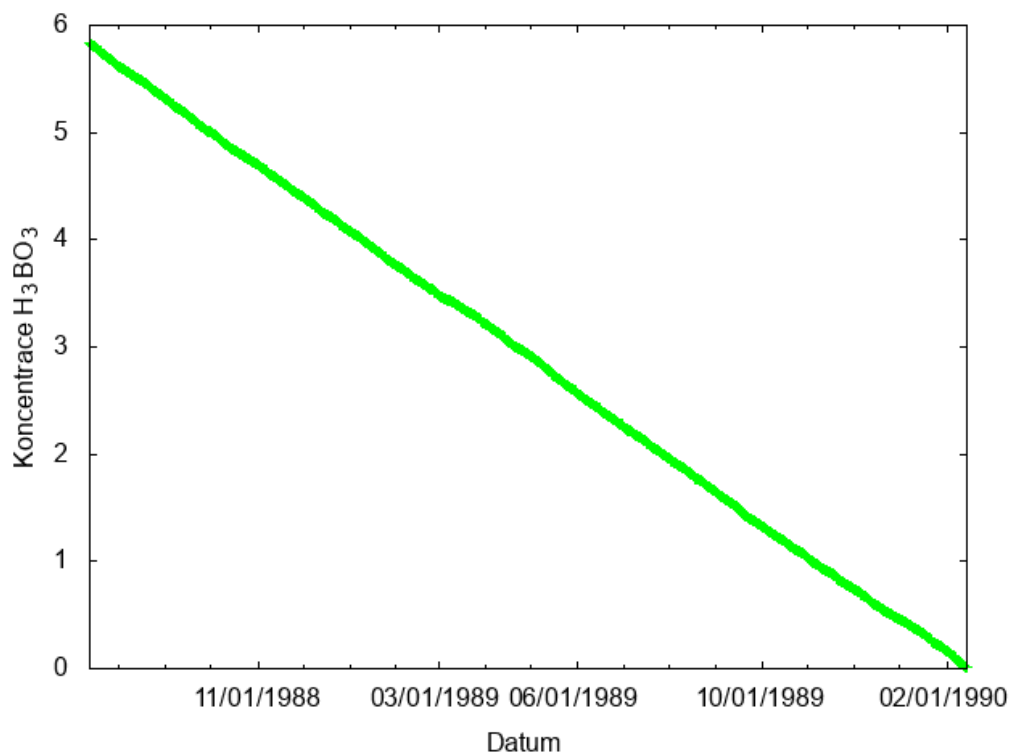


## Atlantis 2

### Axiální ofset

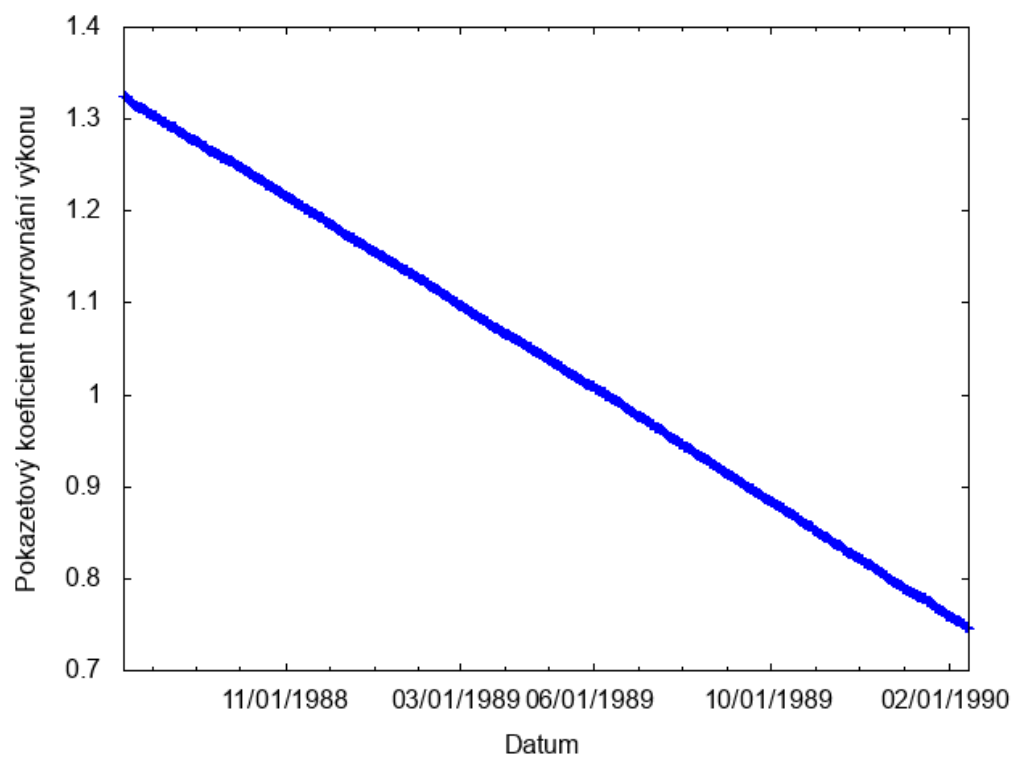


### Koncentrace kyseliny borité



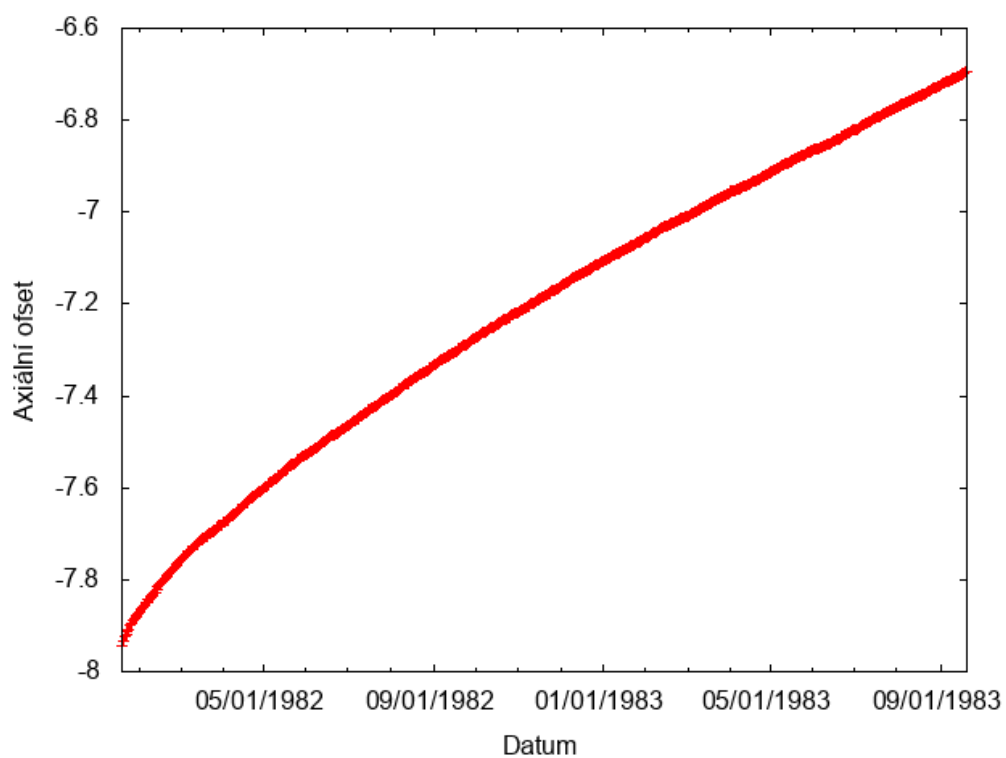


## Pokazetový koeficient nevyrovnání výkonu

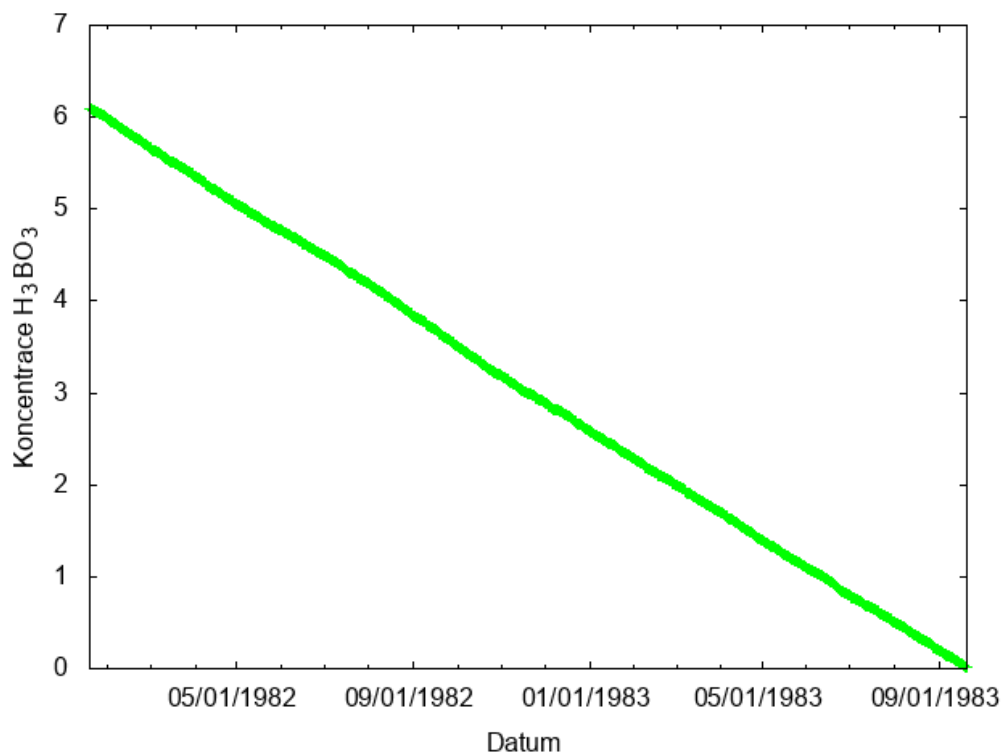


## Atlantis 3

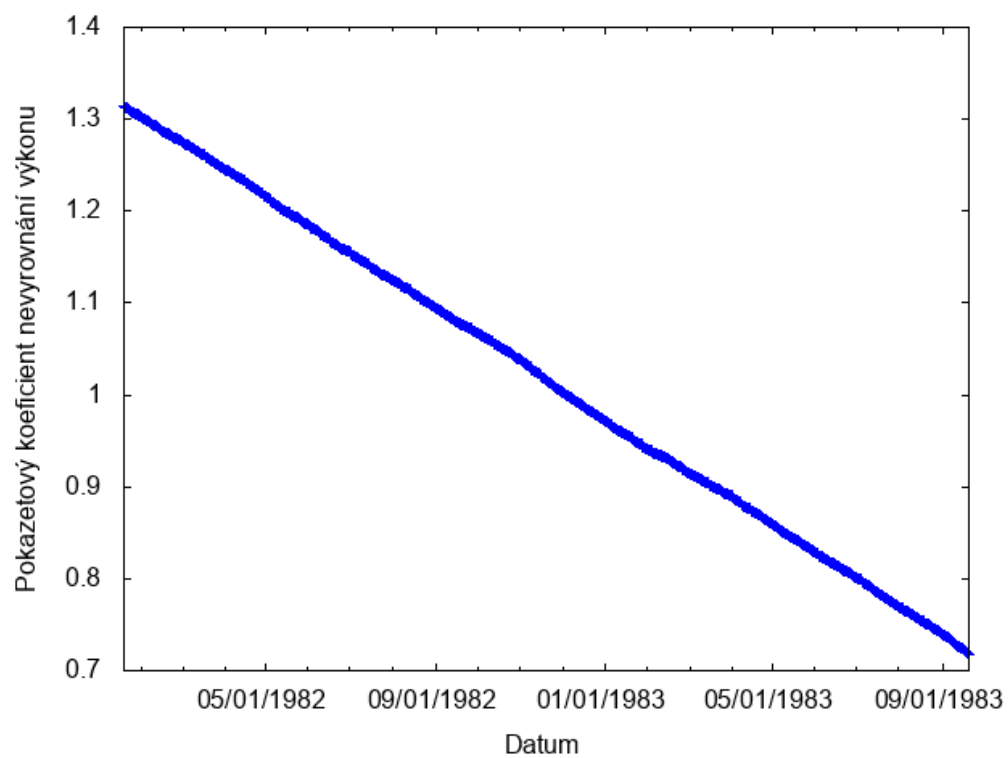
### Axiální ofset



### Koncentrace kyseliny borité

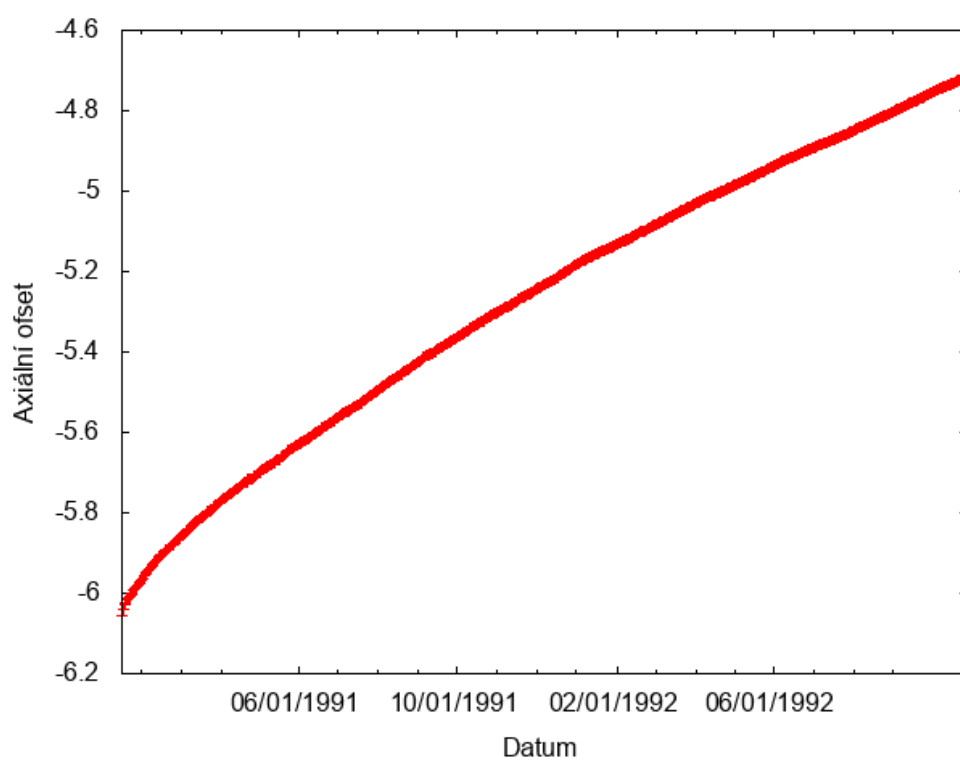


## Pokazetový koeficient nevyrovnání výkonu

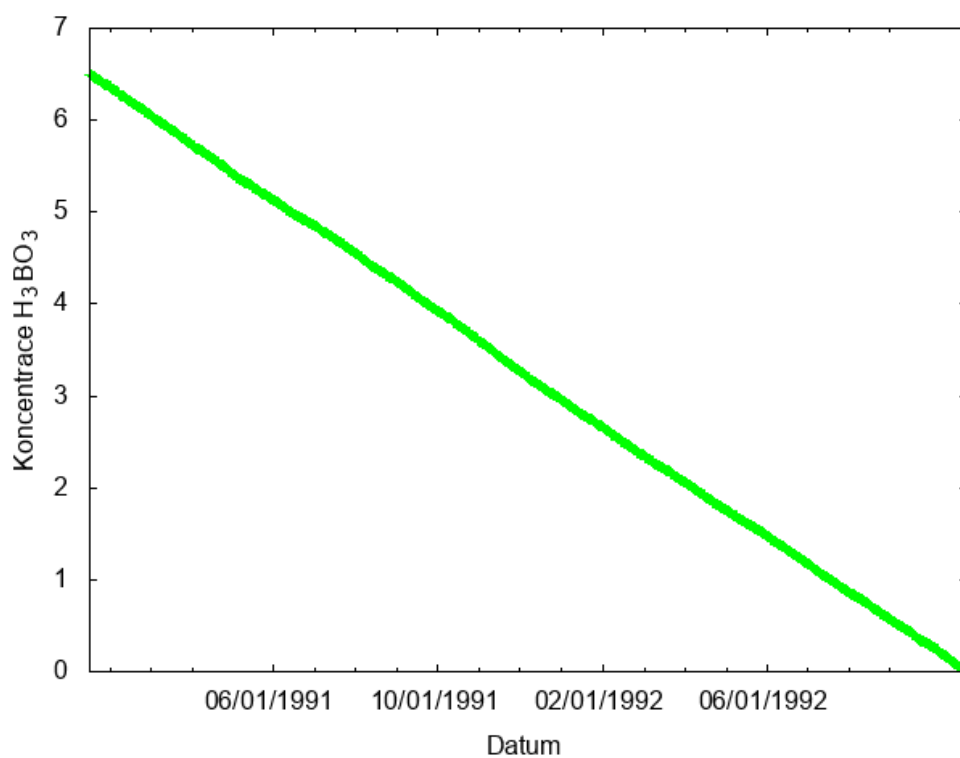


## Atlantis 4

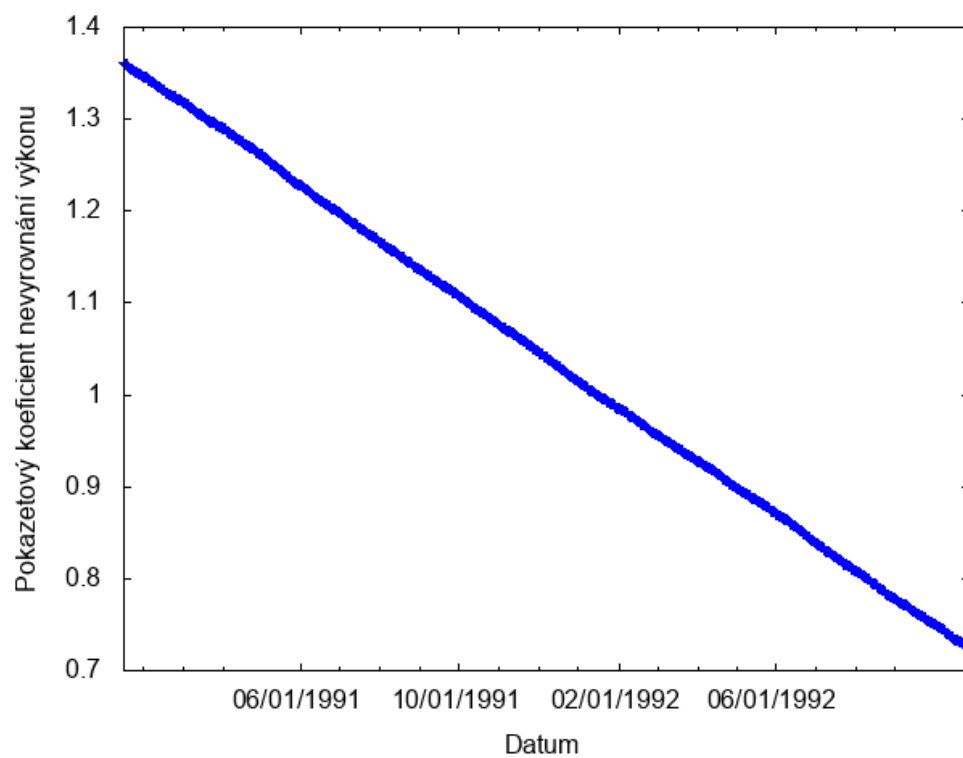
### Axiální ofset



### Koncentrace kyseliny borité

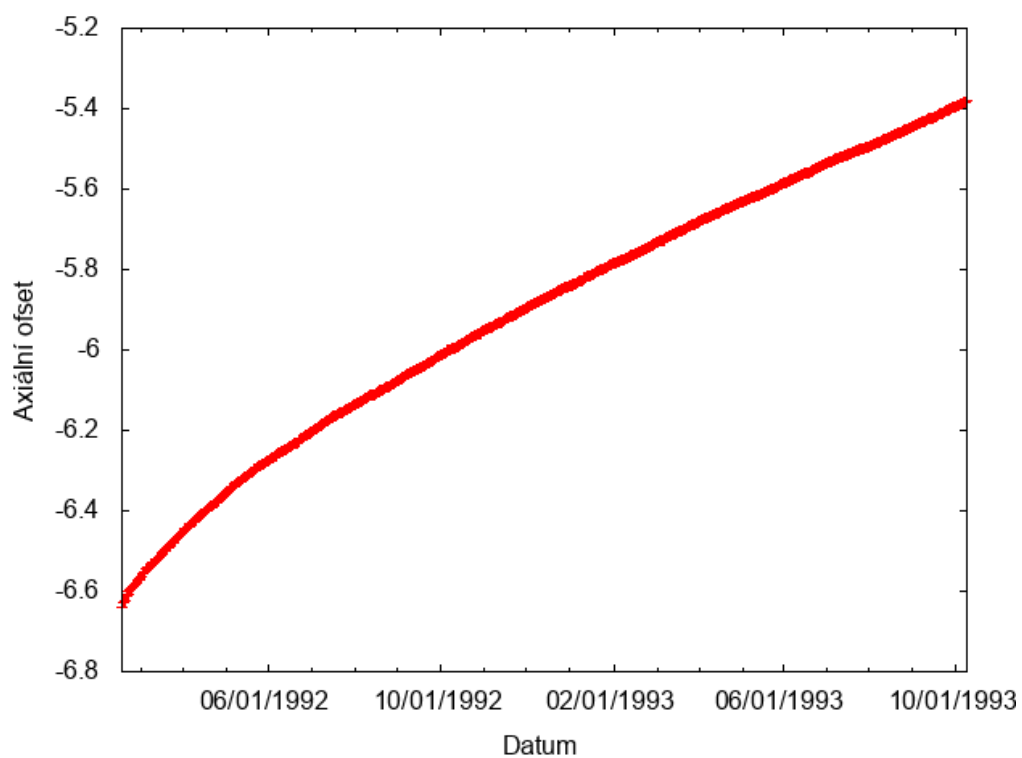


## Pokazetový koeficient nevyrovnání výkonu

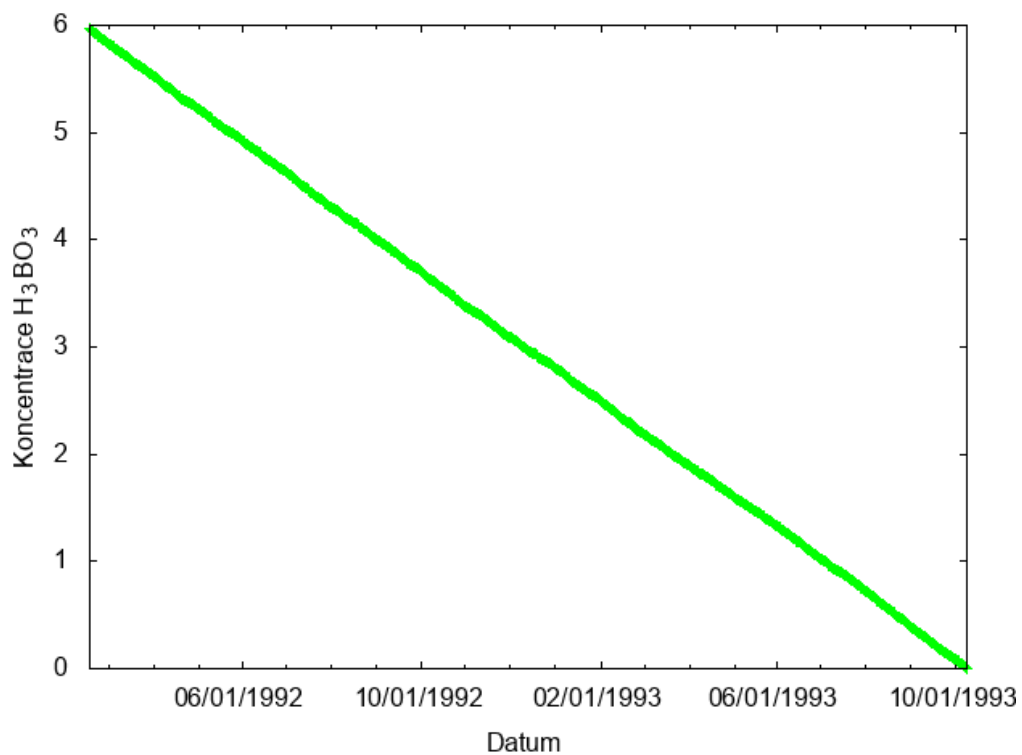


## Atlantis 5

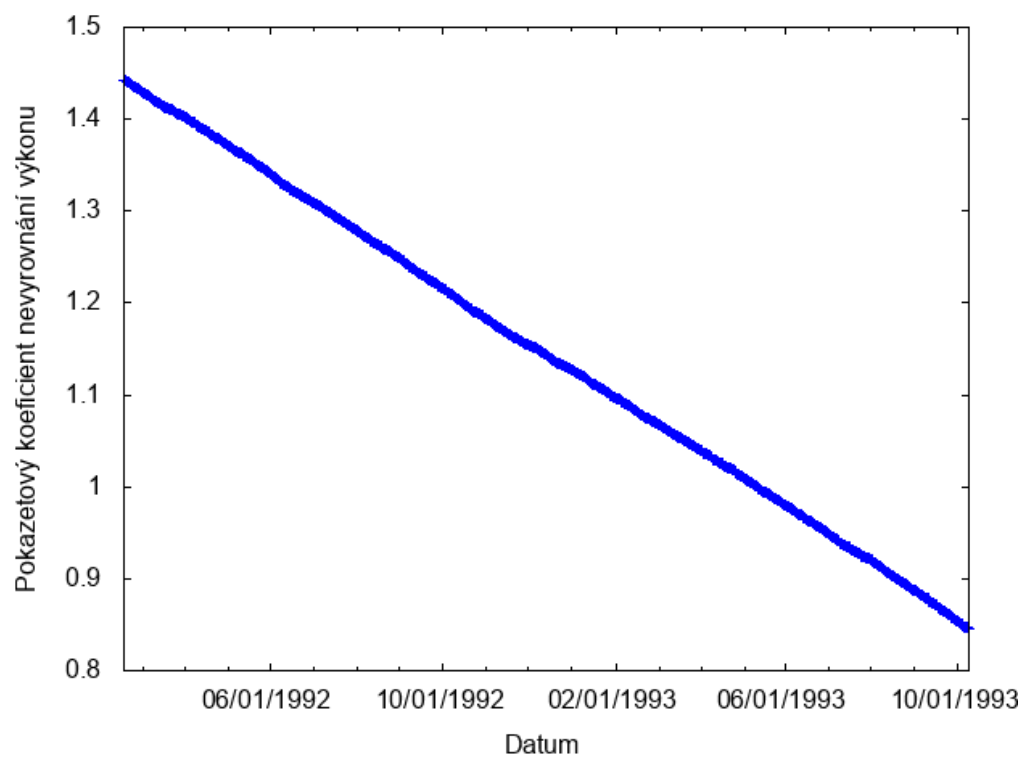
### Axiální ofset



### Koncentrace kyseliny borité

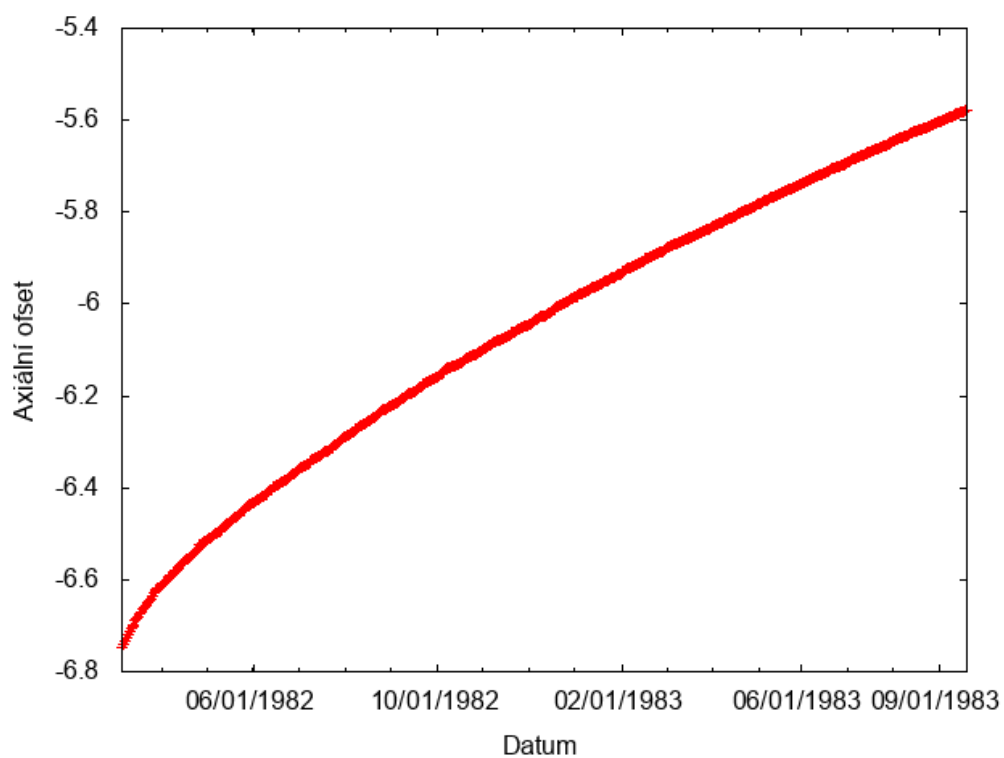


## Pokazetový koeficient nevyrovnání výkonu

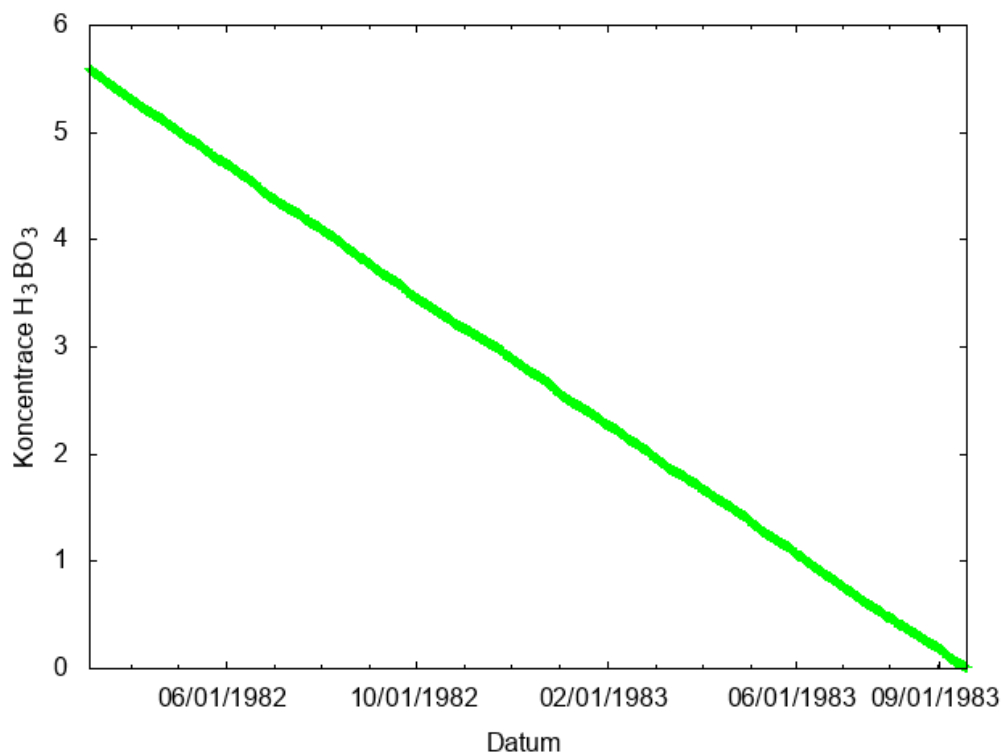


## Atlantis 6

### Axiální ofset

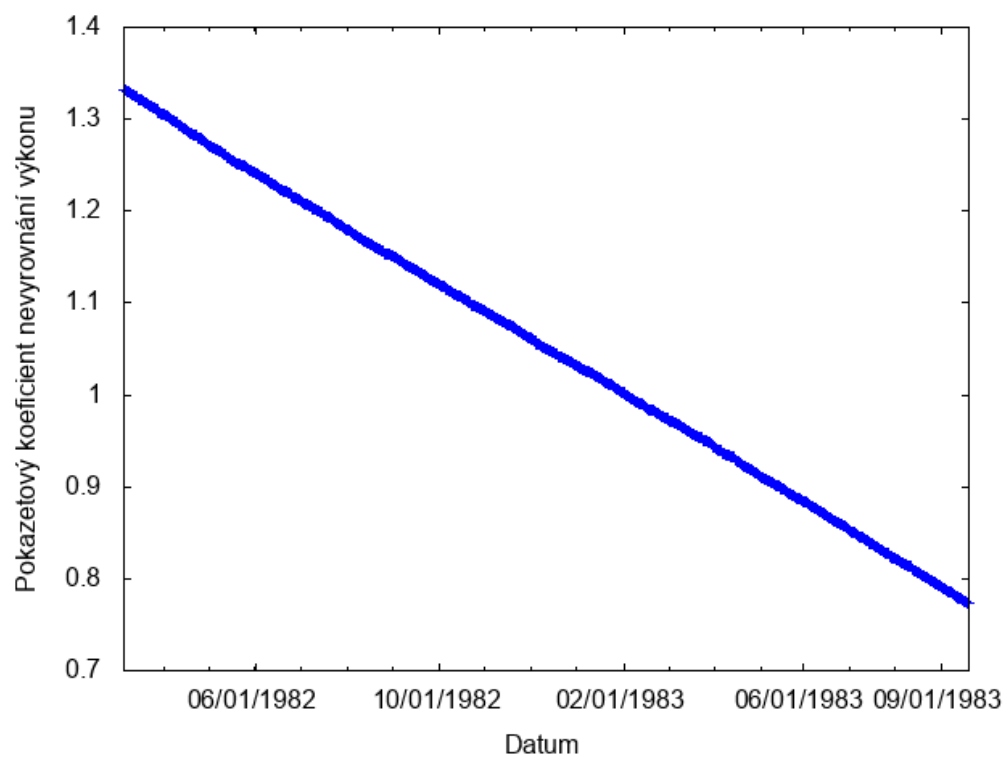


### Koncentrace kyseliny borité



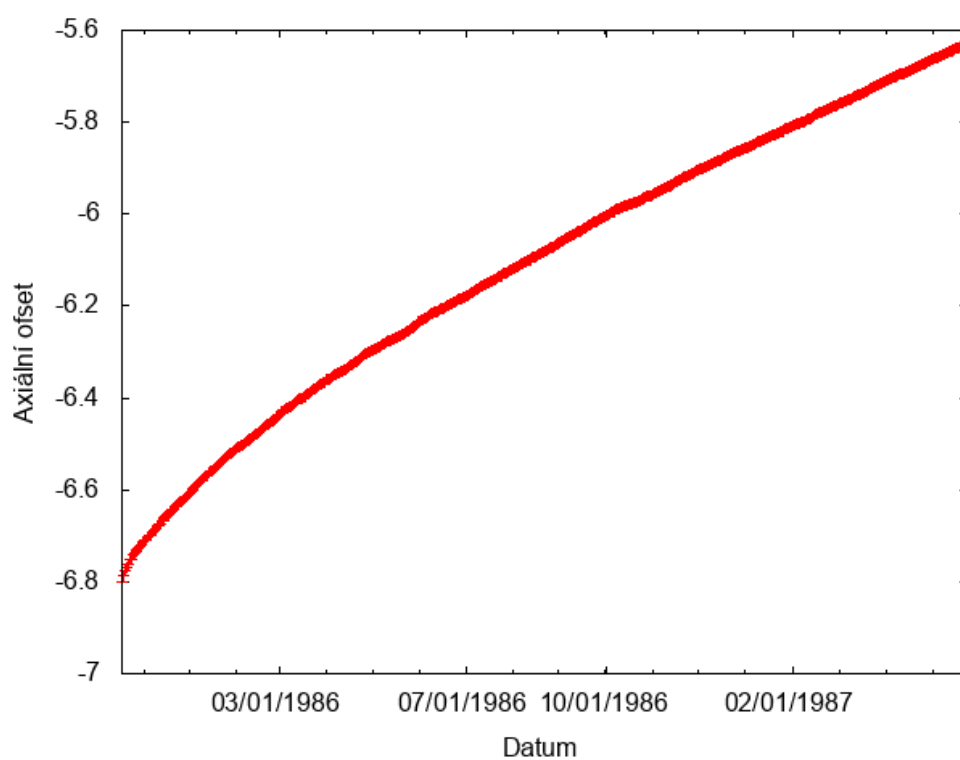


## Pokazetový koeficient nevyrovnání výkonu

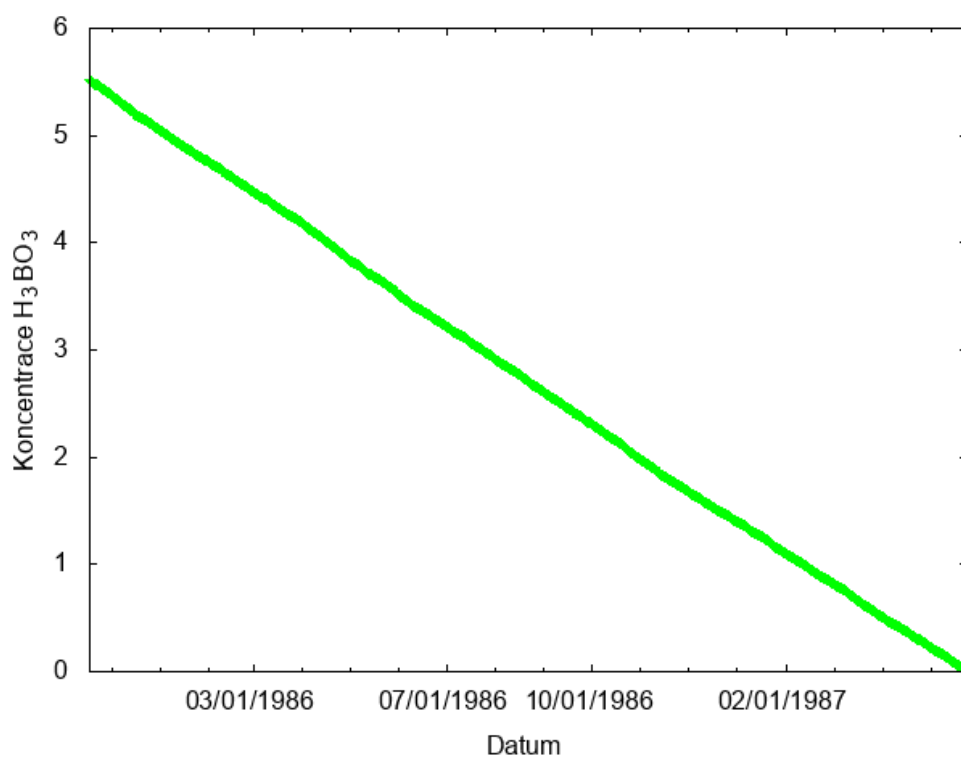


## Atlantis 7

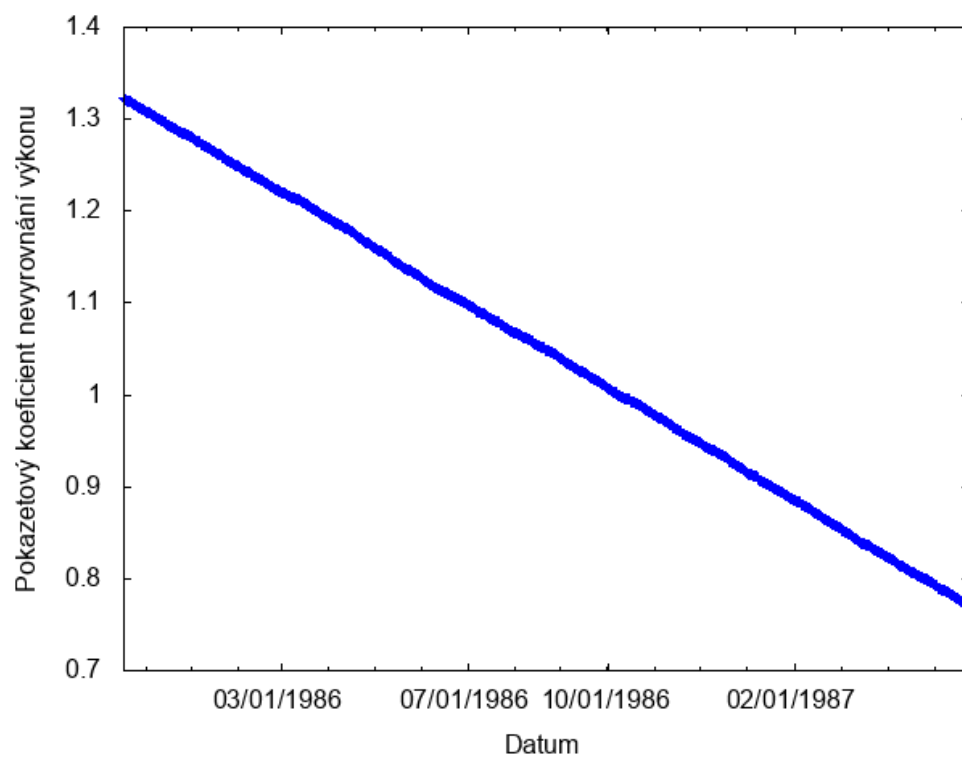
### Axiální ofset



### Koncentrace kyseliny borité

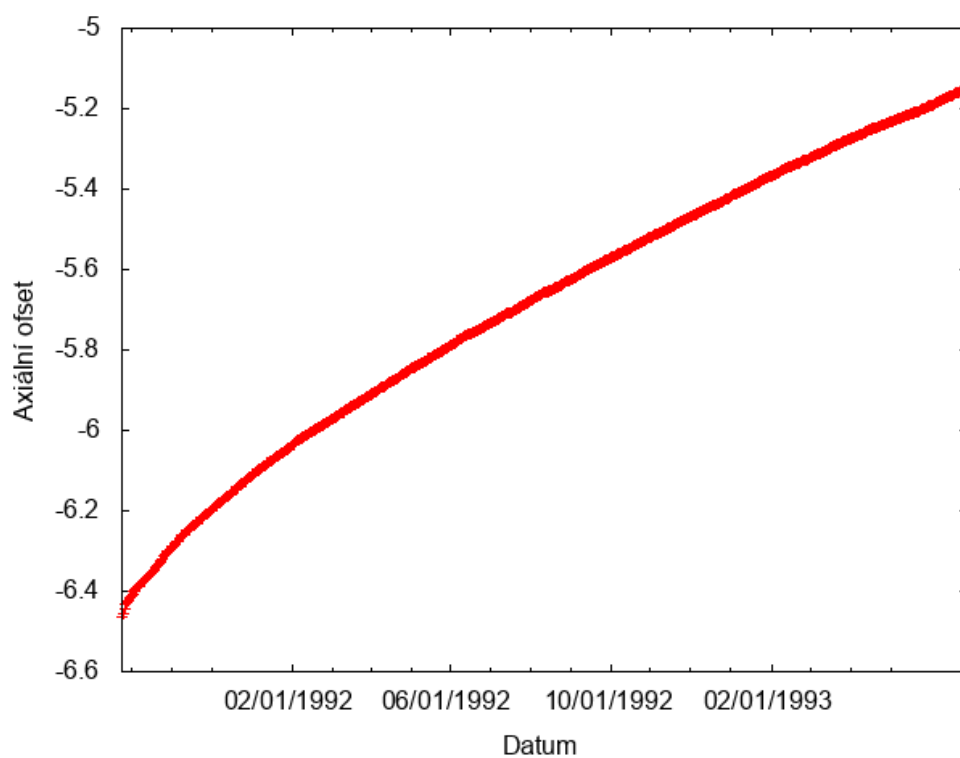


## Pokazetový koeficient nevyrovnání výkonu

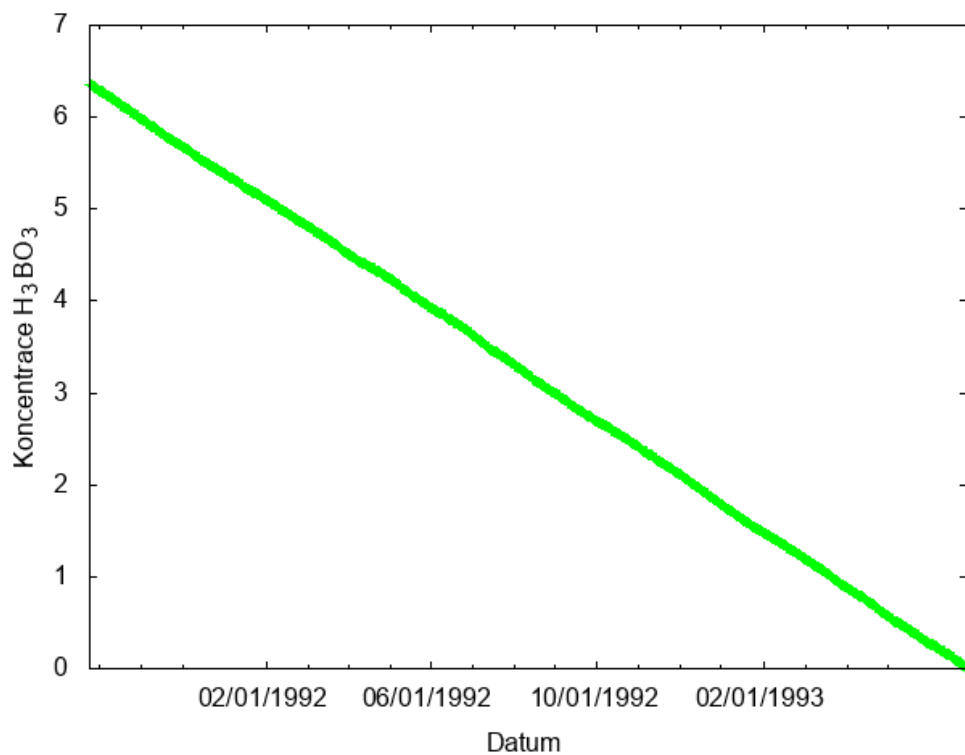


## Atlantis 8

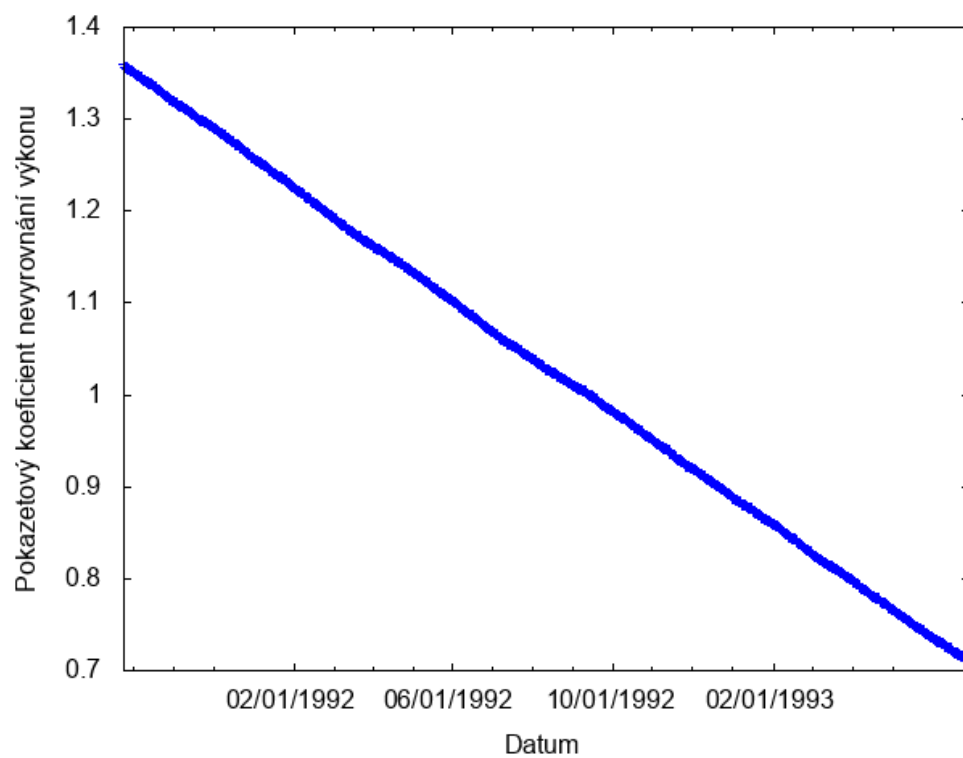
### Axiální ofset



### Koncentrace kyseliny borité

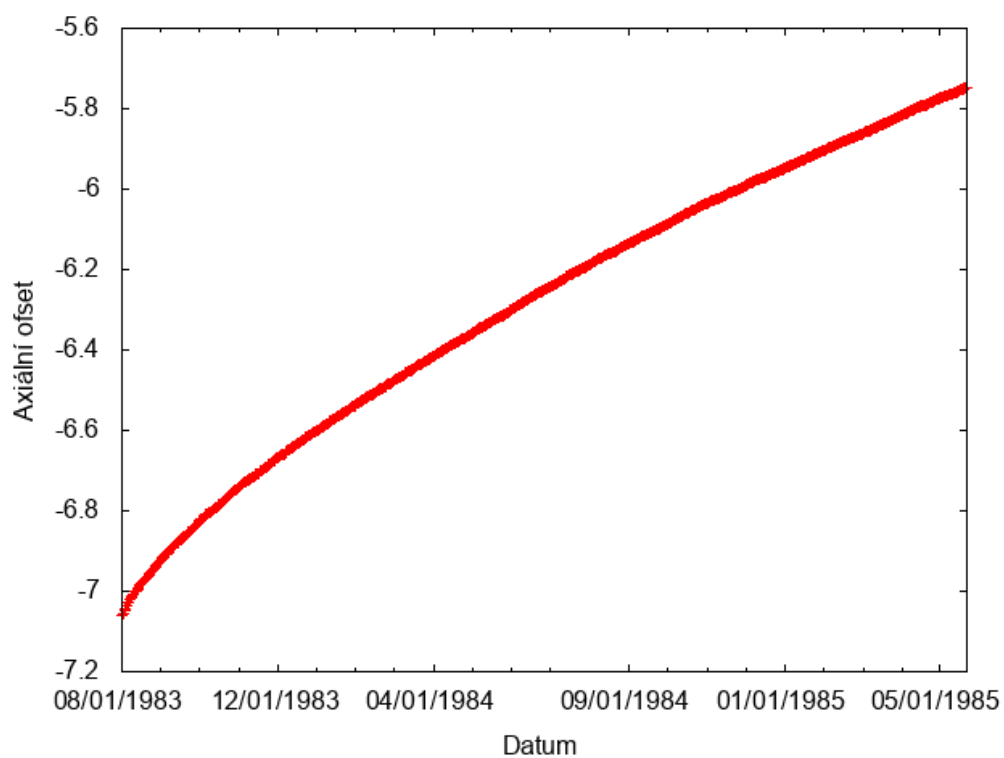


## Pokazetový koeficient nevyrovnání výkonu

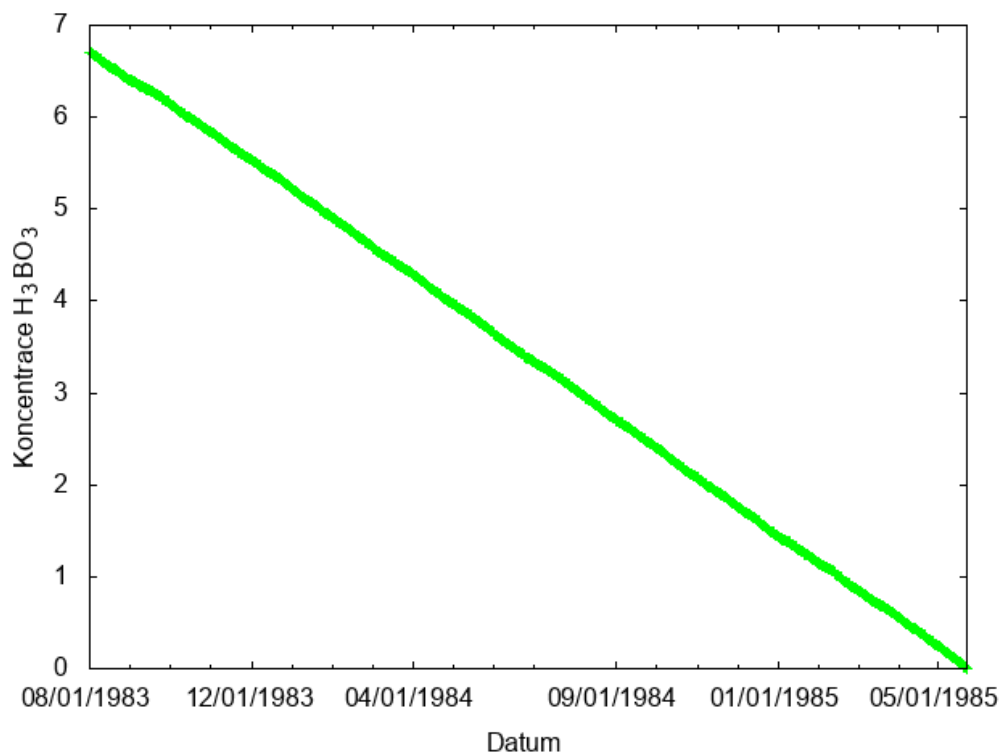


## Atlantis 9

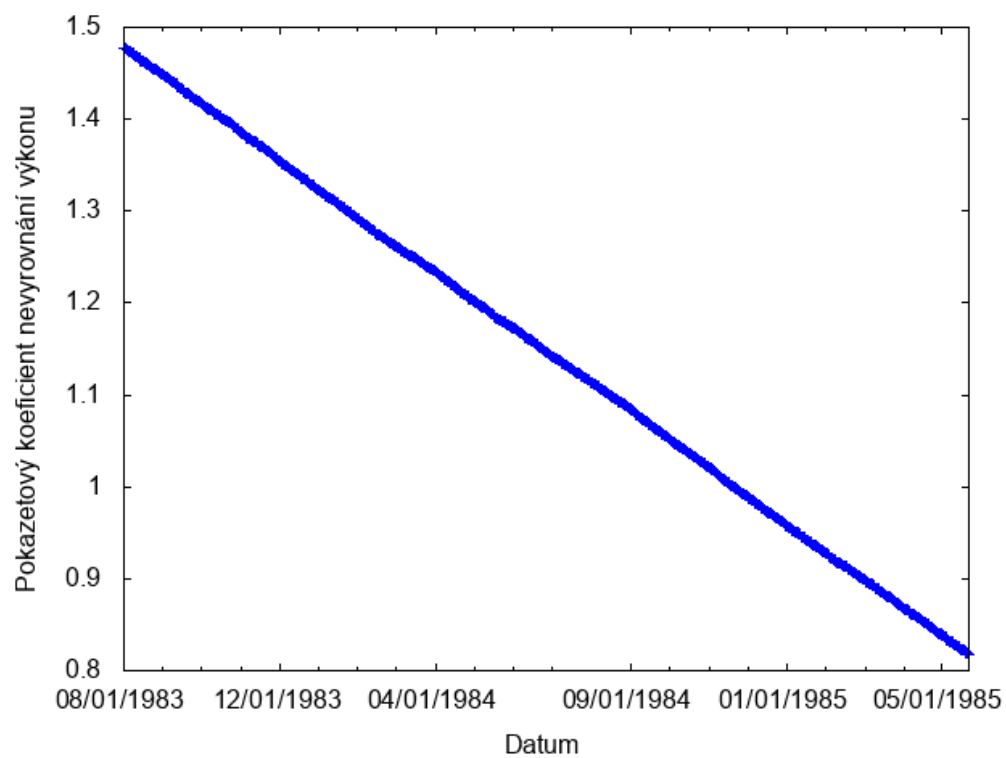
### Axiální ofset



### Koncentrace kyseliny borité

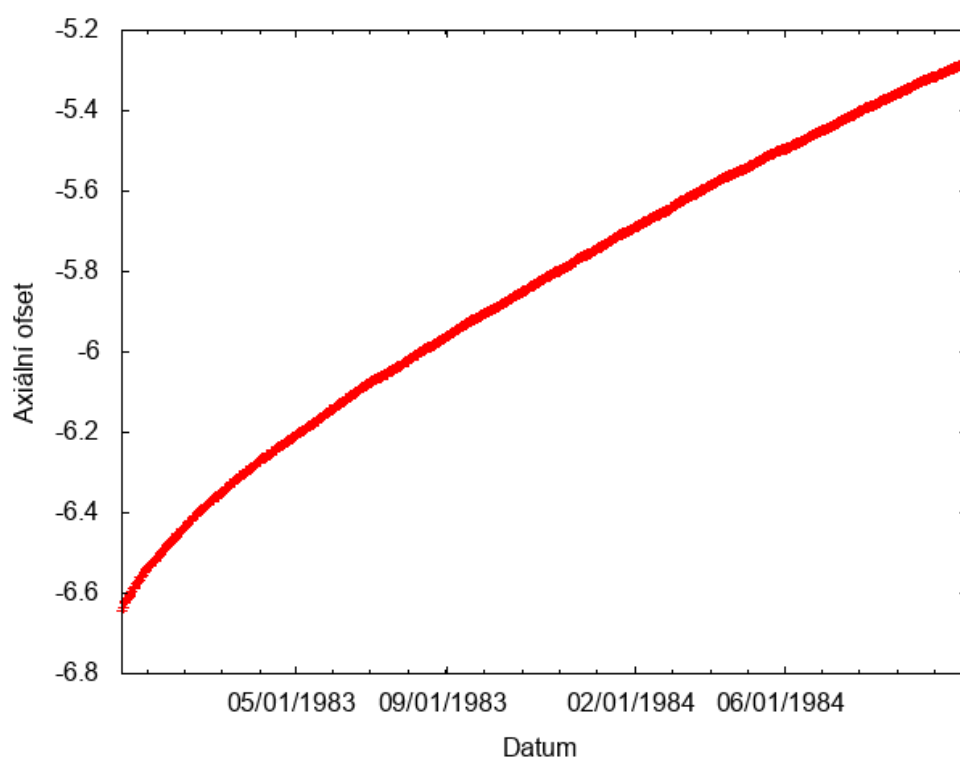


## Pokazetový koeficient nevyrovnání výkonu

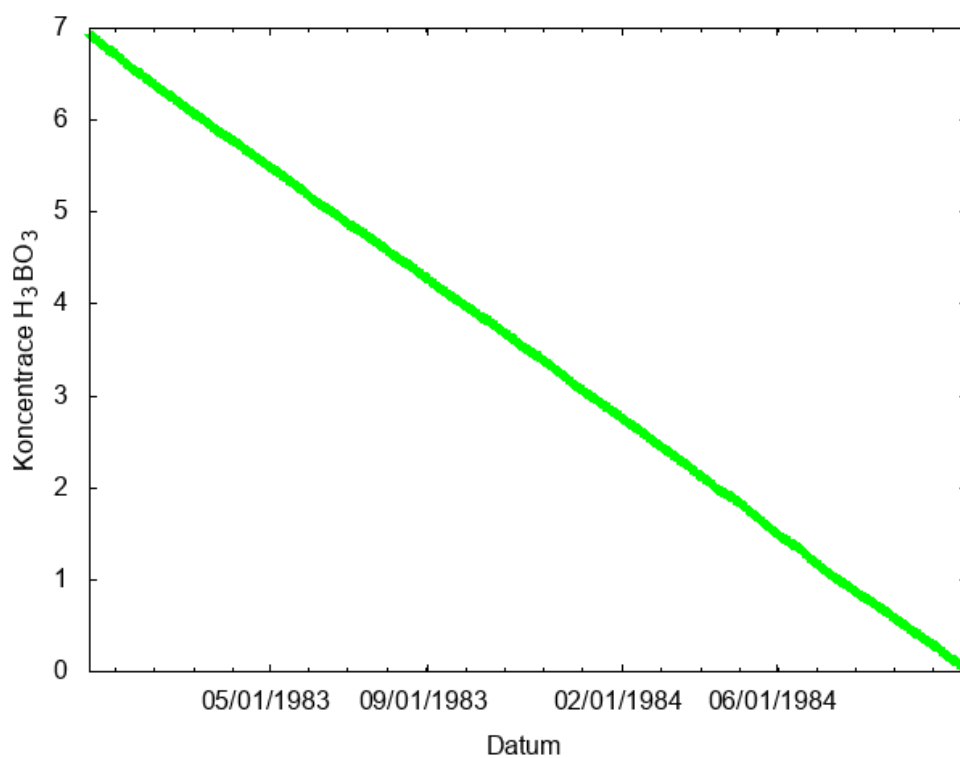


## Atlantis 10

### Axiální ofset

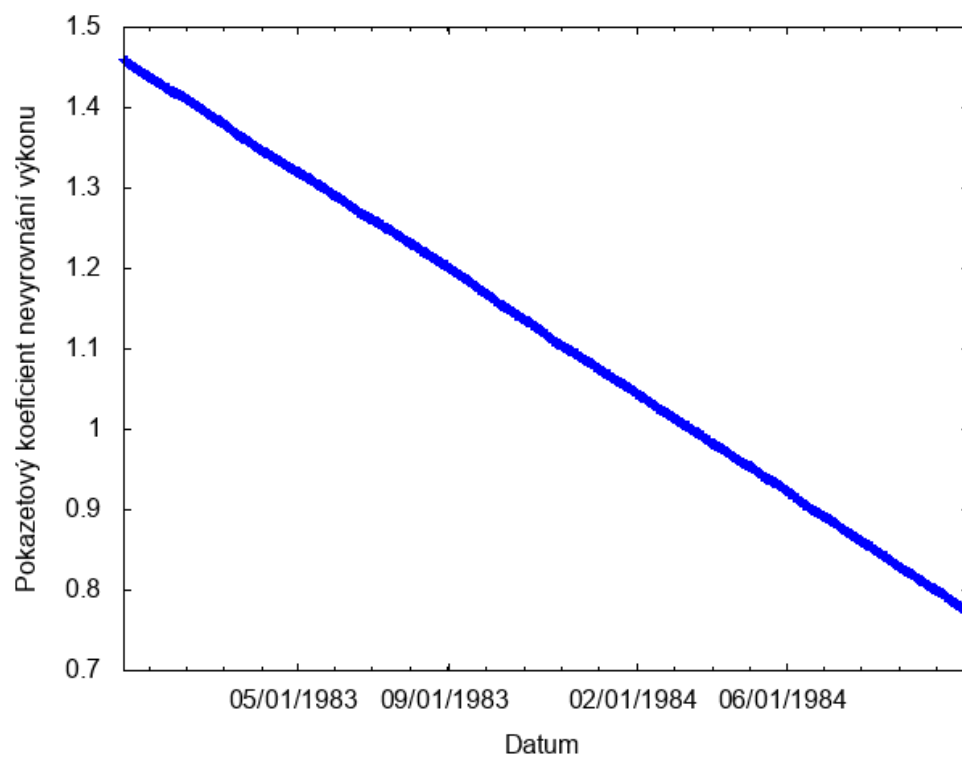


### Koncentrace kyseliny borité



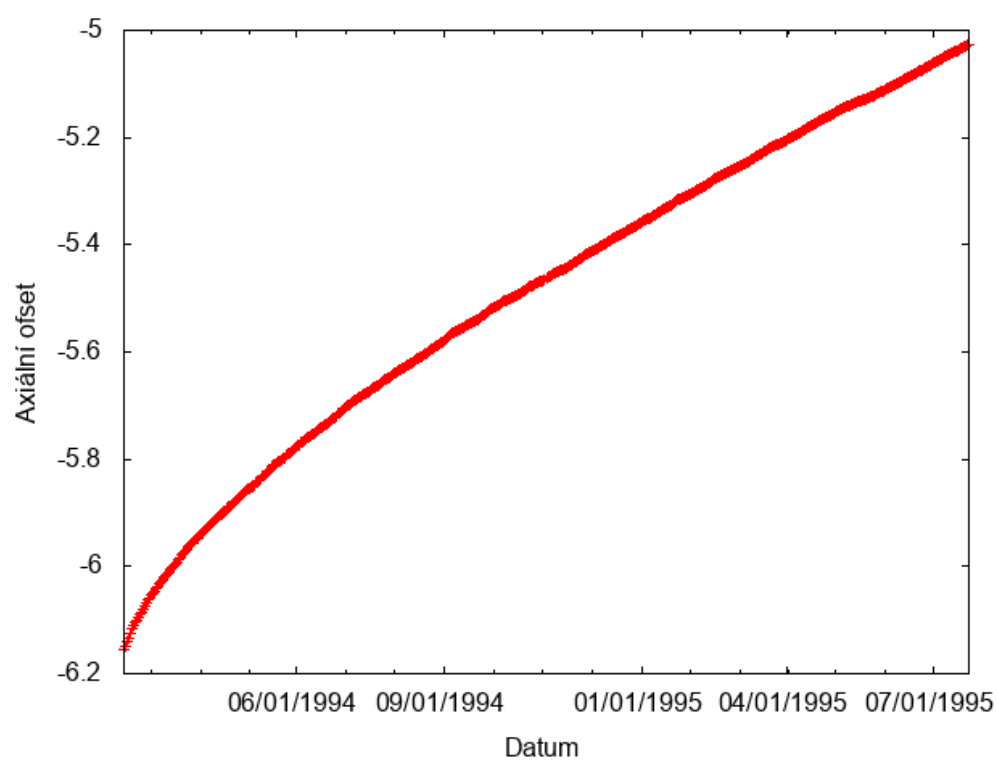


## Pokazetový koeficient nevyrovnání výkonu

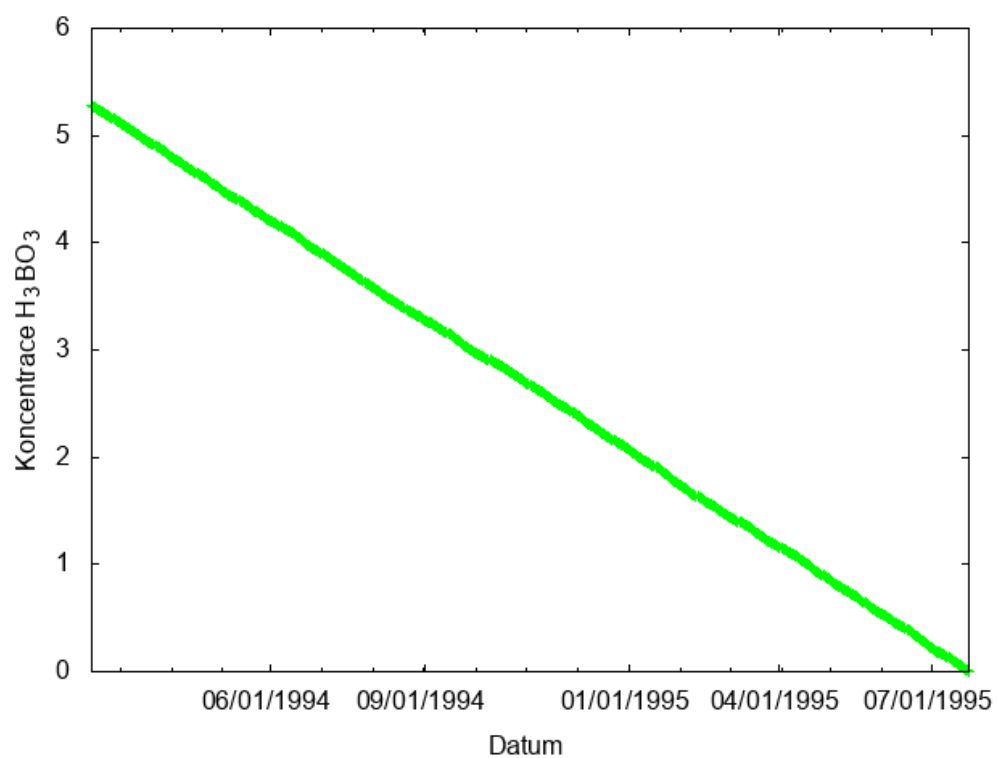


## Atlantis 11

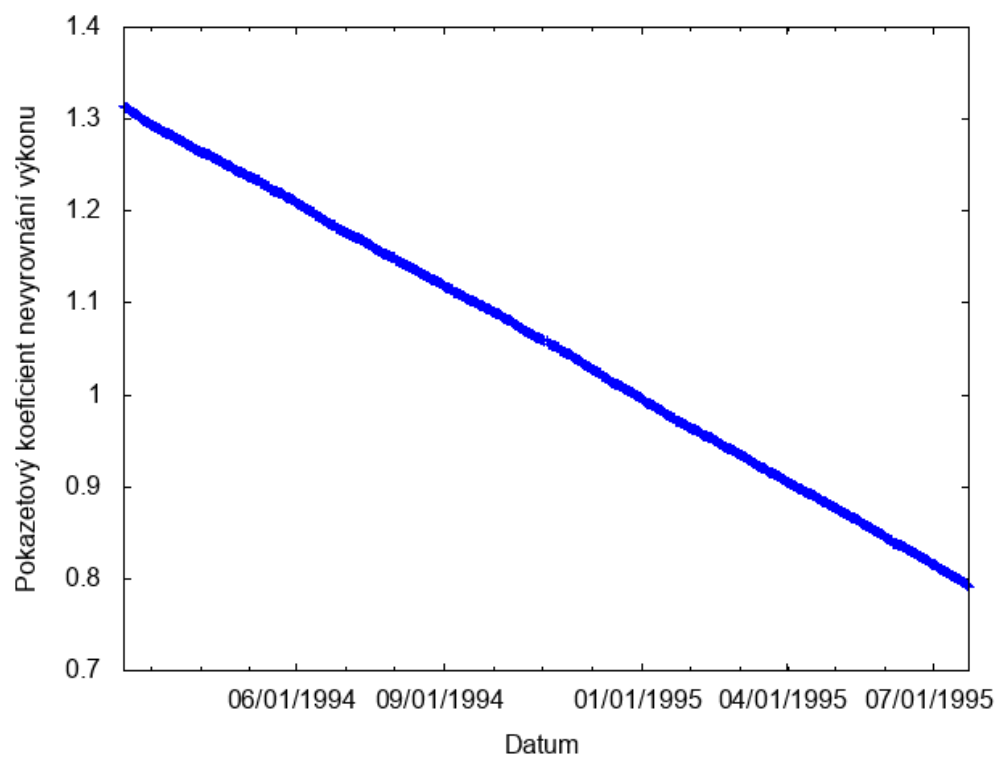
### Axiální ofset



### Koncentrace kyseliny borité

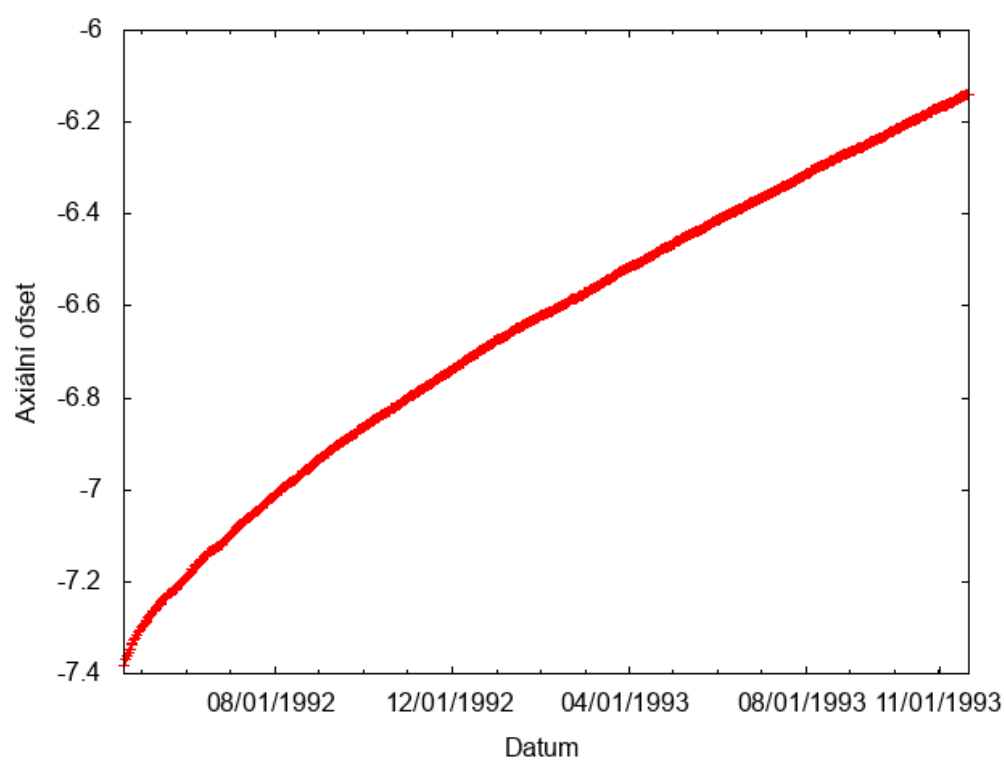


## Pokazetový koeficient nevyrovnání výkonu

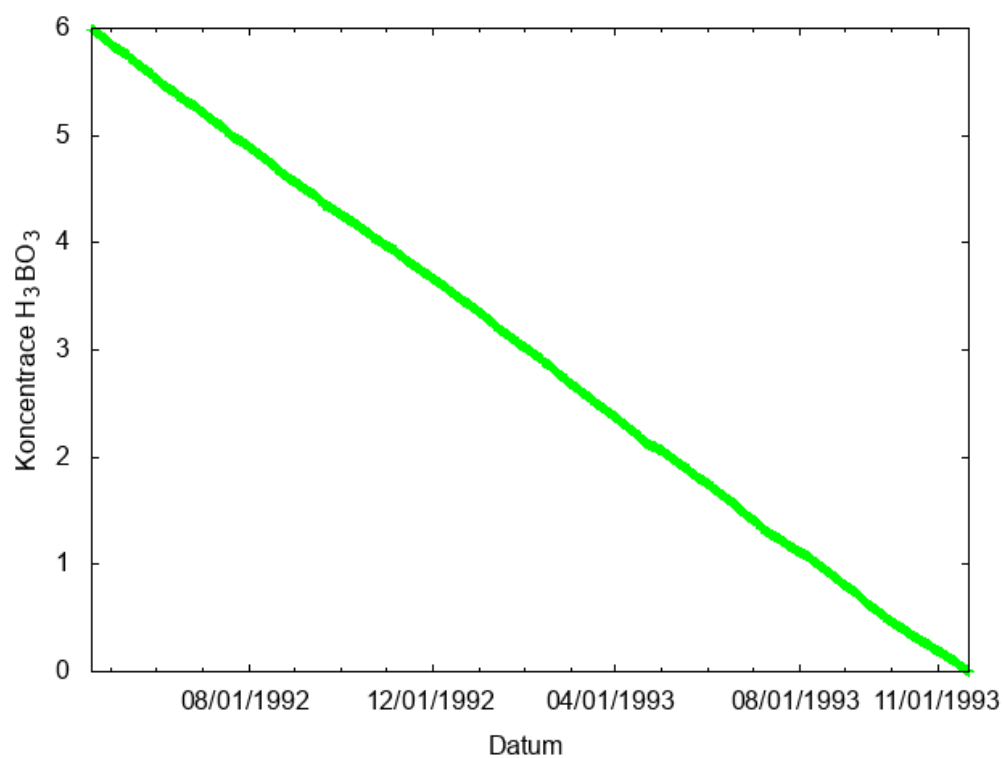


## Atlantis 12

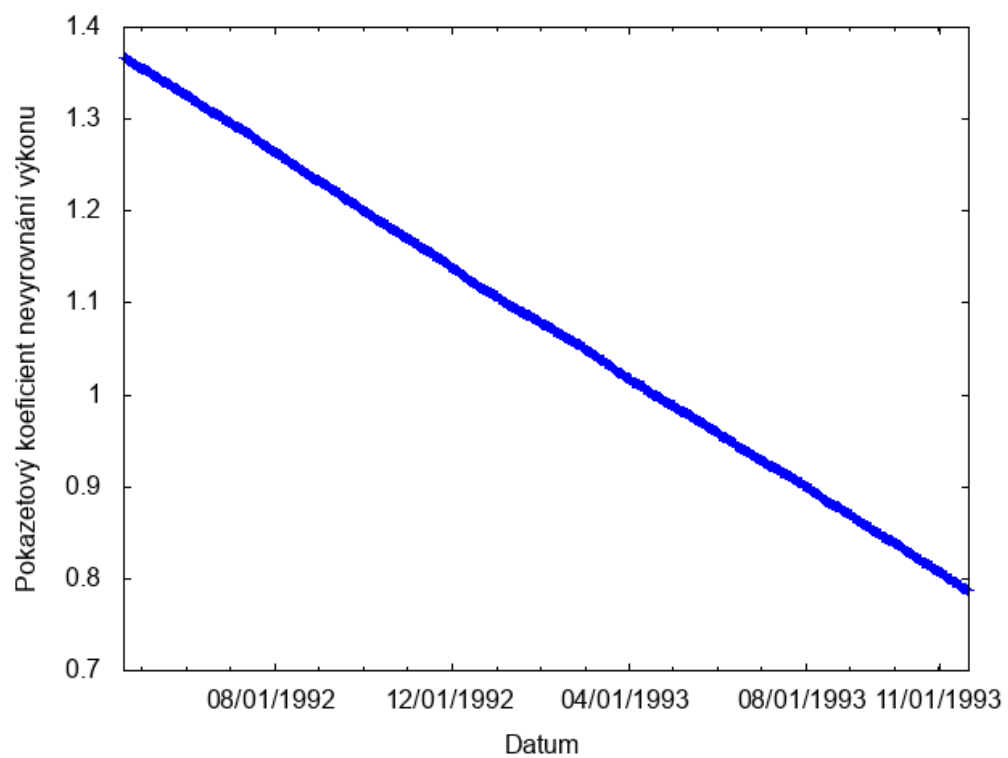
### Axiální ofset



### Koncentrace kyseliny borité

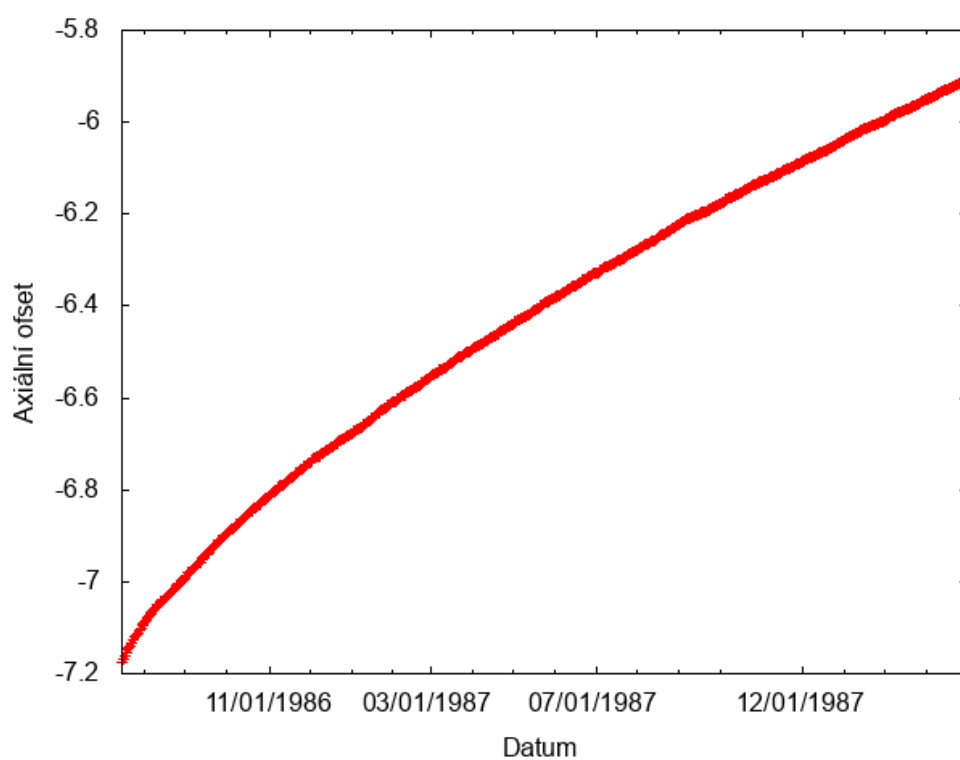


## Pokazetový koeficient nevyrovnání výkonu

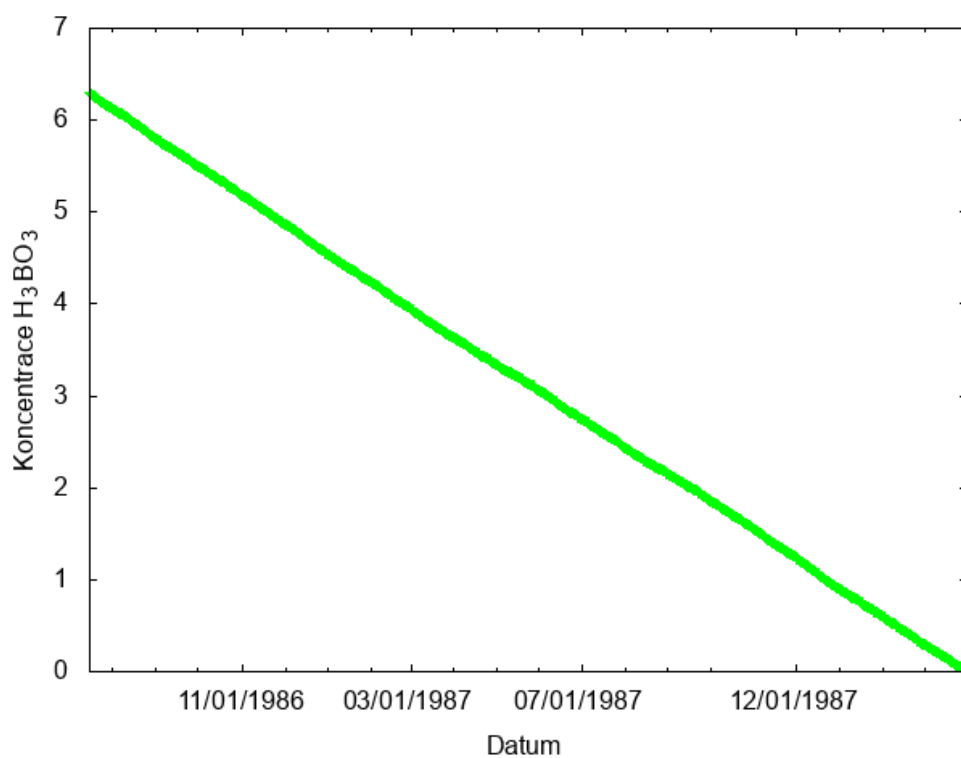


## Atlantis 13

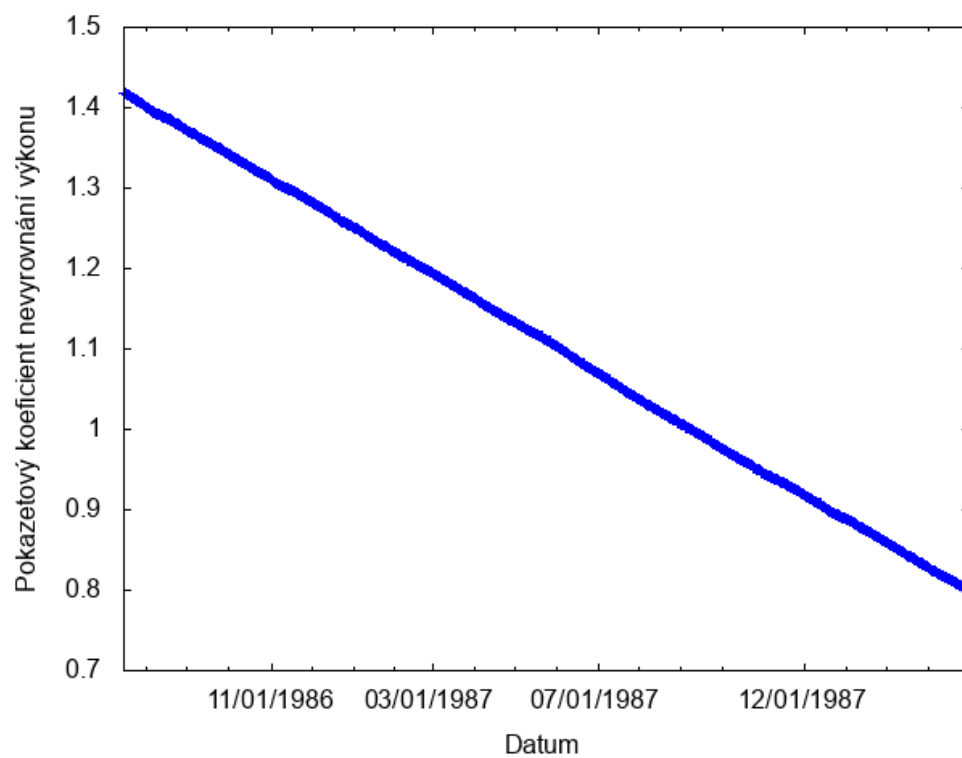
### Axiální ofset



### Koncentrace kyseliny borité

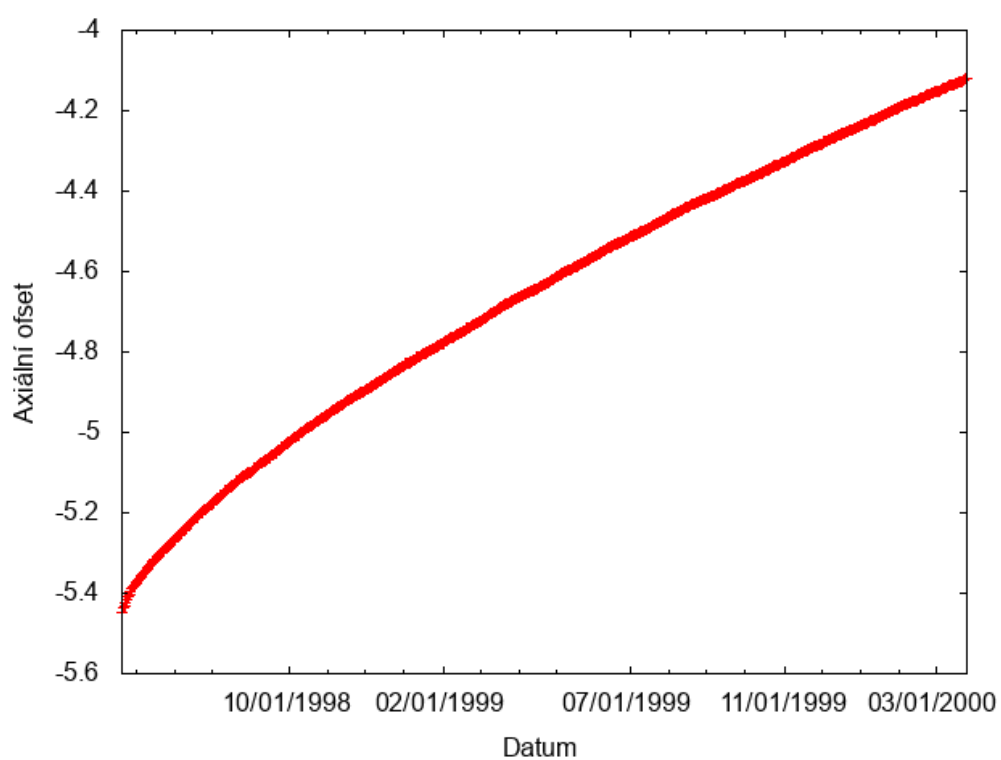


## Pokazetový koeficient nevyrovnání výkonu

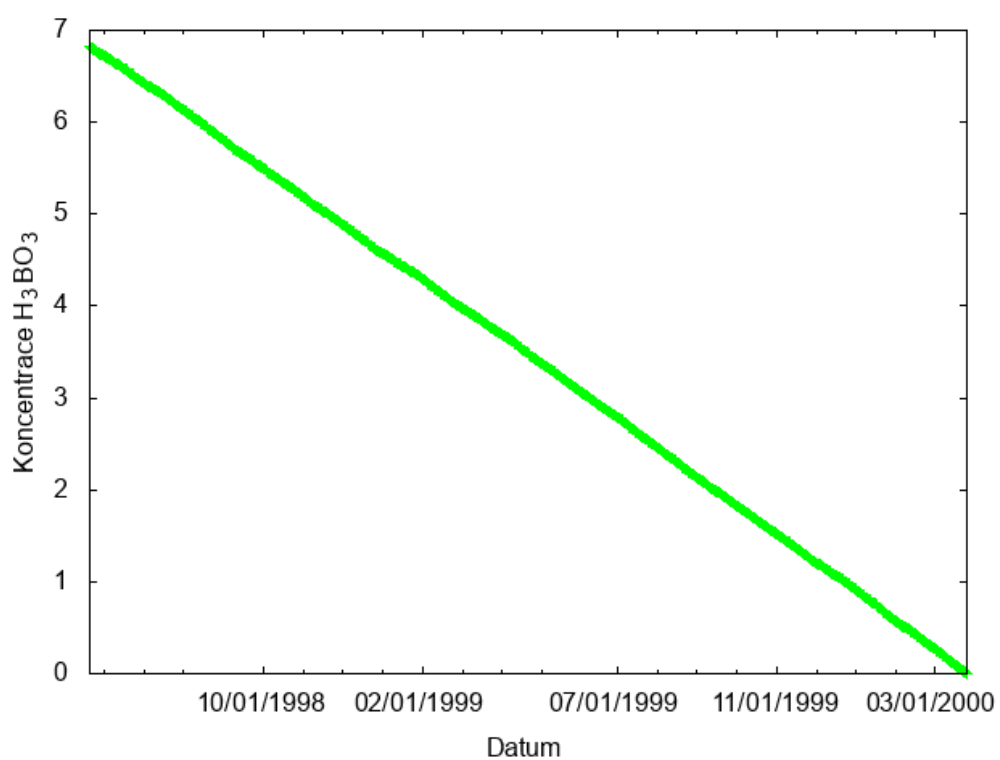


## Atlantis 14

### Axiální ofset

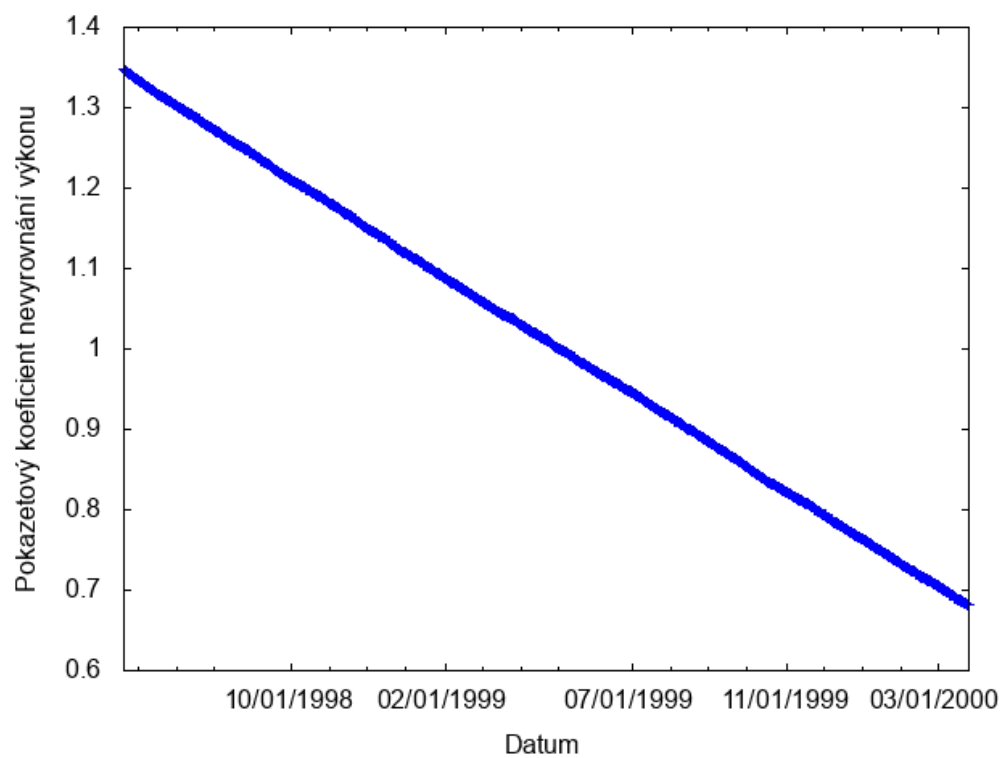


### Koncentrace kyseliny borité



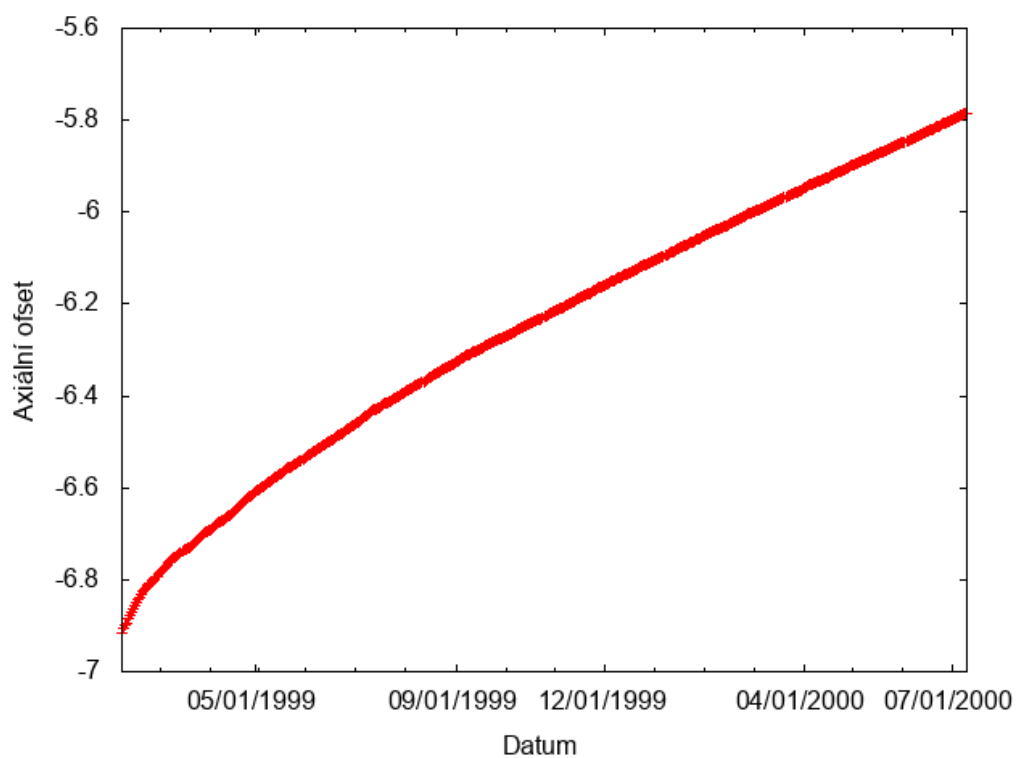


## Pokazetový koeficient nevyrovnání výkonu

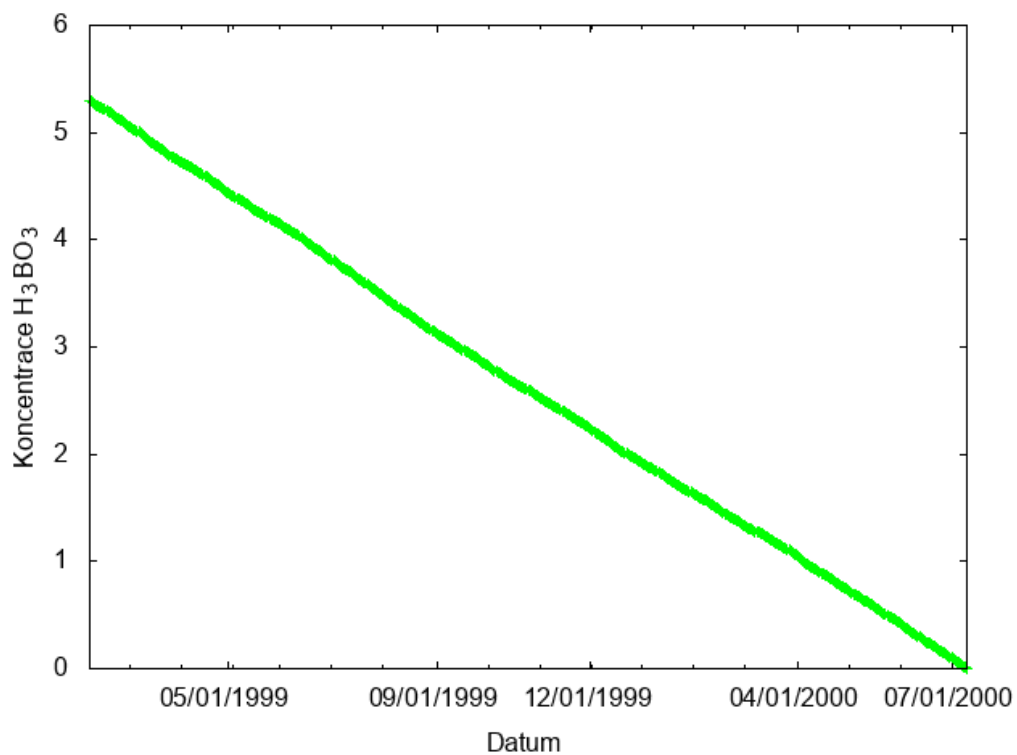


## Atlantis 15

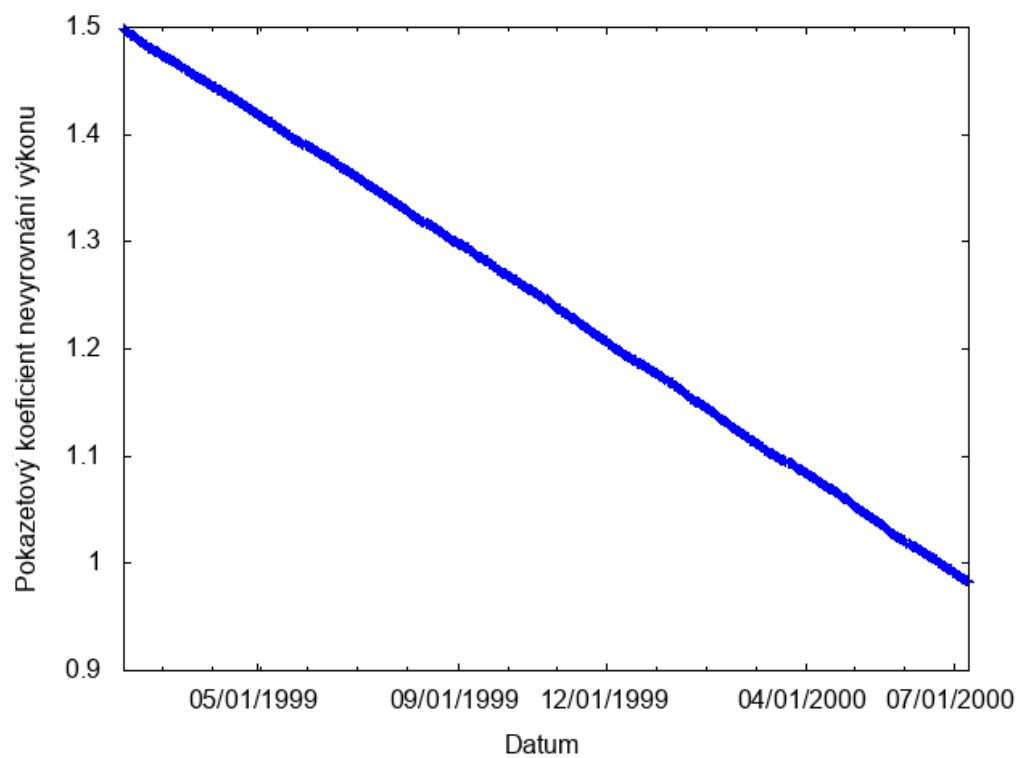
### Axiální ofset



### Koncentrace kyseliny borité

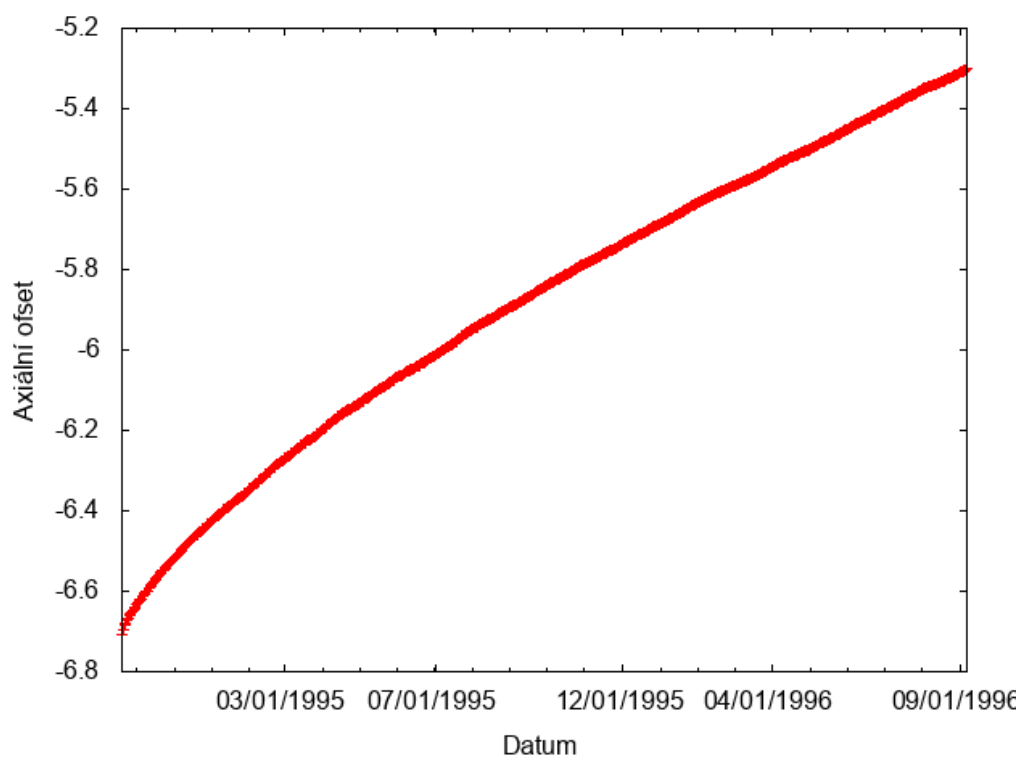


## Pokazetový koeficient nevyrovnání výkonu

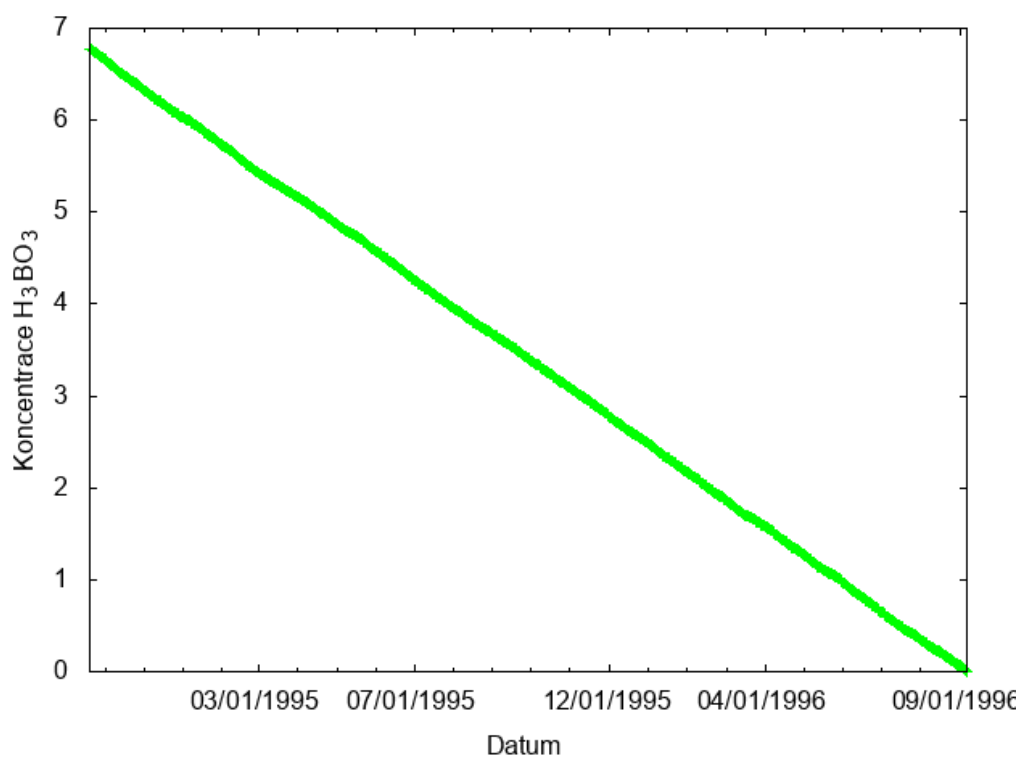


## Atlantis 16

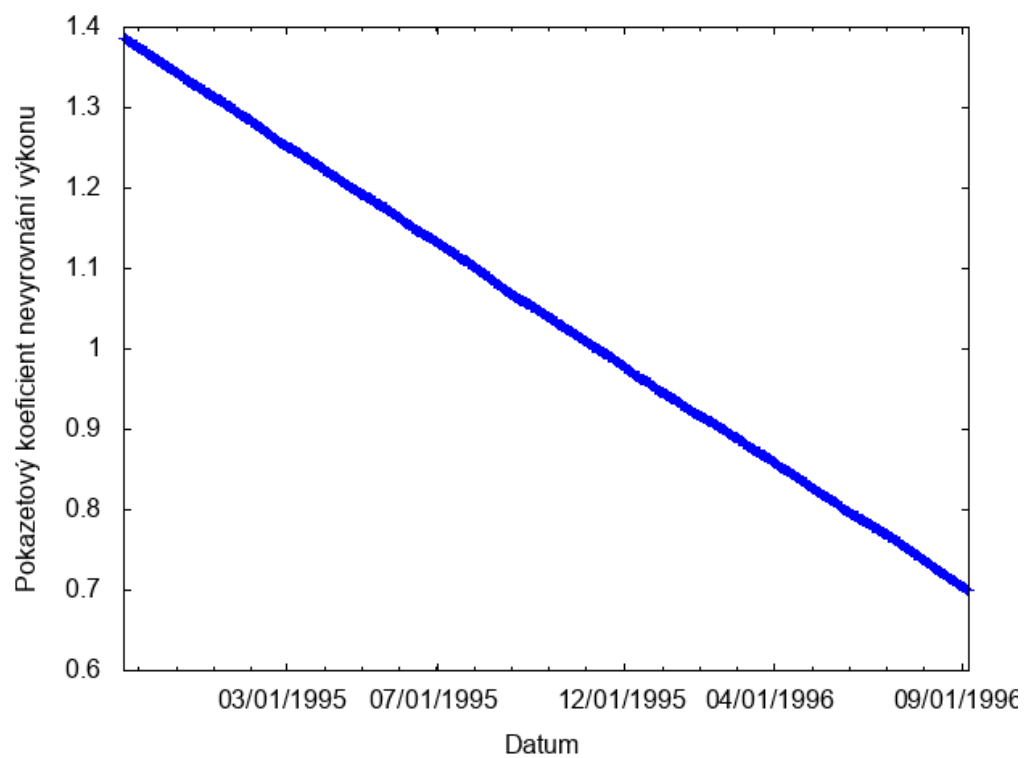
### Axiální ofset



### Koncentrace kyseliny borité

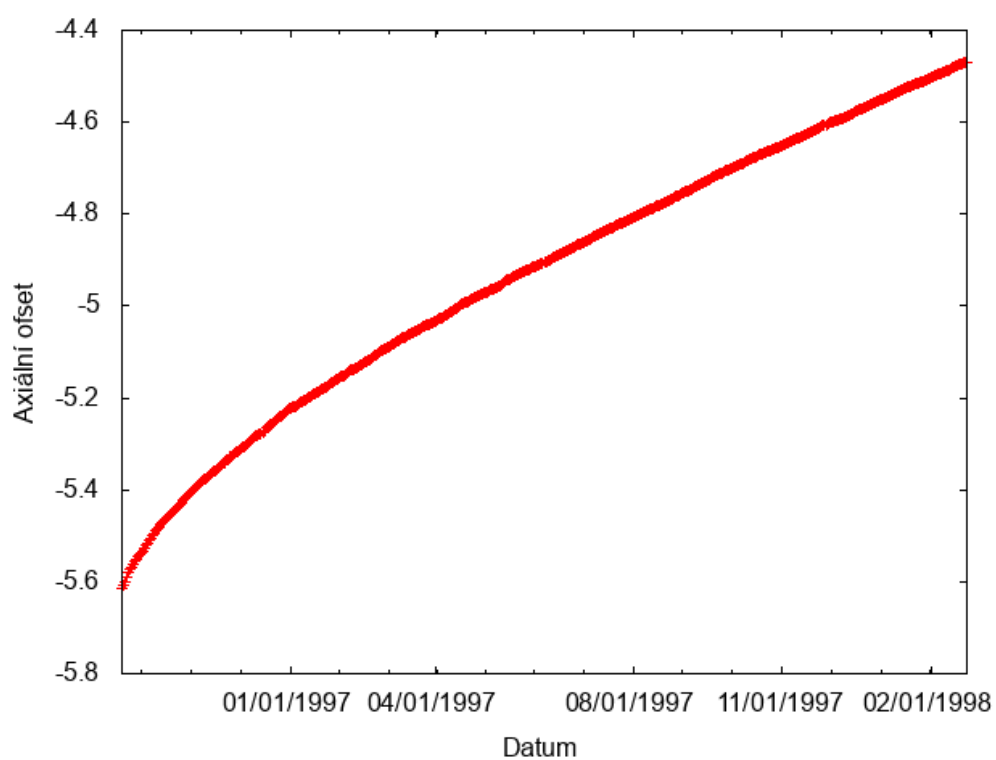


## Pokazetový koeficient nevyrovnání výkonu

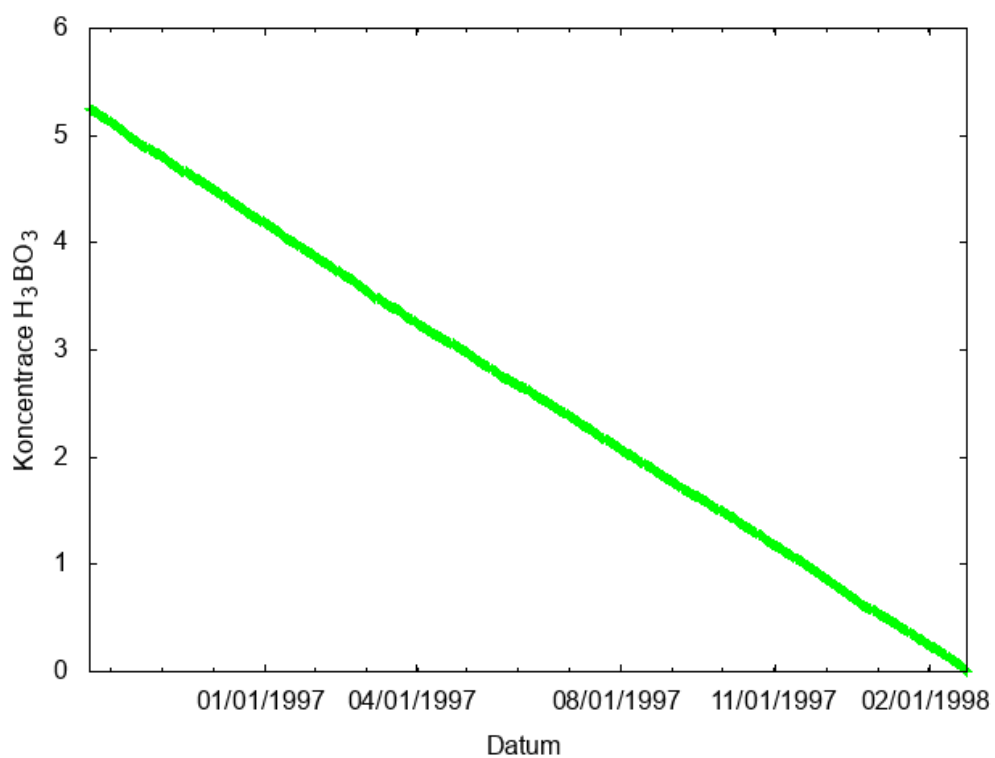


## Atlantis 17

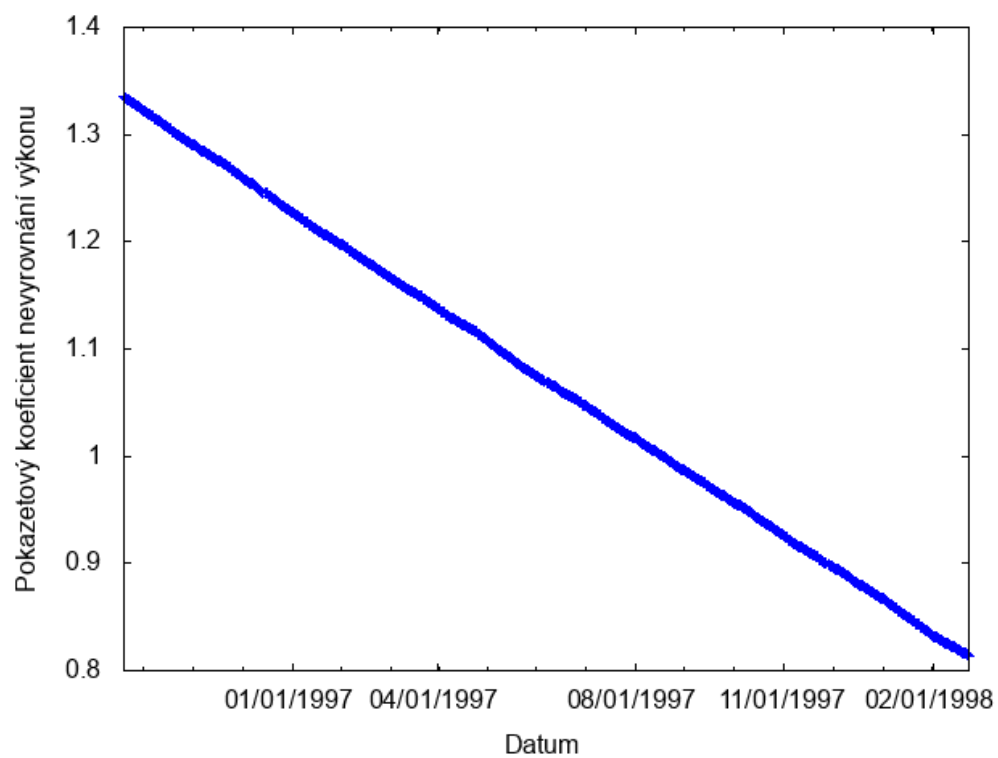
### Axiální ofset



### Koncentrace kyseliny borité

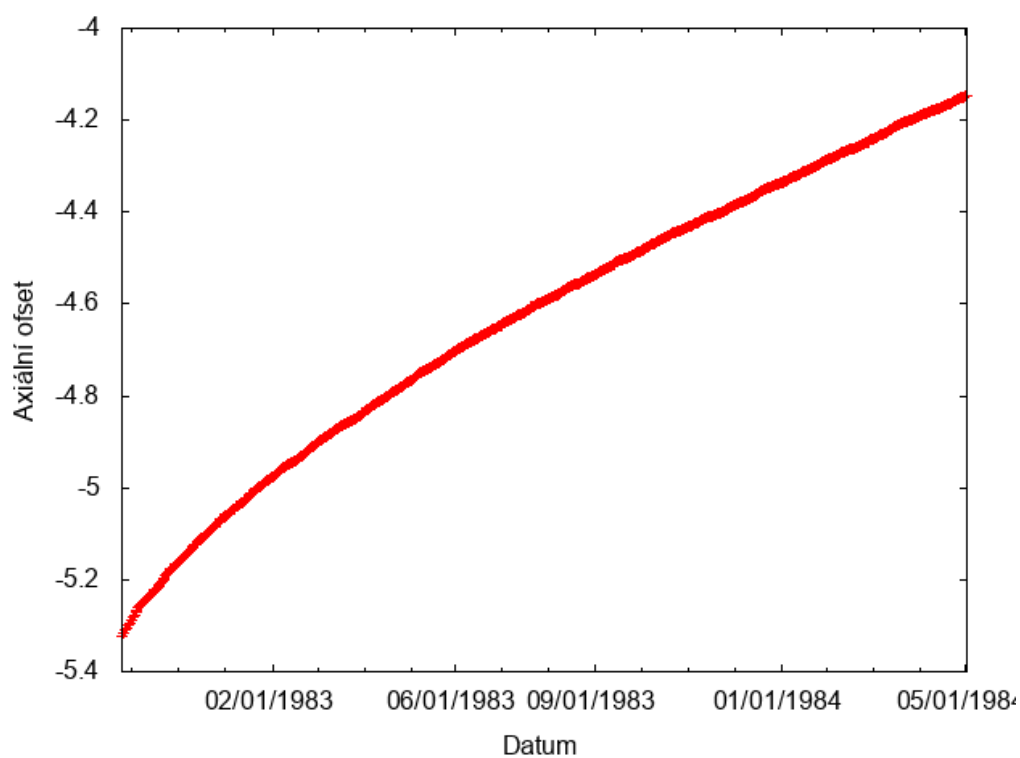


## Pokazetový koeficient nevyrovnání výkonu

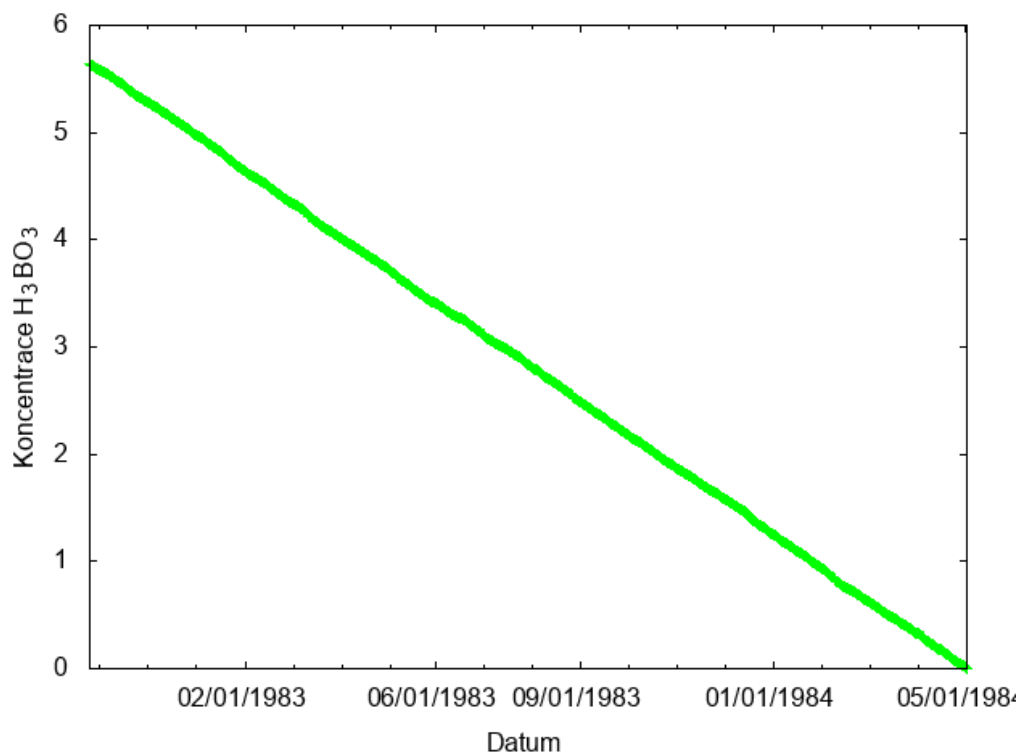


## CandyMountain 1

Axiální ofset

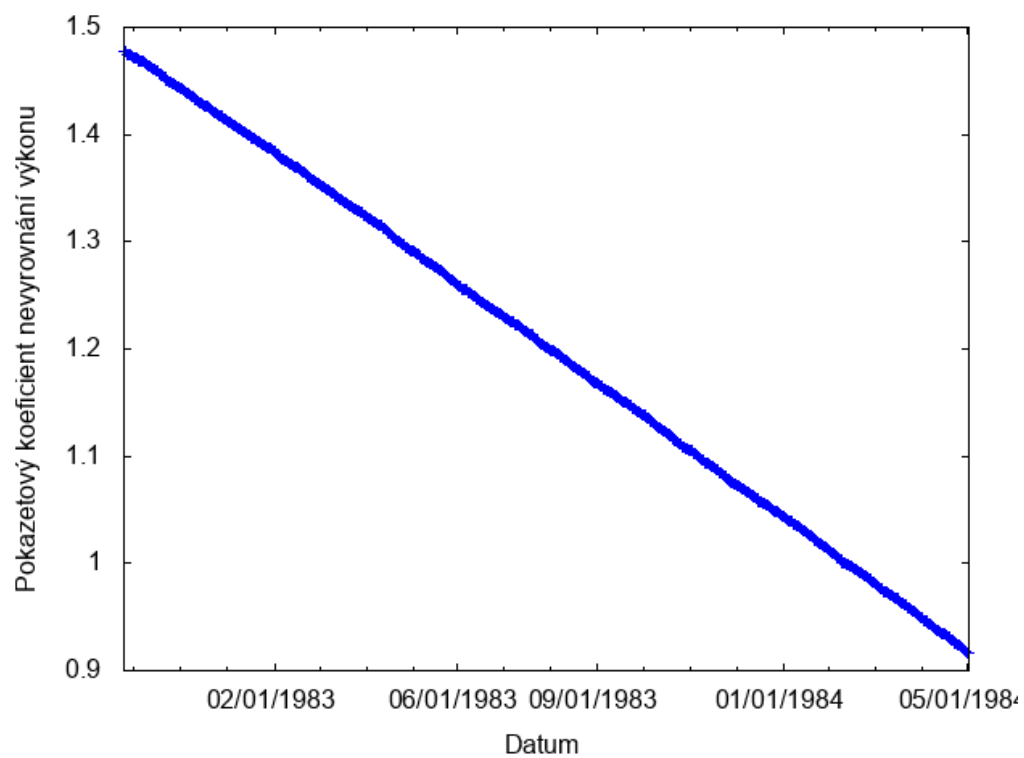


Koncentrace kyseliny borité



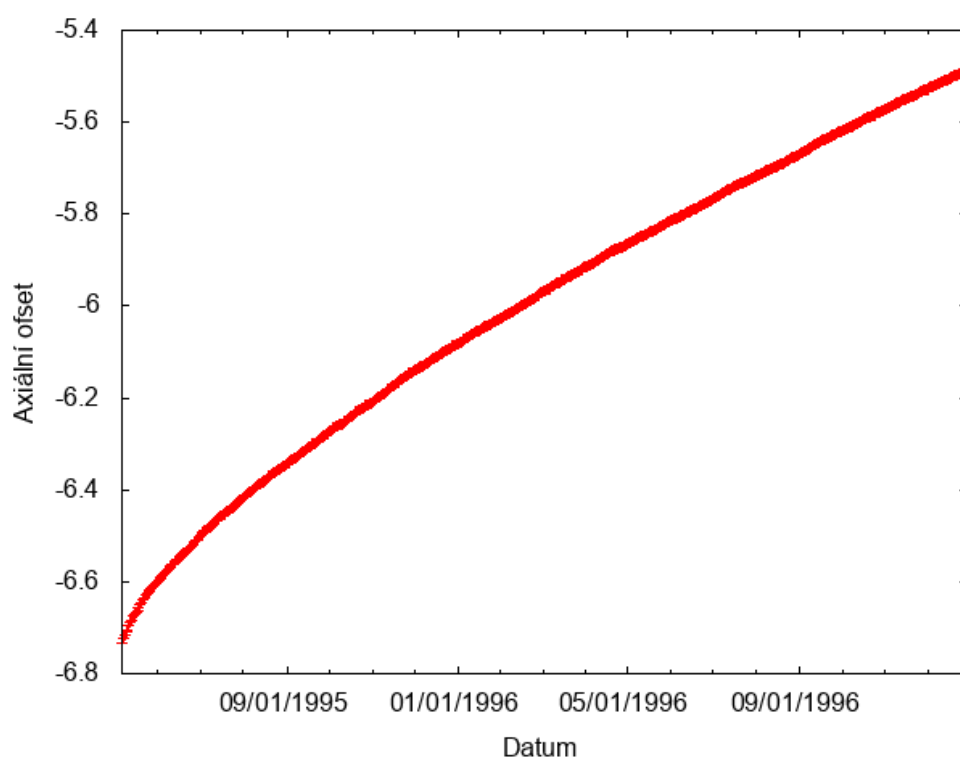


## Pokazetový koeficient nevyrovnání výkonu

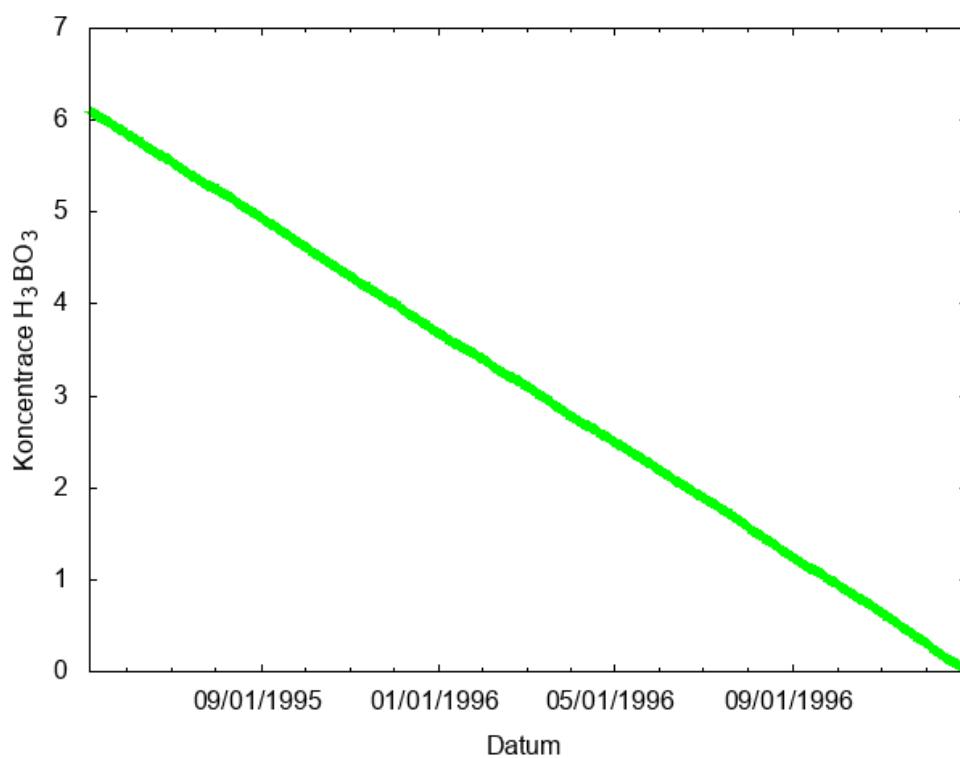


## CandyMountain 2

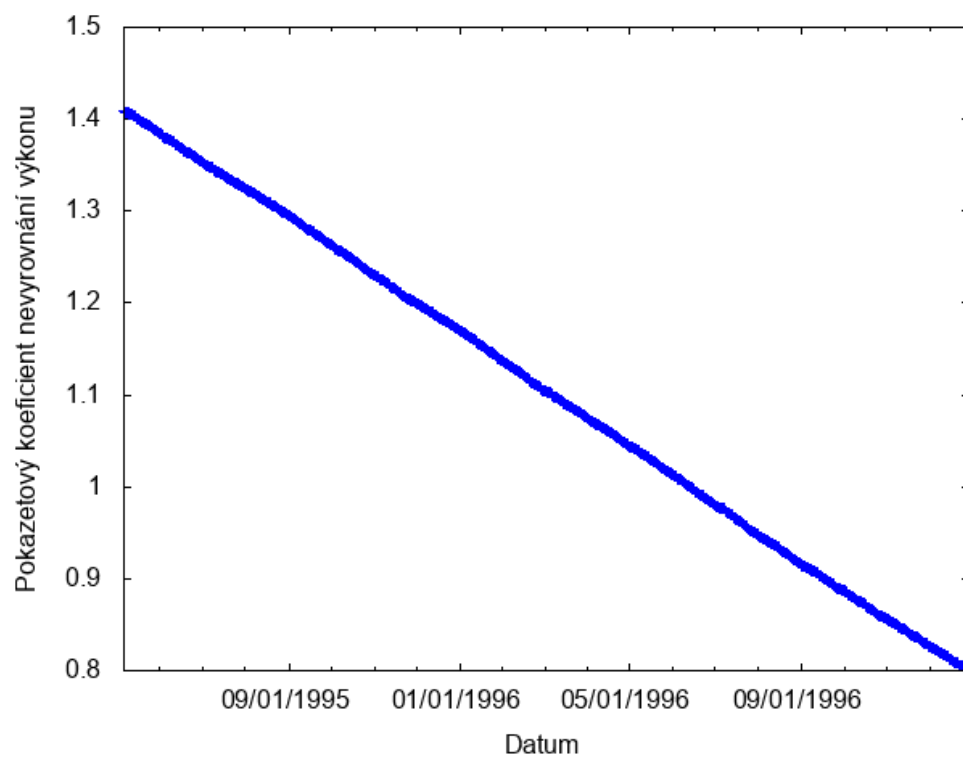
Axiální ofset



Koncentrace kyseliny borité

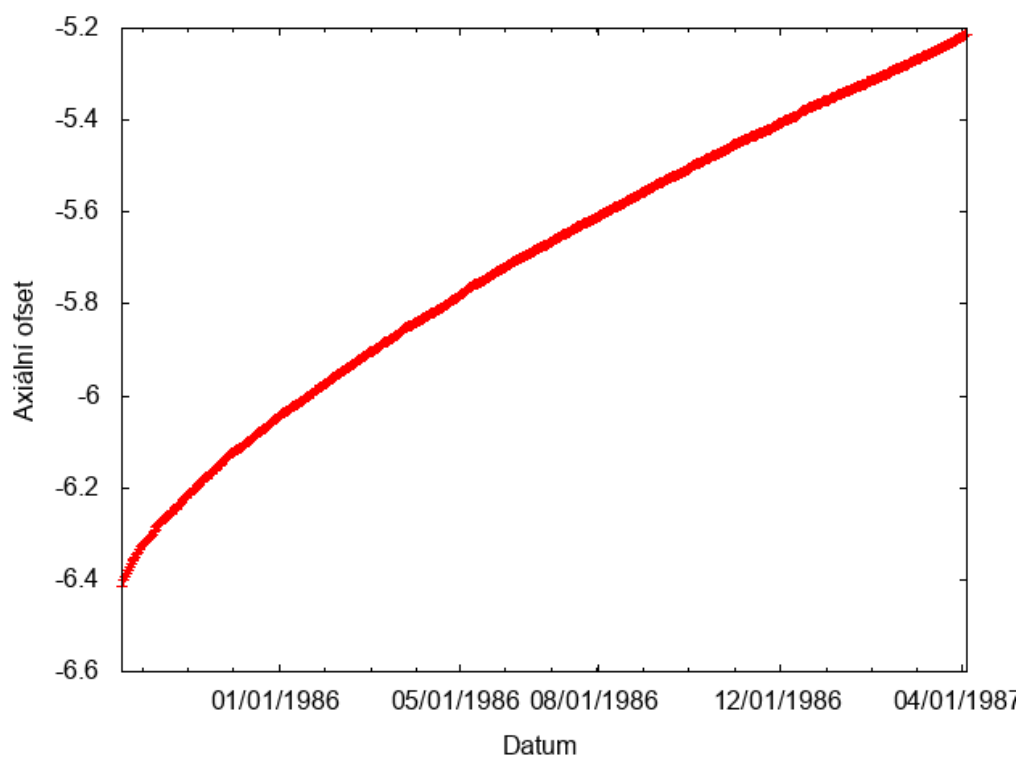


## Pokazetový koeficient nevyrovnání výkonu

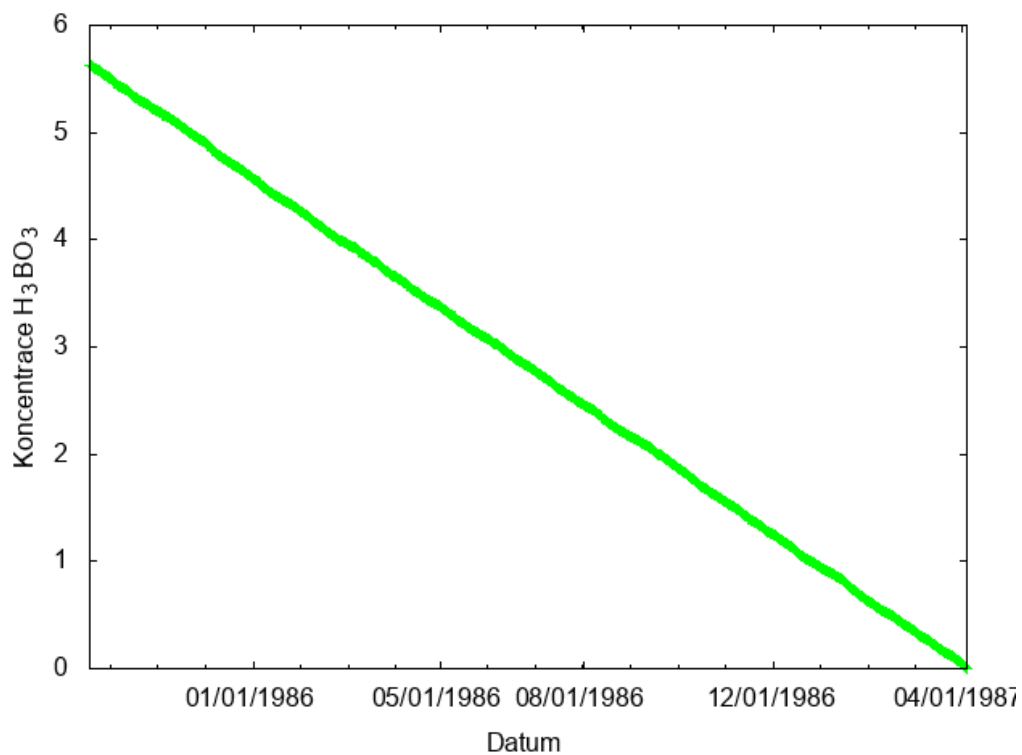


## CandyMountain 3

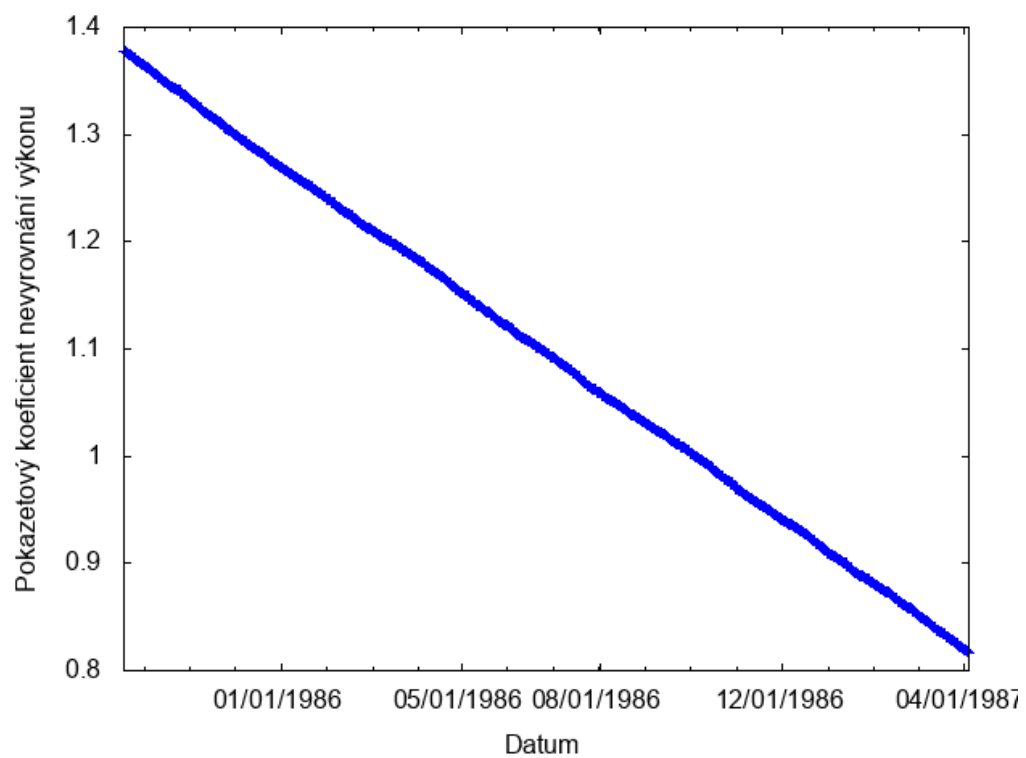
Axiální ofset



Koncentrace kyseliny borité

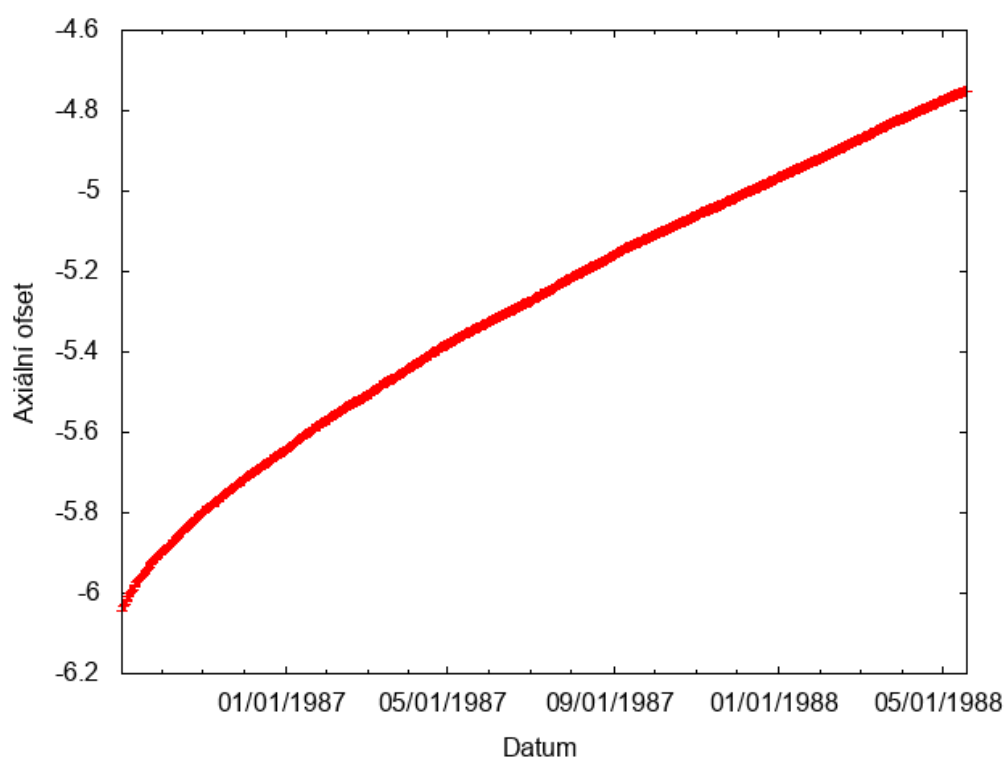


## Pokazetový koeficient nevyrovnání výkonu

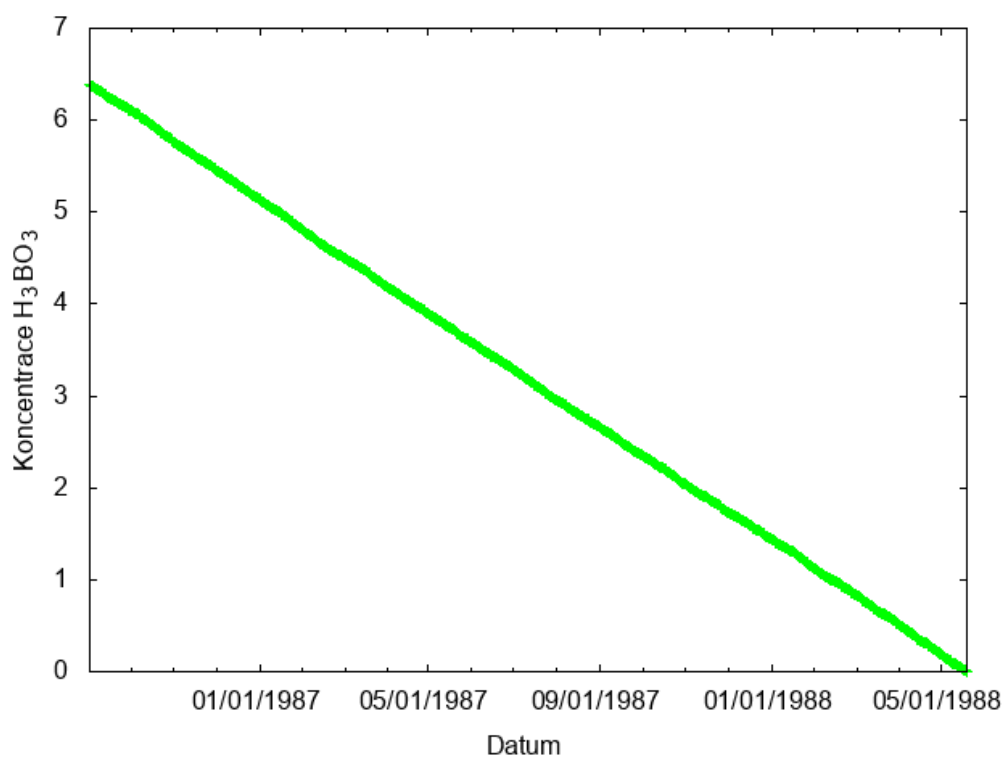


## CandyMountain 4

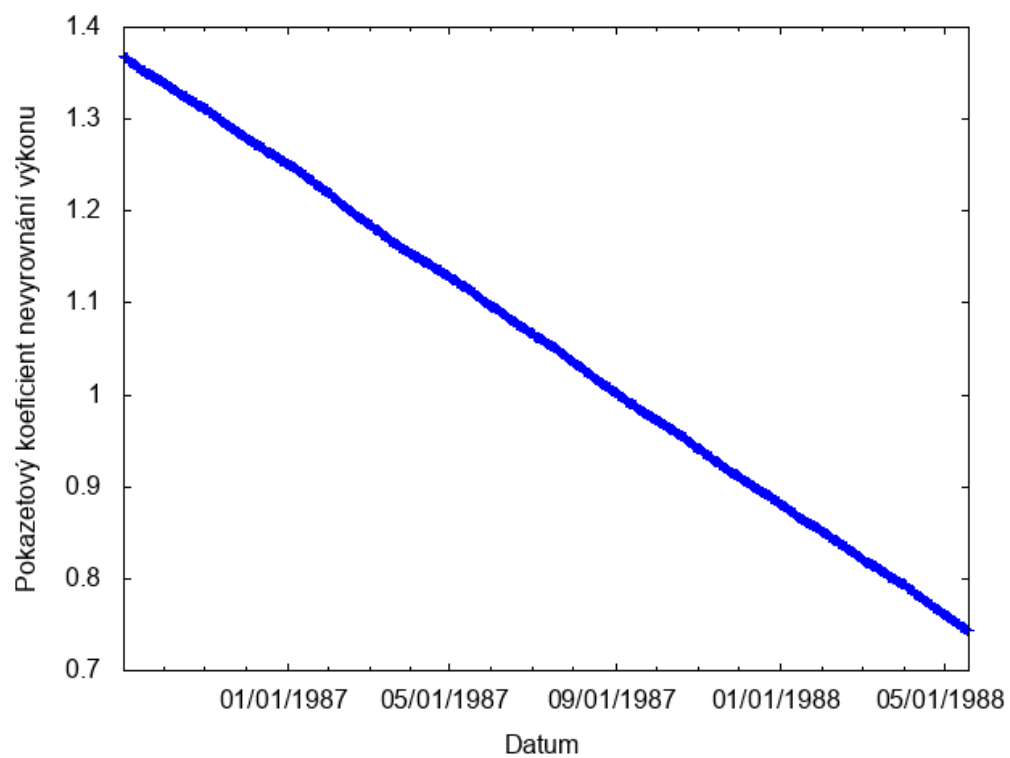
Axiální ofset



Koncentrace kyseliny borité

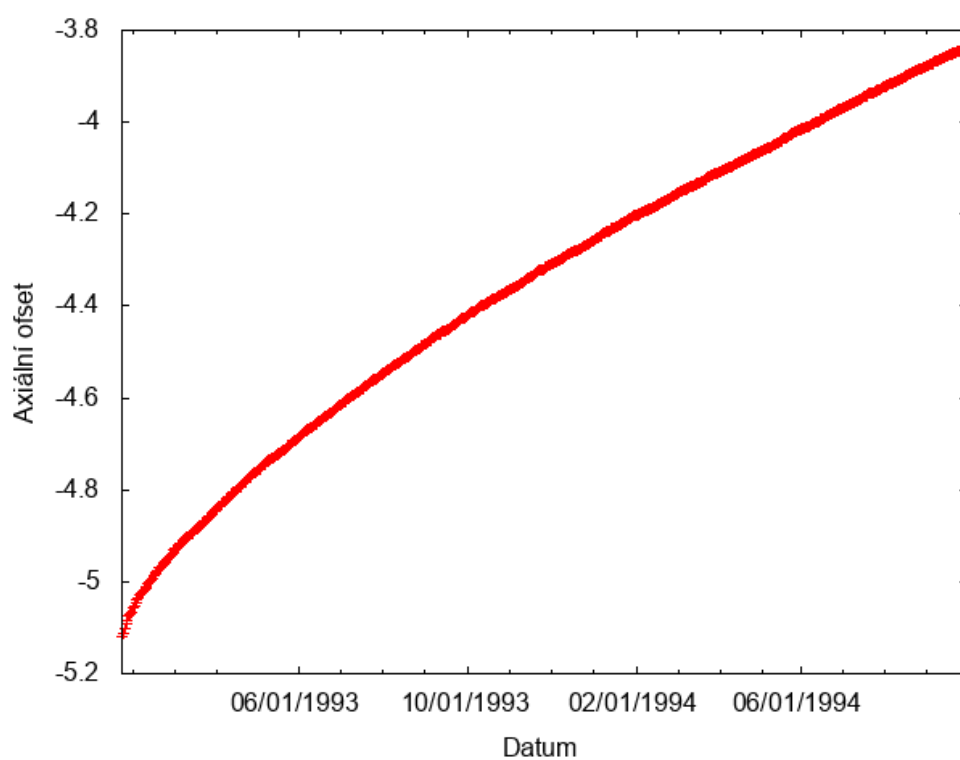


## Pokazetový koeficient nevyrovnání výkonu

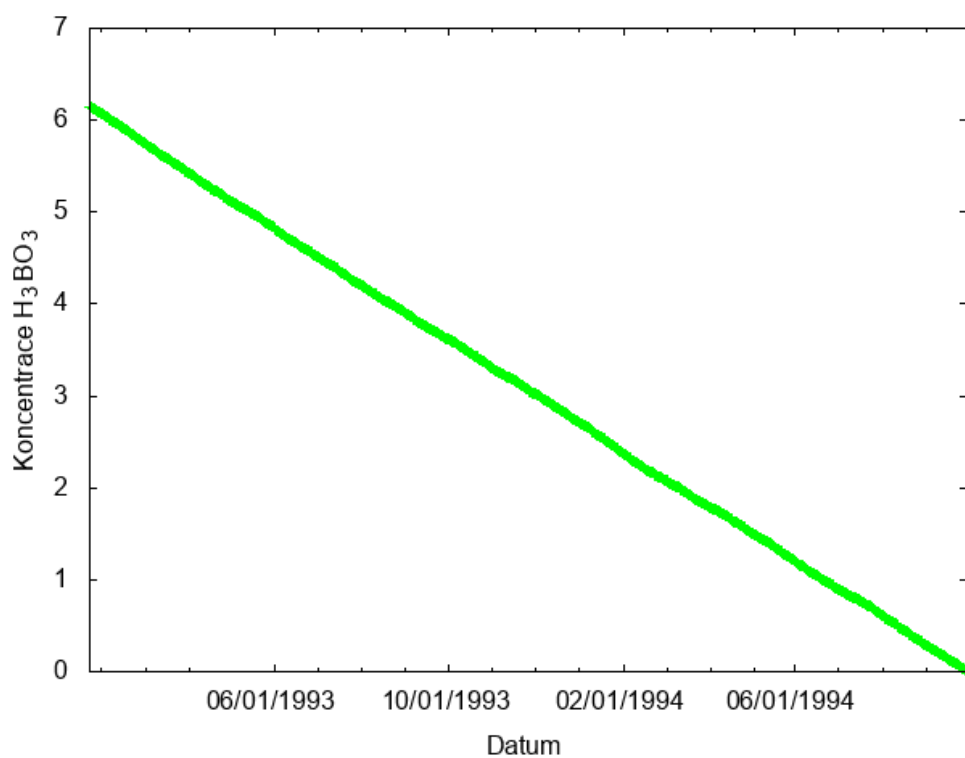


## CandyMountain 5

Axiální ofset

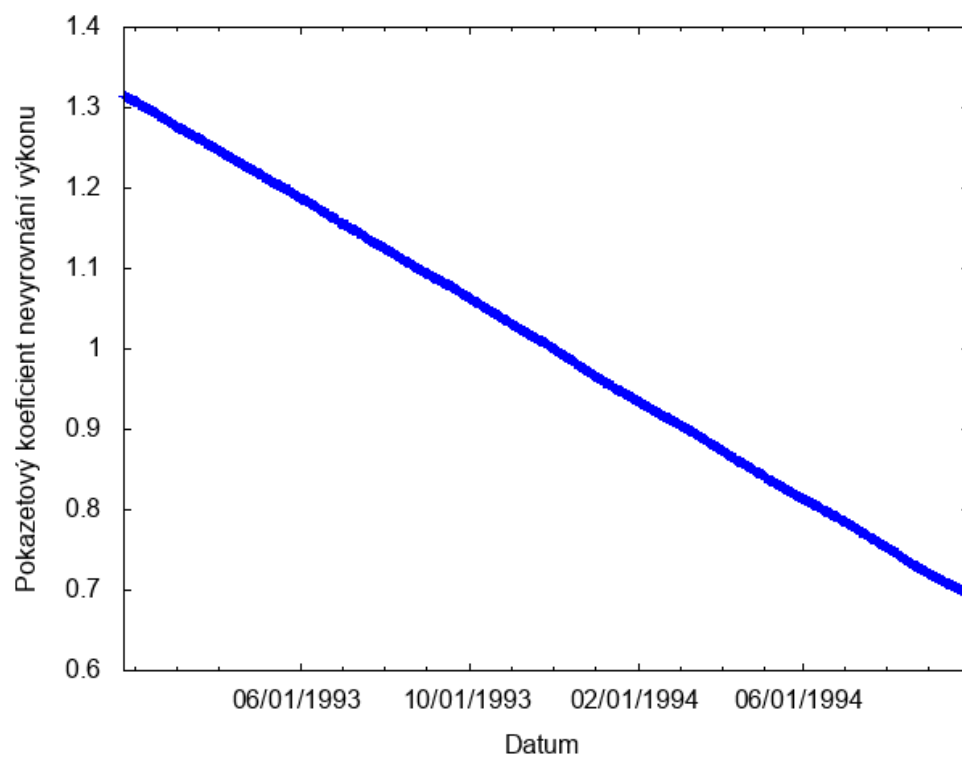


Koncentrace kyseliny borité



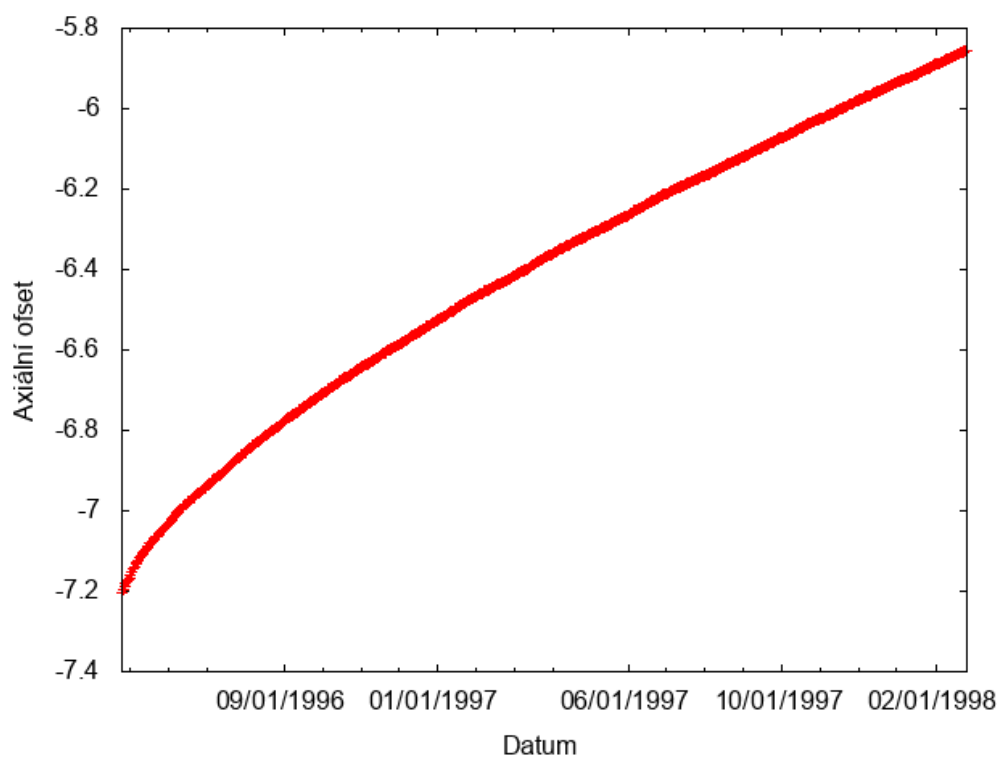


## Pokazetový koeficient nevyrovnání výkonu

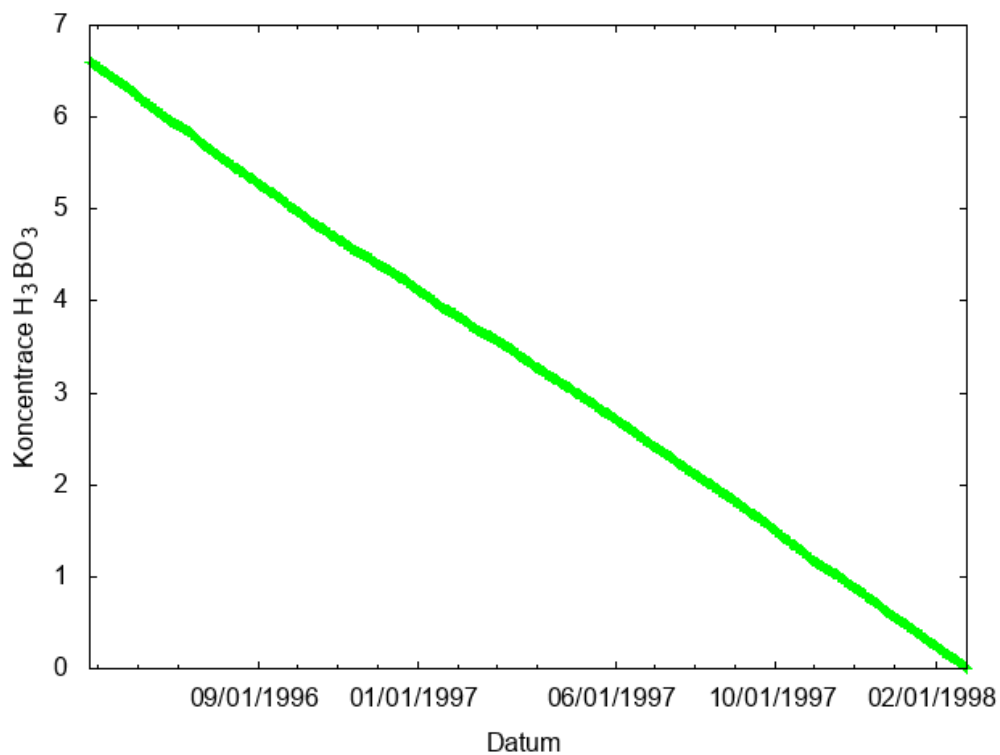


## CandyMountain 6

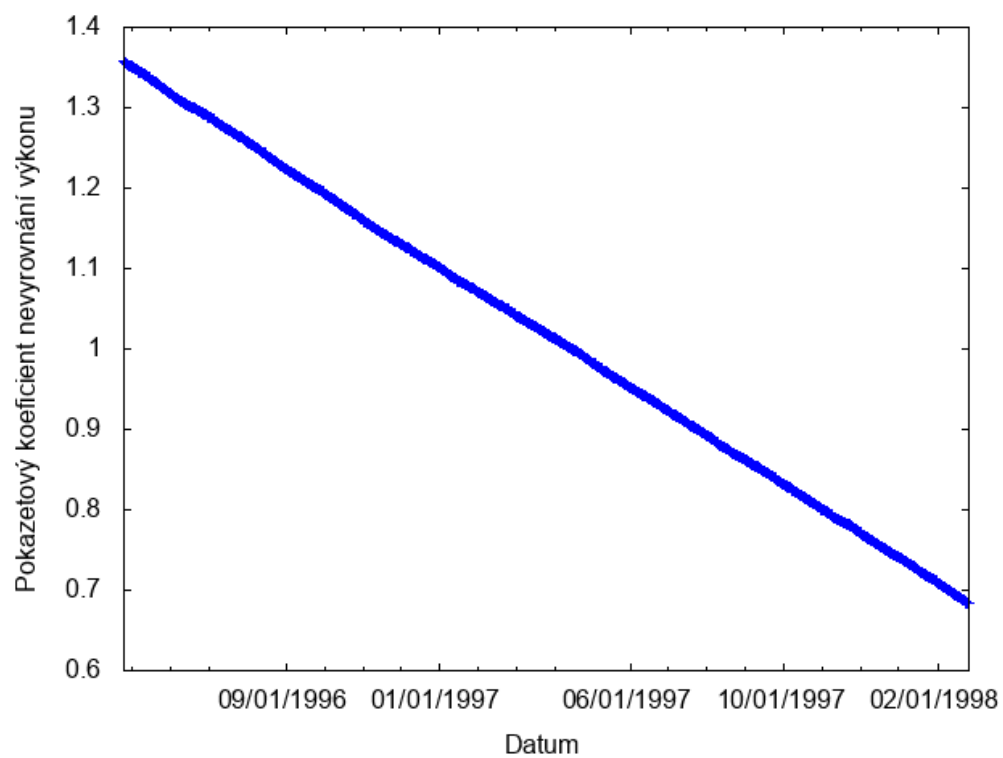
Axiální ofset



Koncentrace kyseliny borité

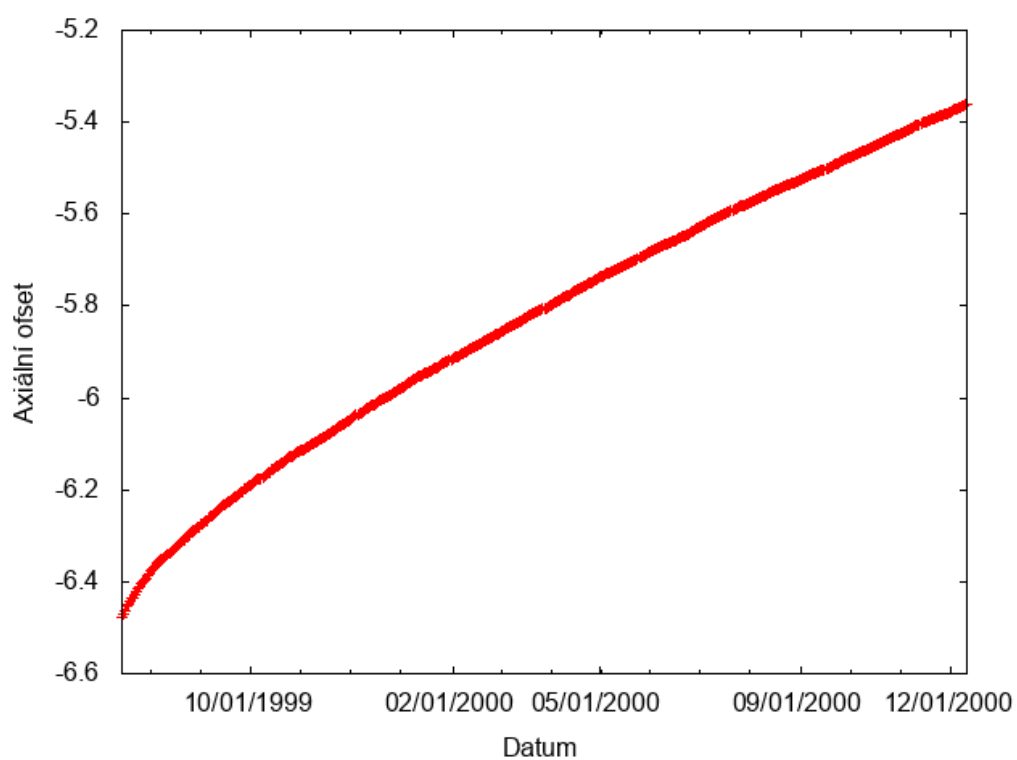


## Pokazetový koeficient nevyrovnání výkonu

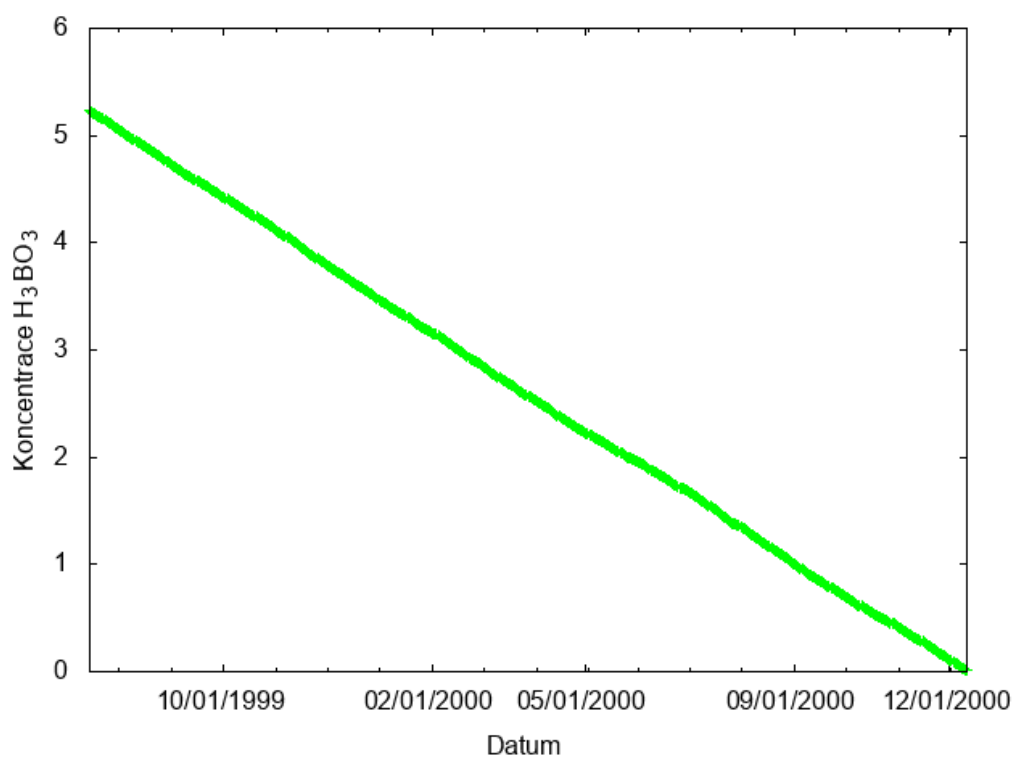


## CandyMountain 7

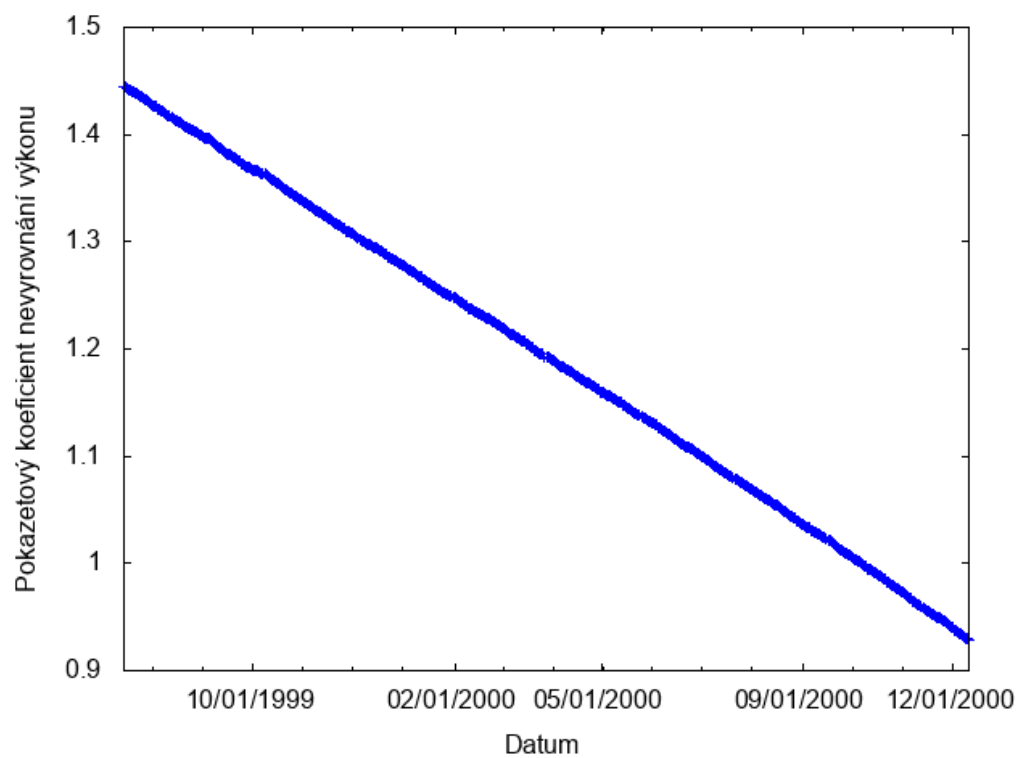
Axiální ofset



Koncentrace kyseliny borité

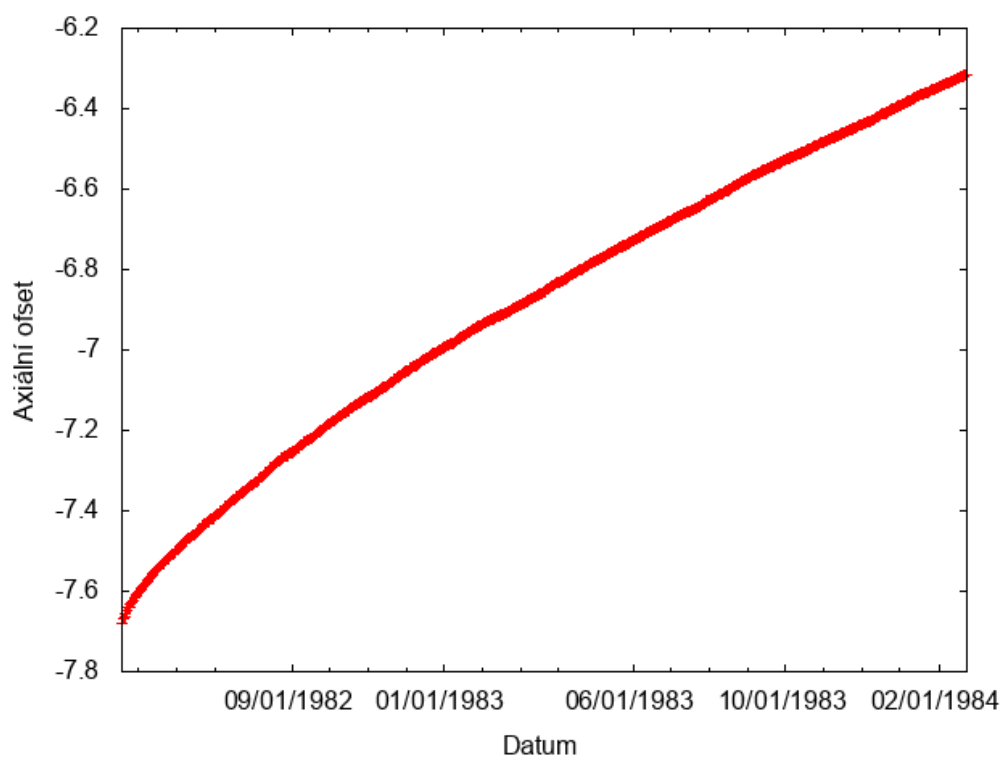


## Pokazetový koeficient nevyrovnání výkonu

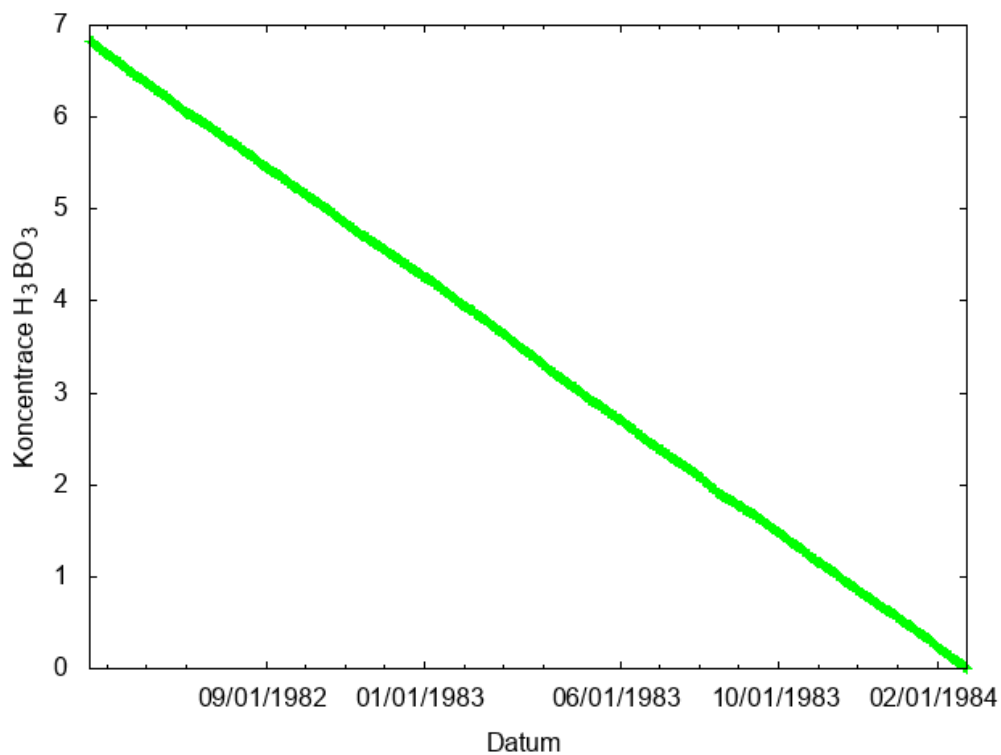


## CandyMountain 8

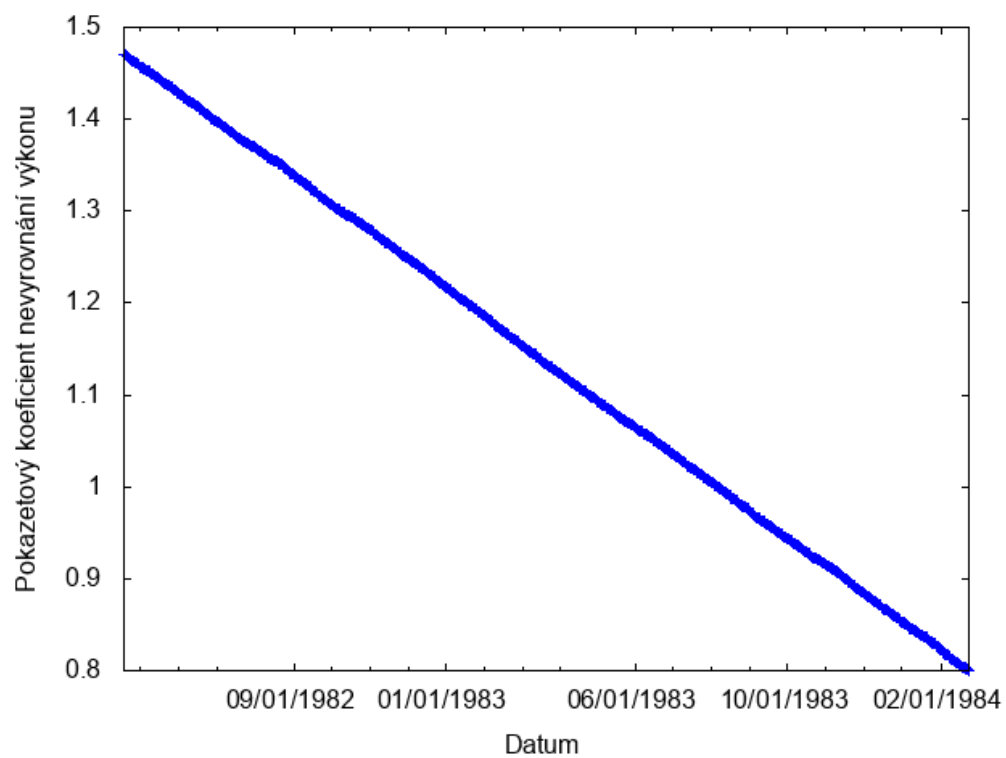
### Axiální ofset



### Koncentrace kyseliny borité

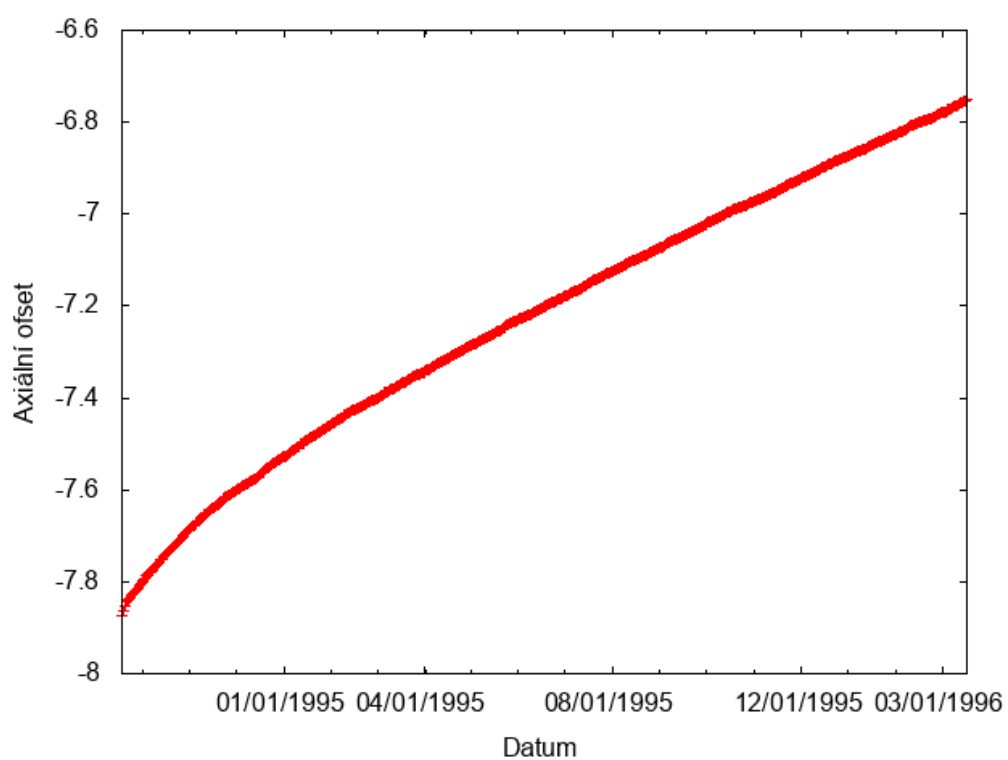


## Pokazetový koeficient nevyrovnání výkonu

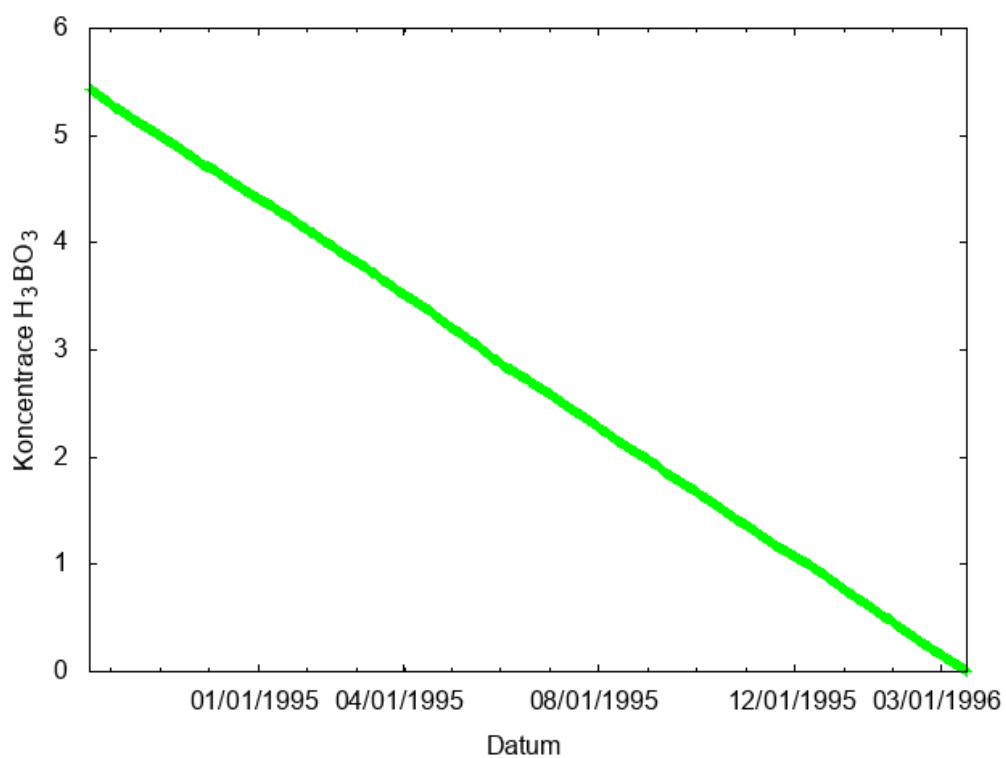


## CandyMountain 9

Axiální ofset

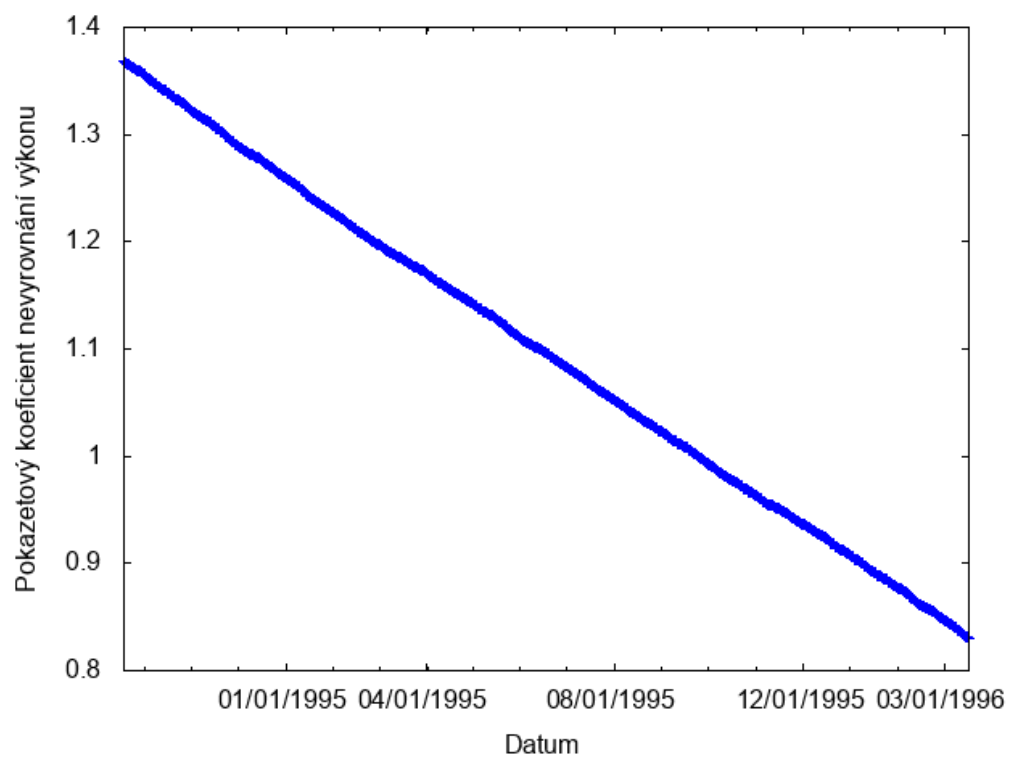


Koncentrace kyseliny borité



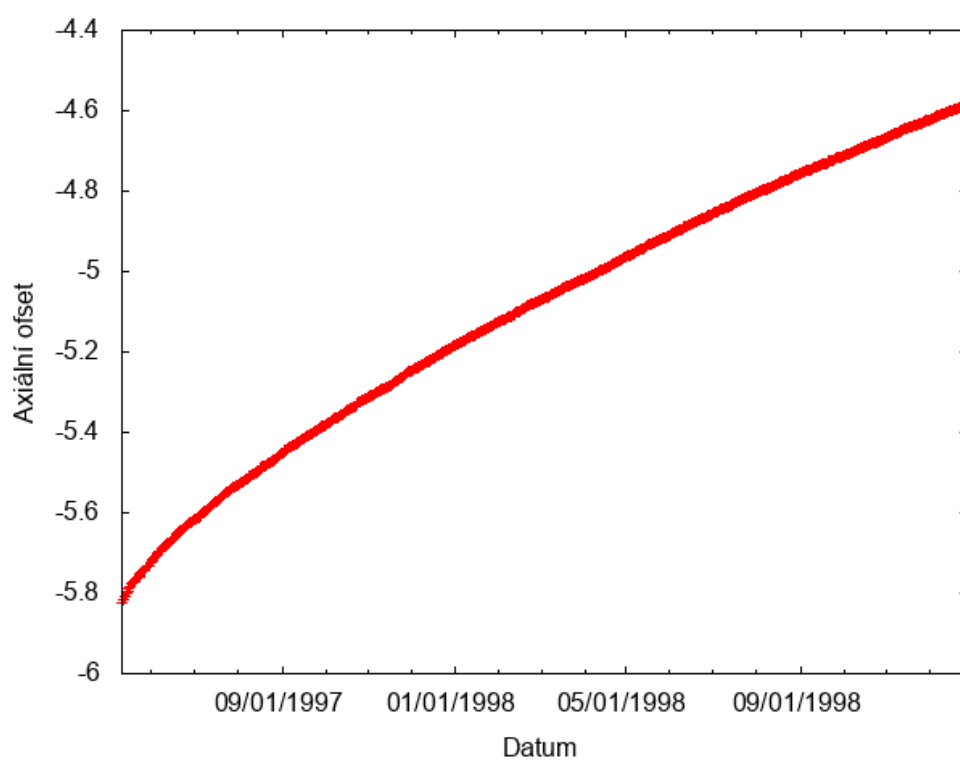


## Pokazetový koeficient nevyrovnání výkonu

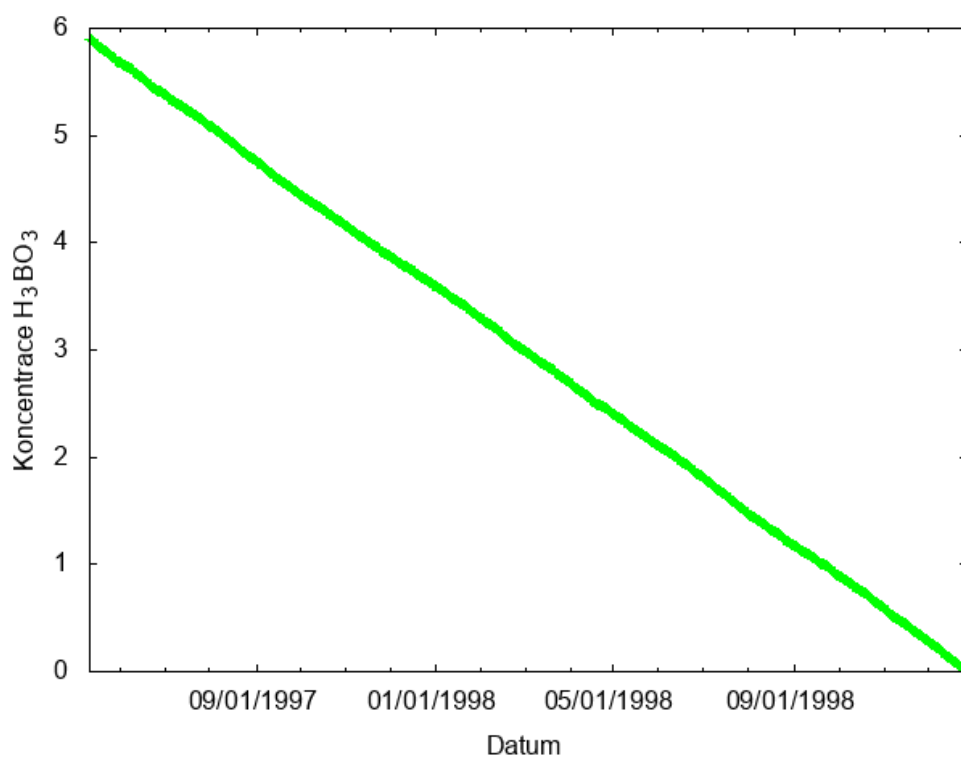


## CandyMountain 10

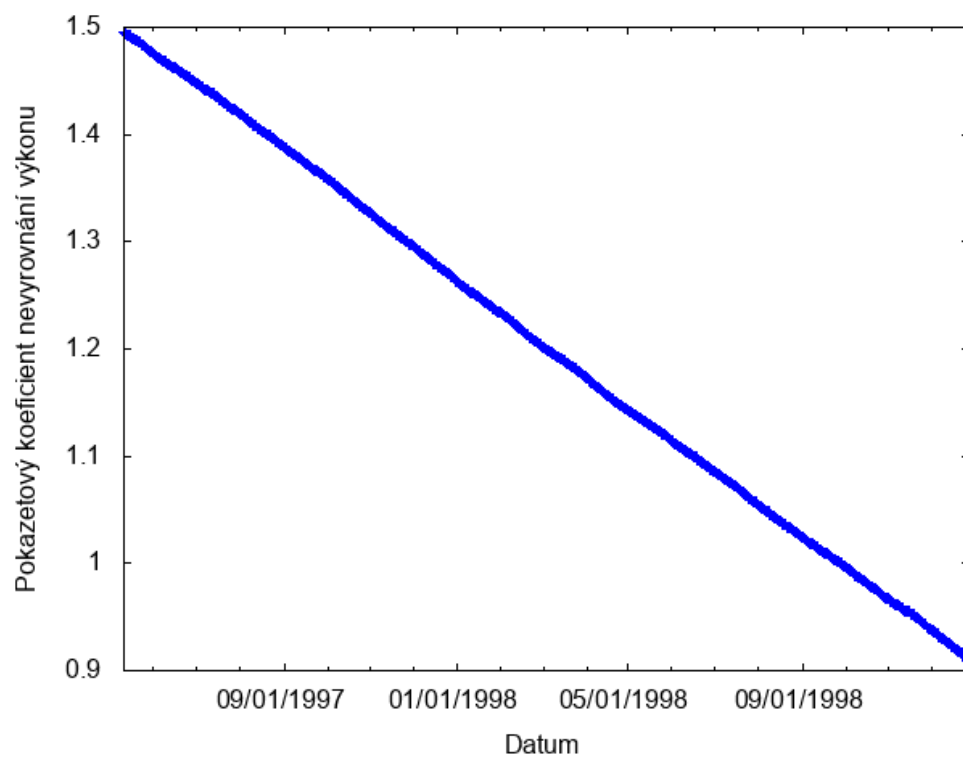
### Axiální ofset



### Koncentrace kyseliny borité

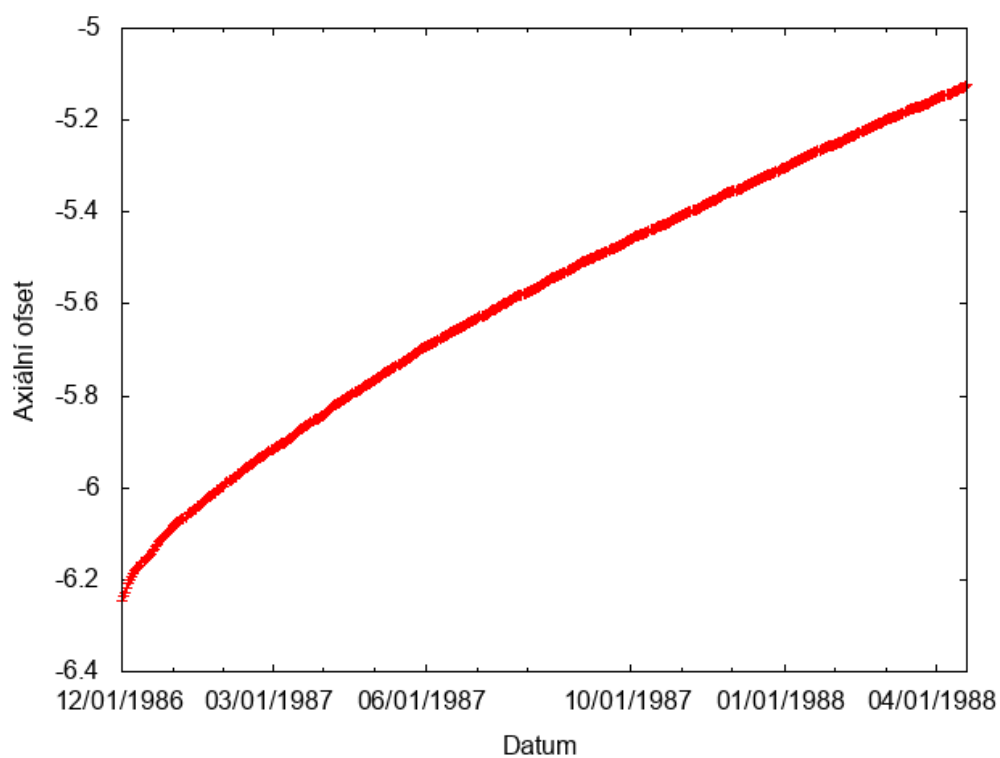


## Pokazetový koeficient nevyrovnání výkonu

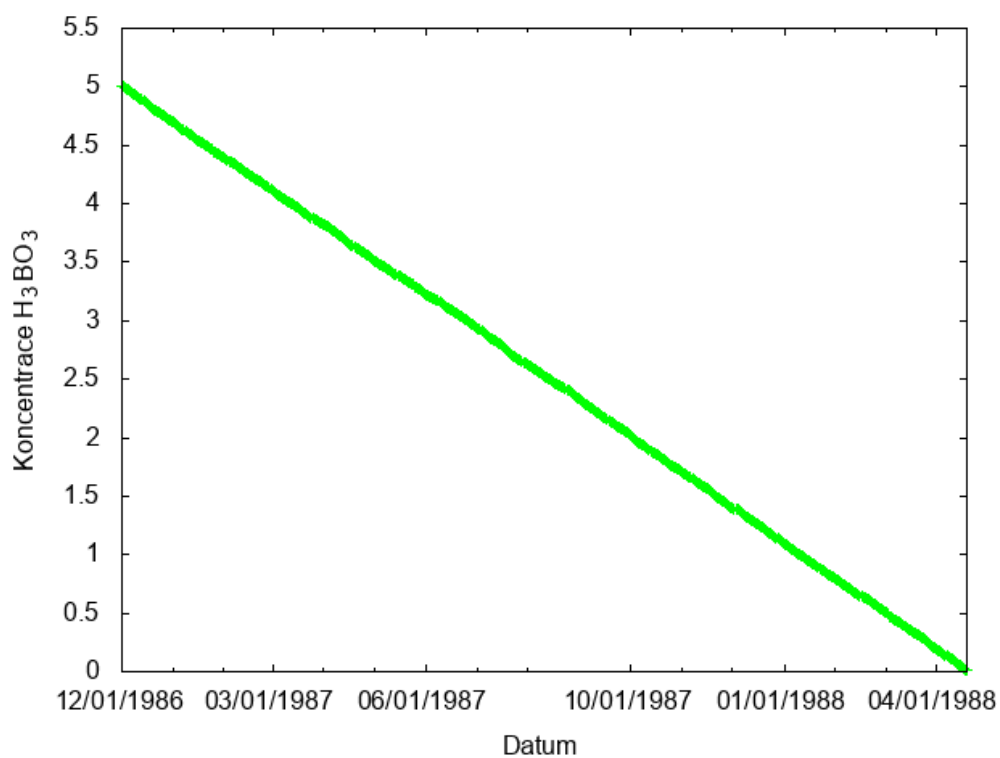


## CandyMountain 11

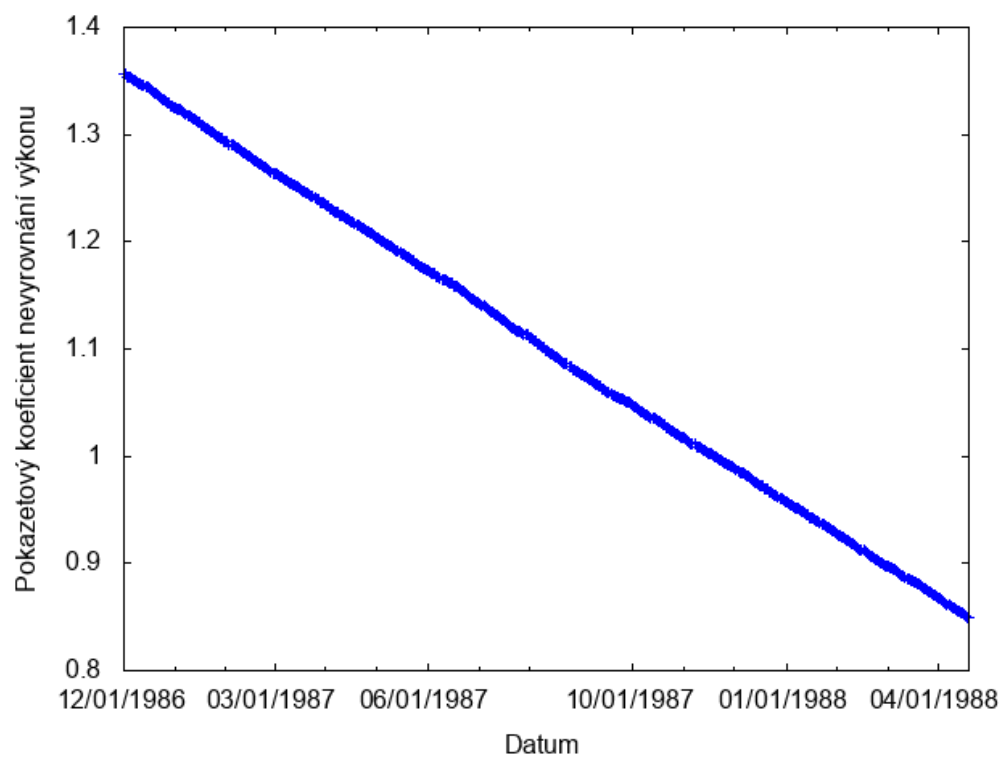
Axiální ofset



Koncentrace kyseliny borité

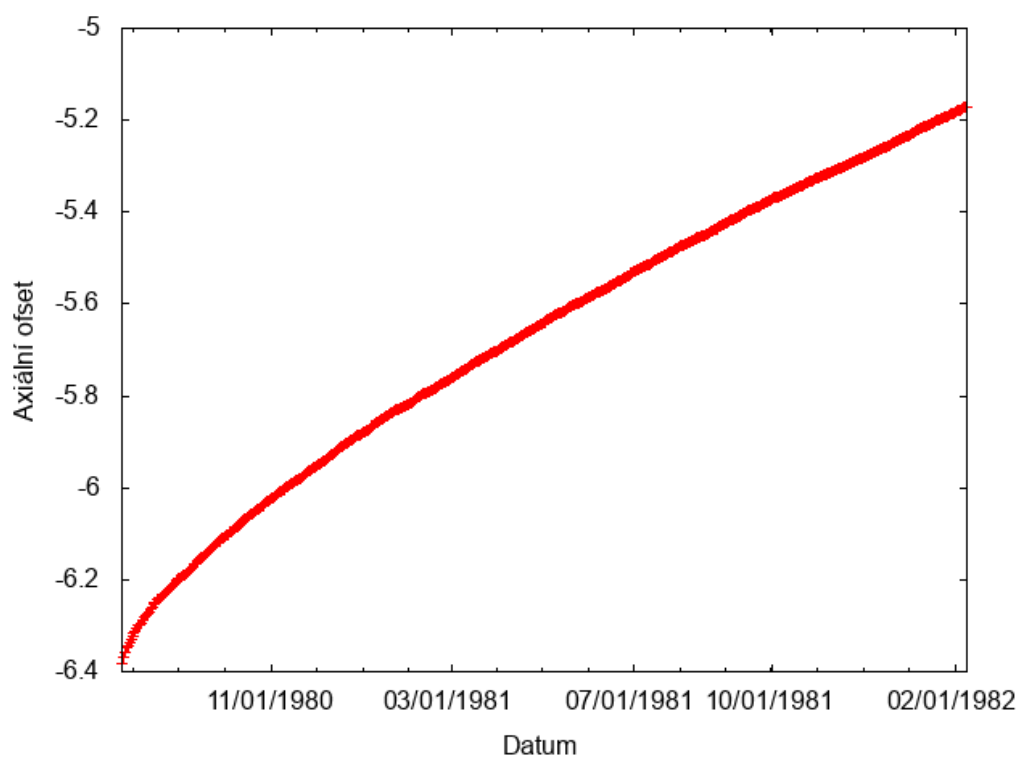


## Pokazetový koeficient nevyrovnání výkonu

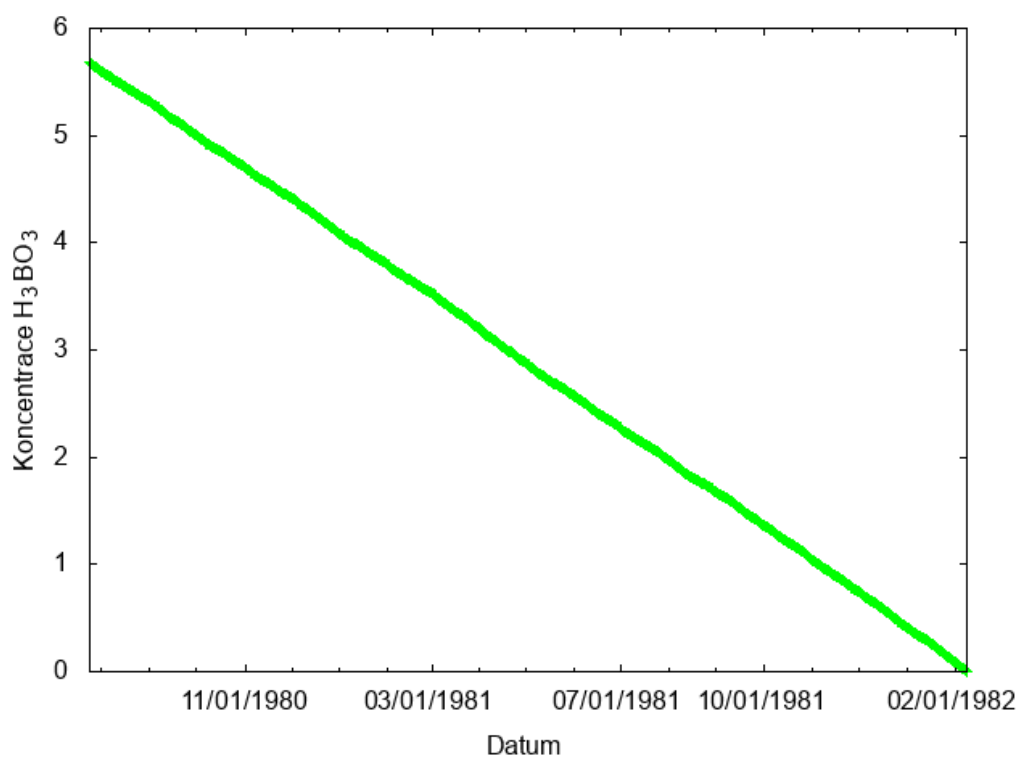


## CandyMountain 12

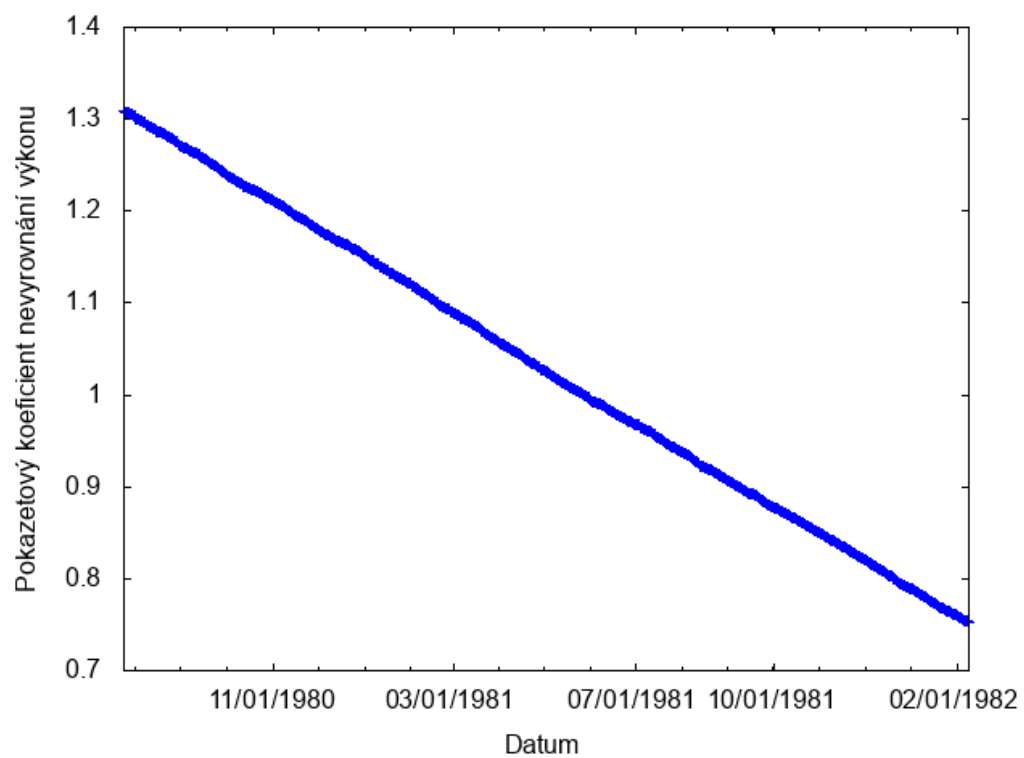
Axiální ofset



Koncentrace kyseliny borité

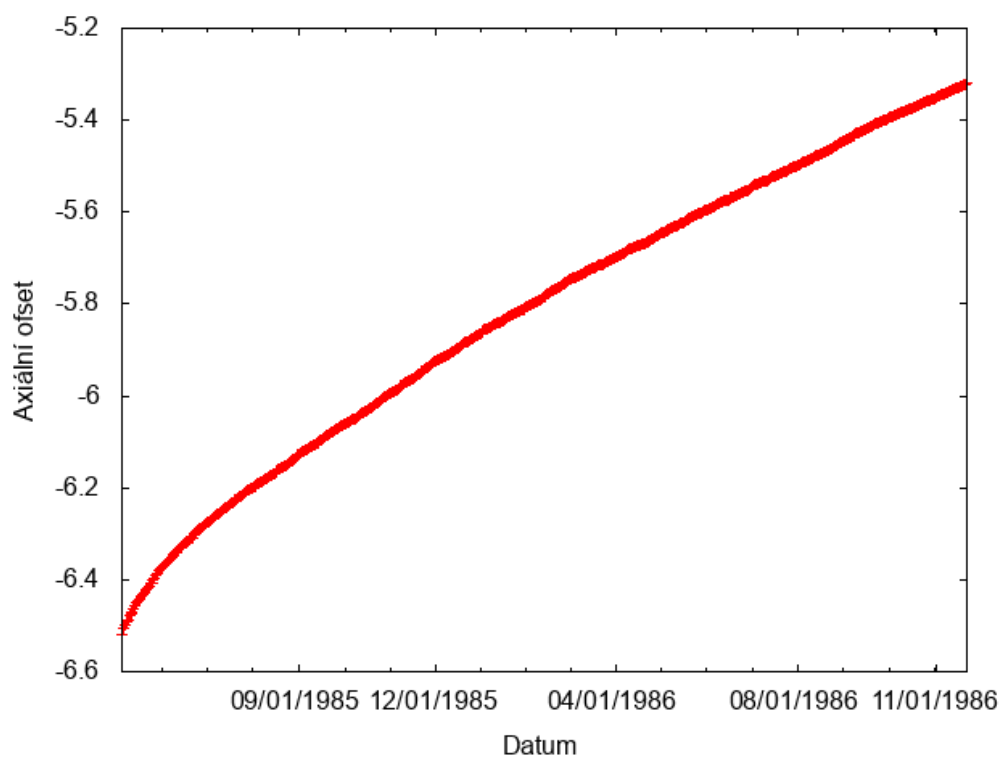


## Pokazetový koeficient nevyrovnání výkonu

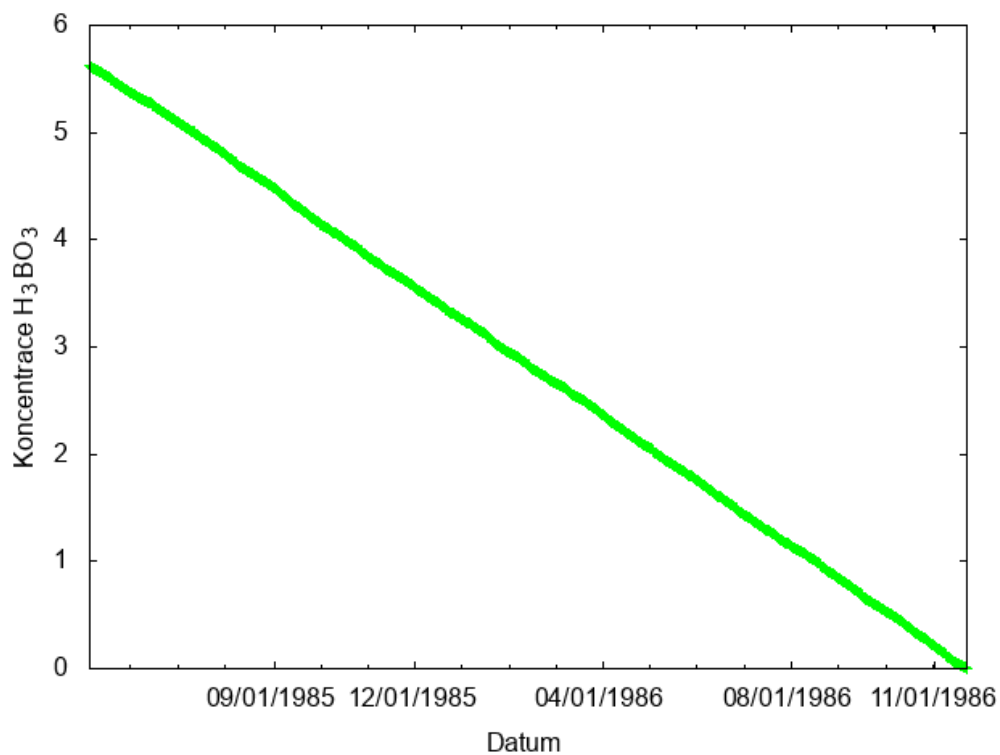


## CandyMountain 13

Axiální ofset

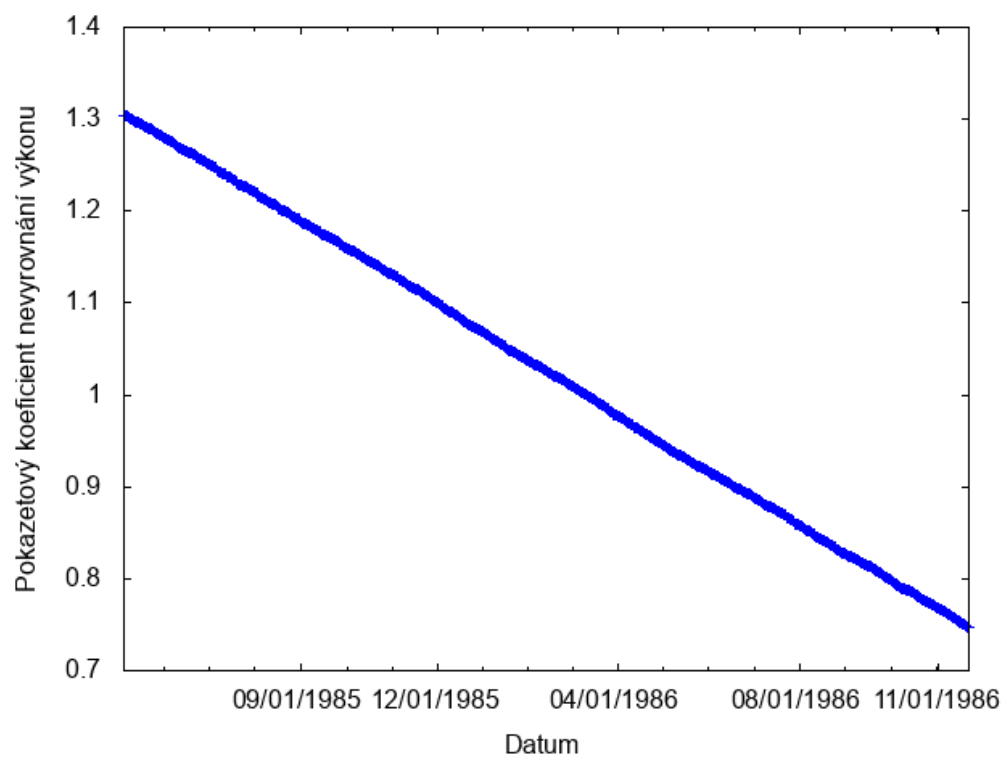


Koncentrace kyseliny borité



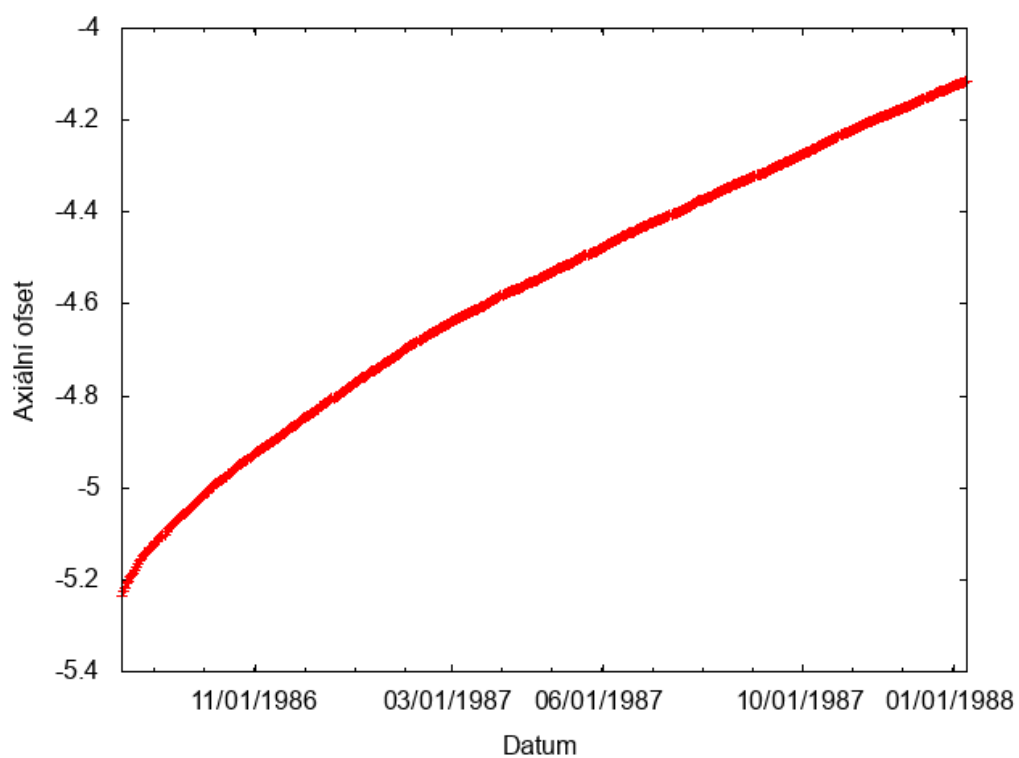


## Pokazetový koeficient nevyrovnání výkonu

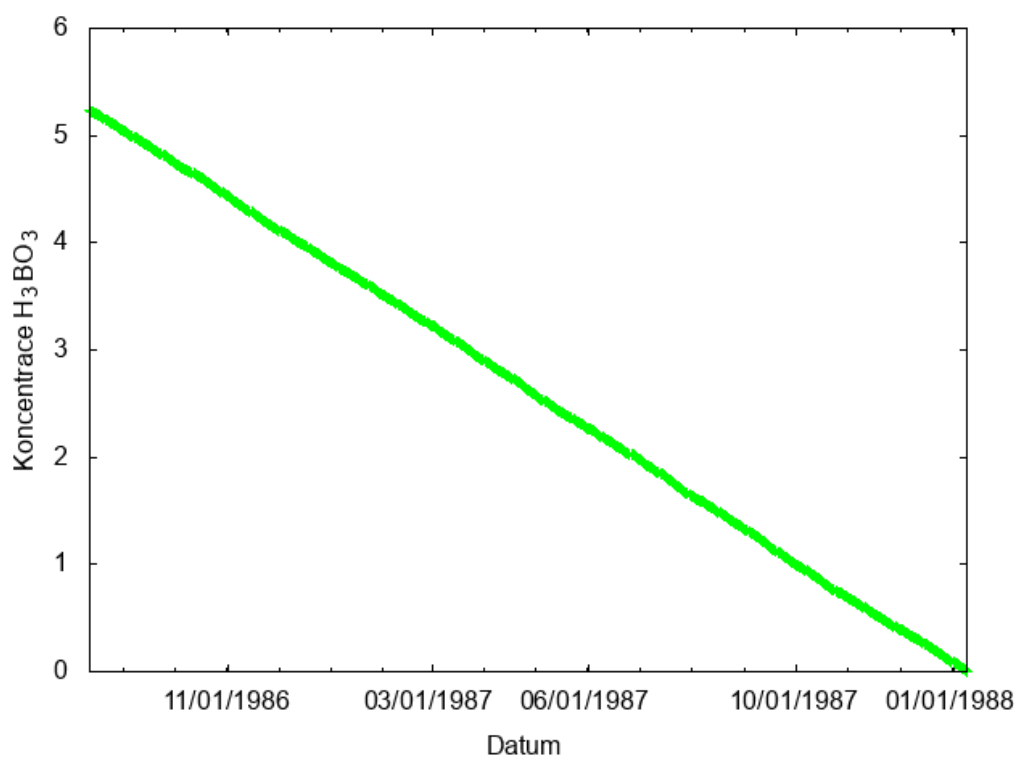


## CandyMountain 14

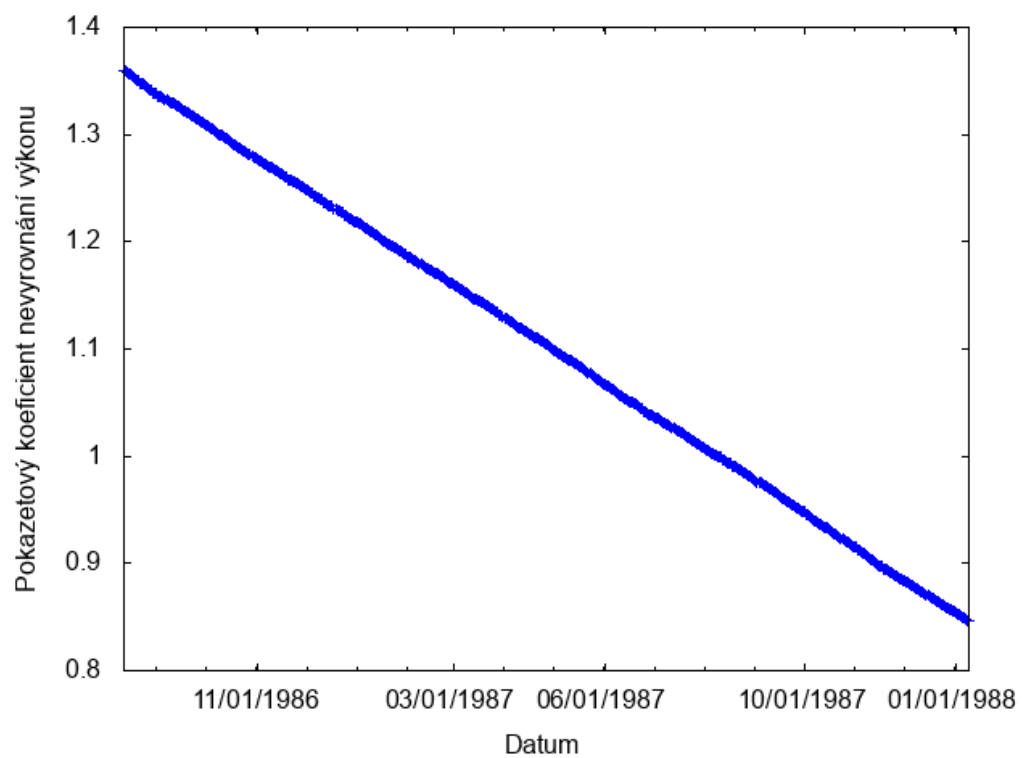
Axiální ofset



Koncentrace kyseliny borité

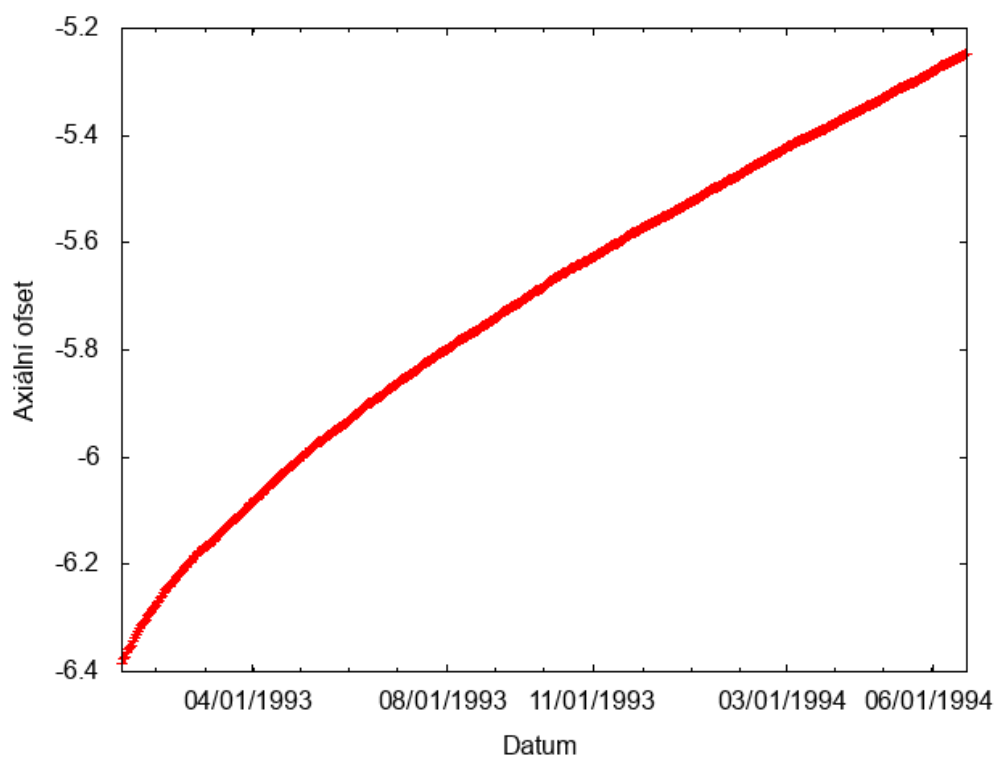


## Pokazetový koeficient nevyrovnání výkonu

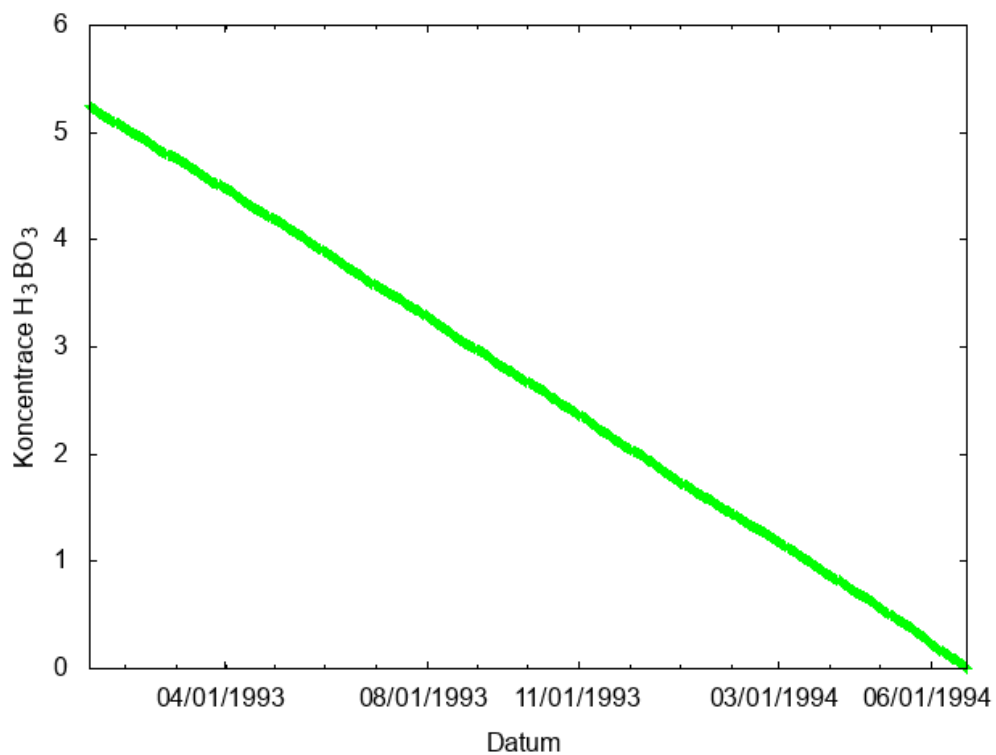


## CandyMountain 15

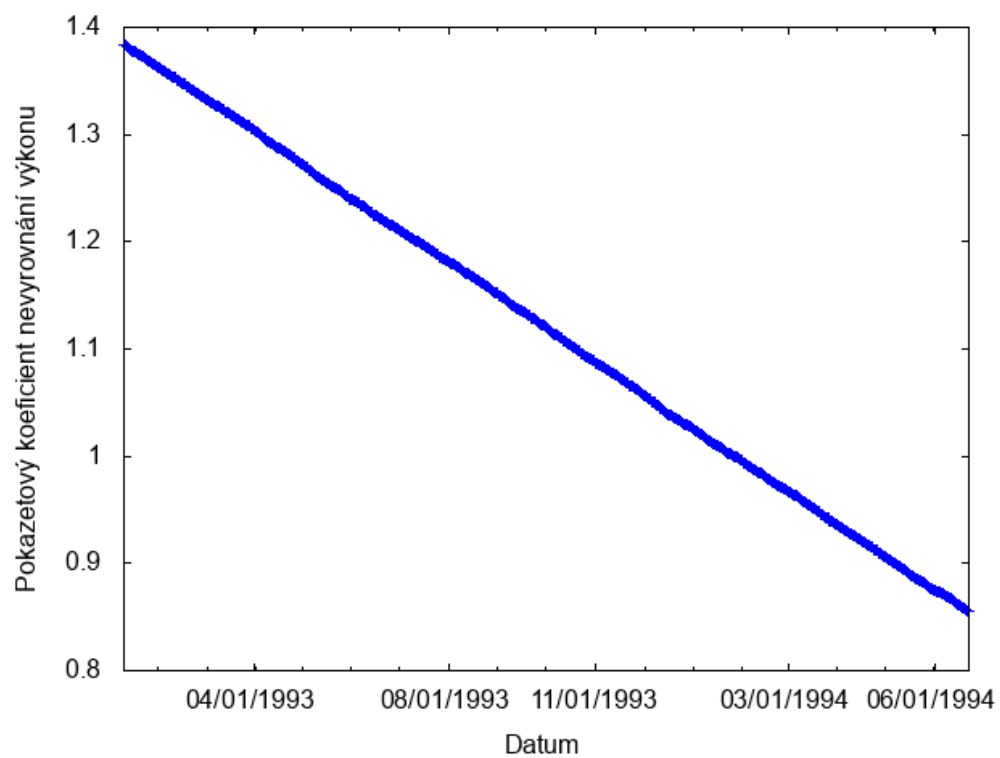
Axiální ofset



Koncentrace kyseliny borité

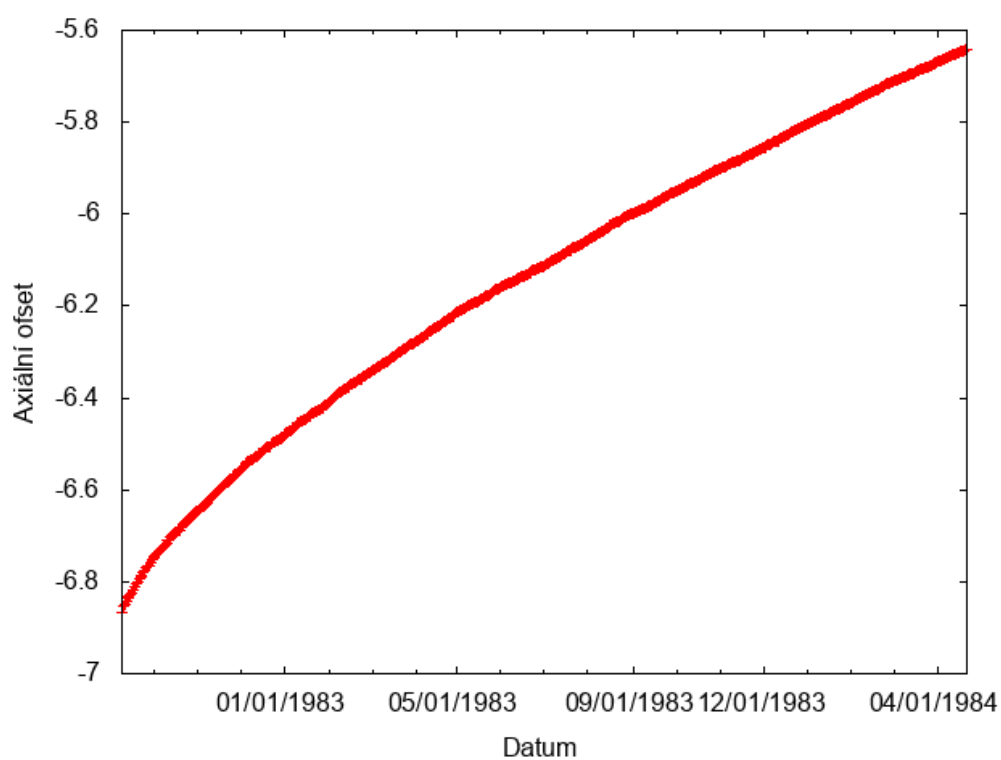


## Pokazetový koeficient nevyrovnání výkonu

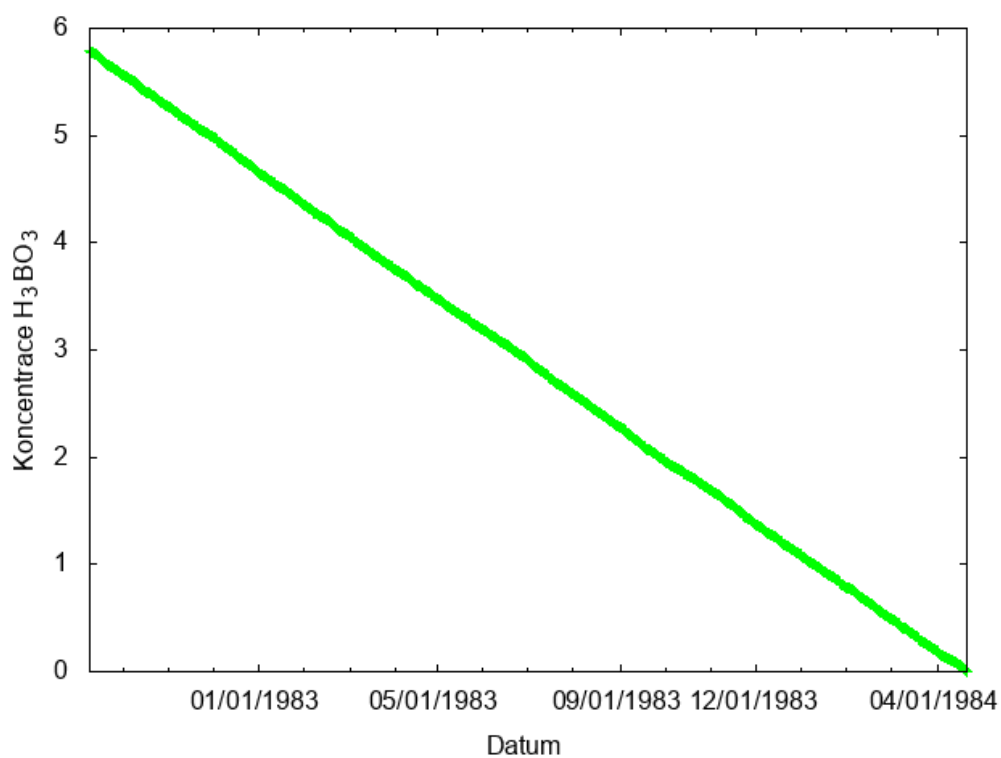


# Disneyland 1

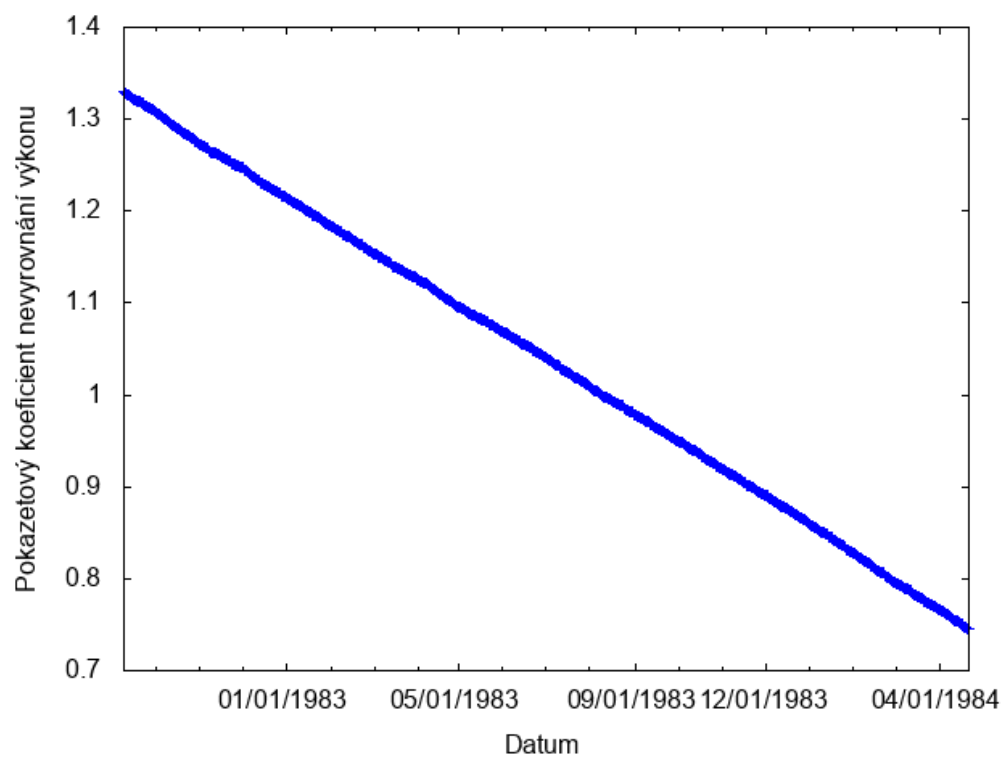
## Axiální ofset



## Koncentrace kyseliny borité

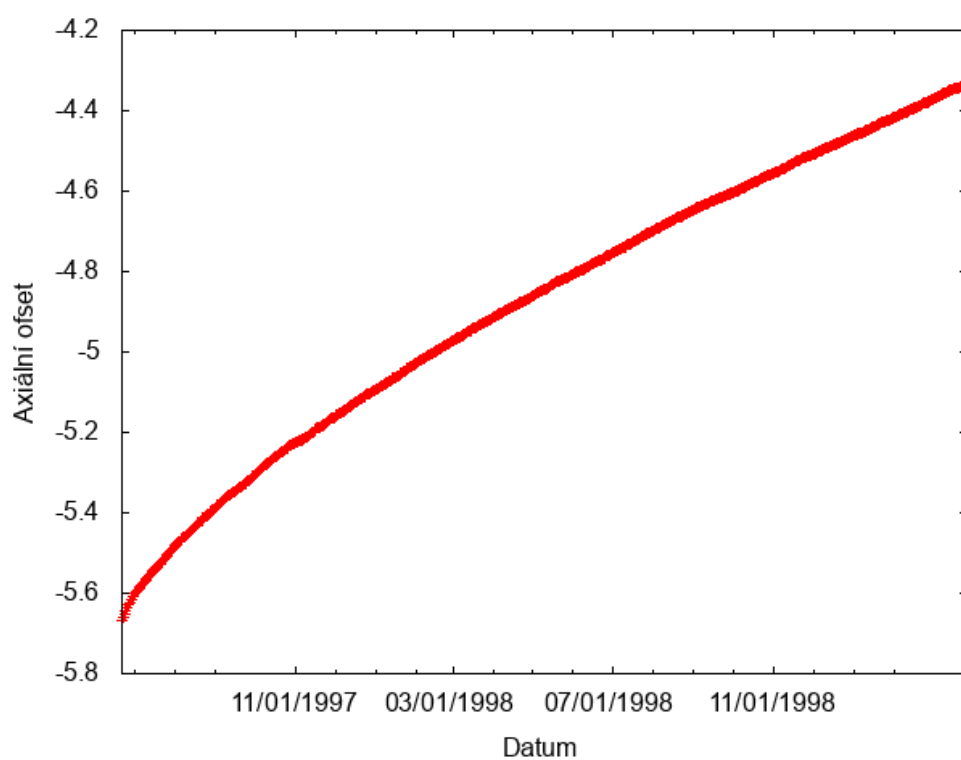


## Pokazetový koeficient nevyrovnání výkonu

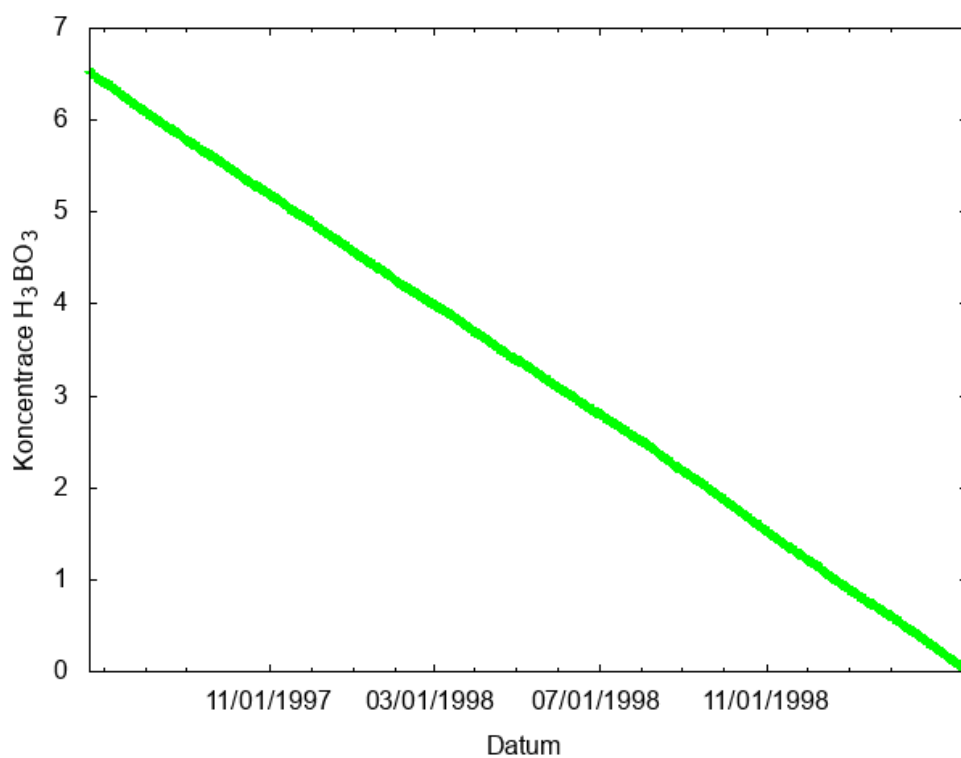


## Disneyland 2

### Axiální ofset

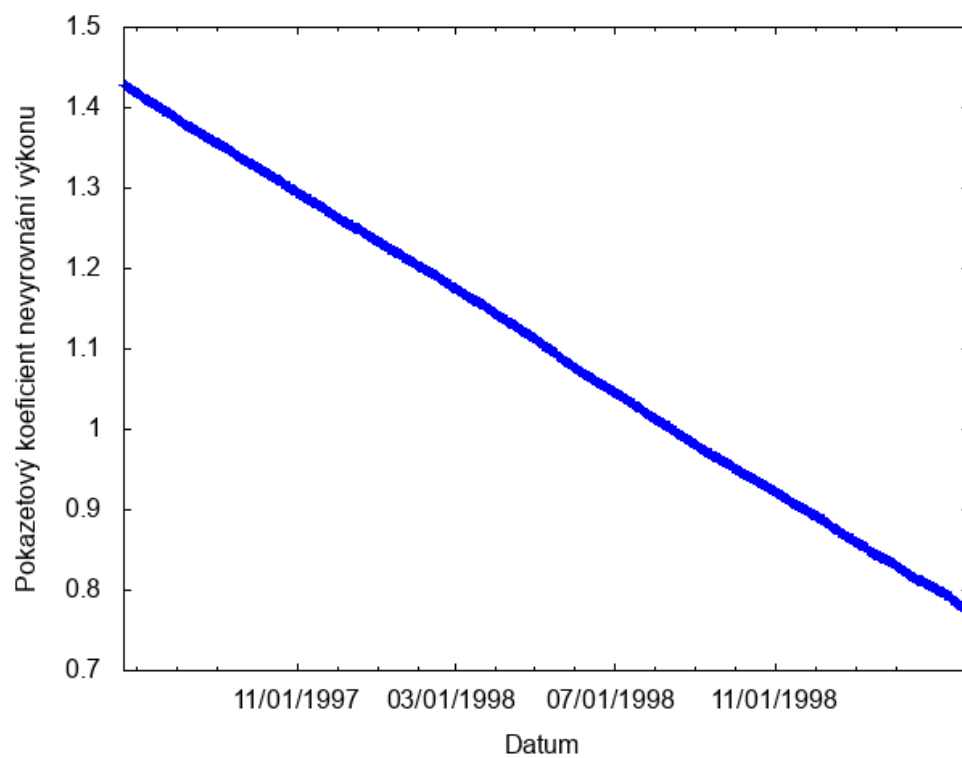


### Koncentrace kyseliny borité



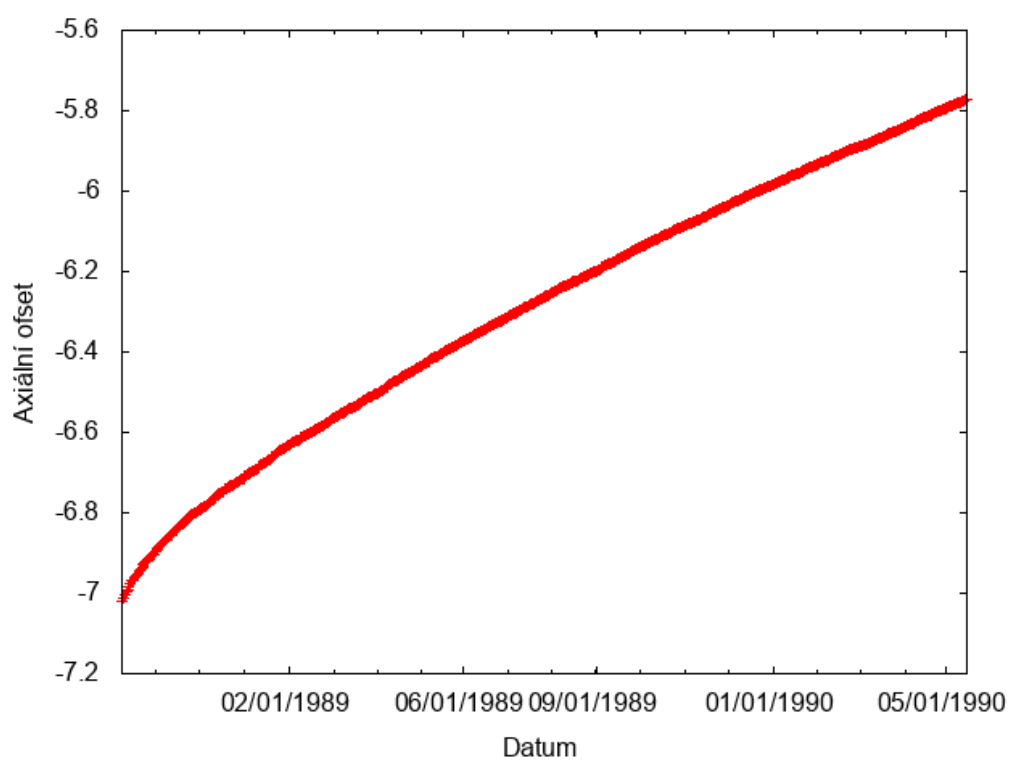


## Pokazetový koeficient nevyrovnání výkonu

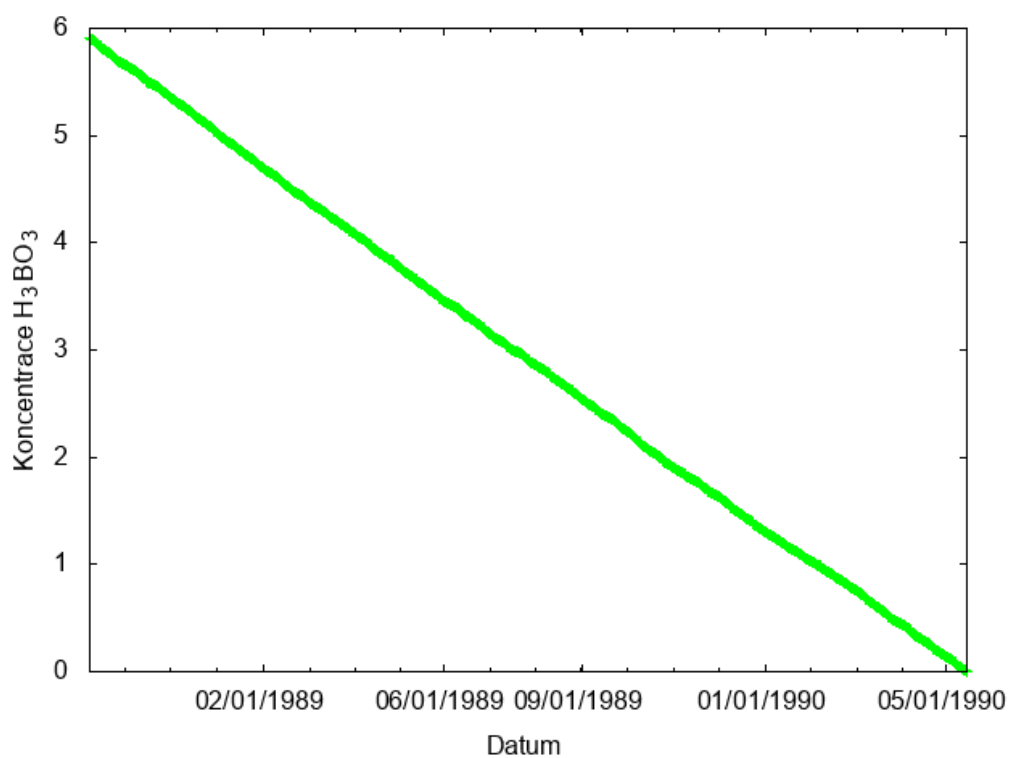


## Disneyland 3

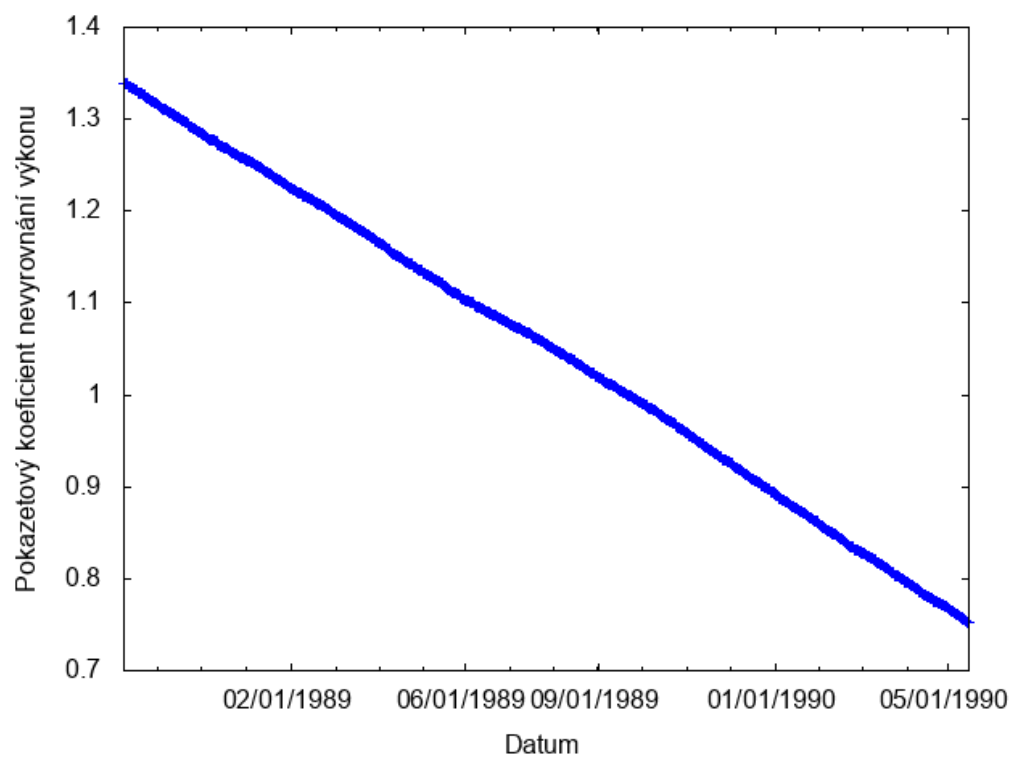
Axiální ofset



Koncentrace kyseliny borité

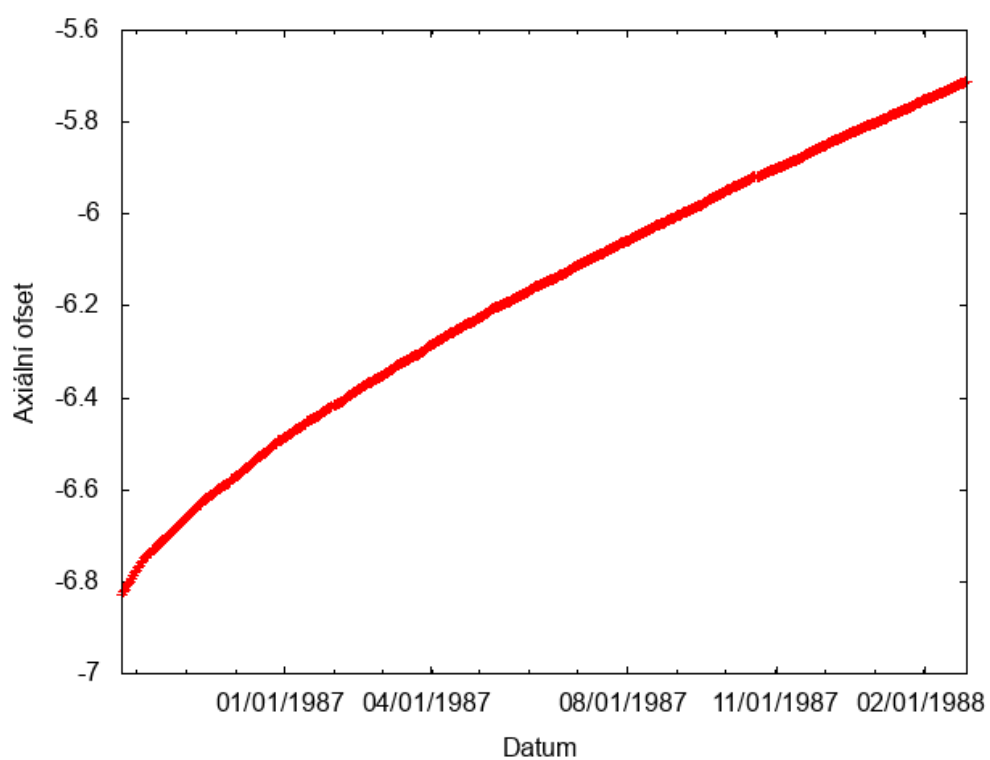


## Pokazetový koeficient nevyrovnání výkonu

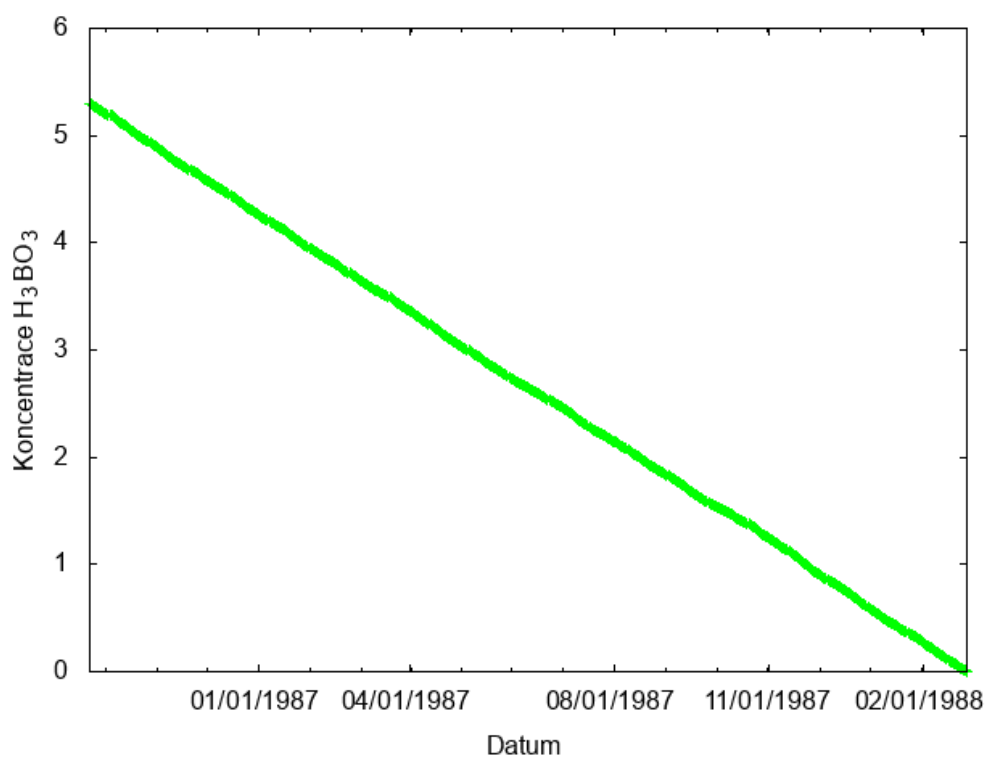


## Disneyland 4

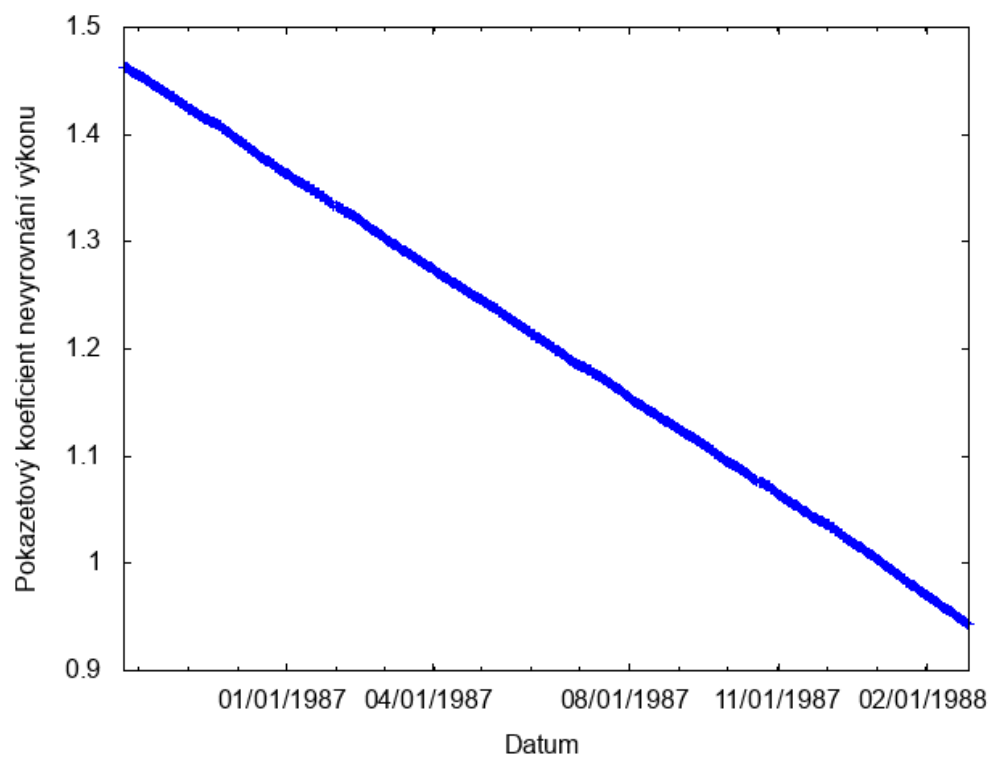
Axiální ofset



Koncentrace kyseliny borité

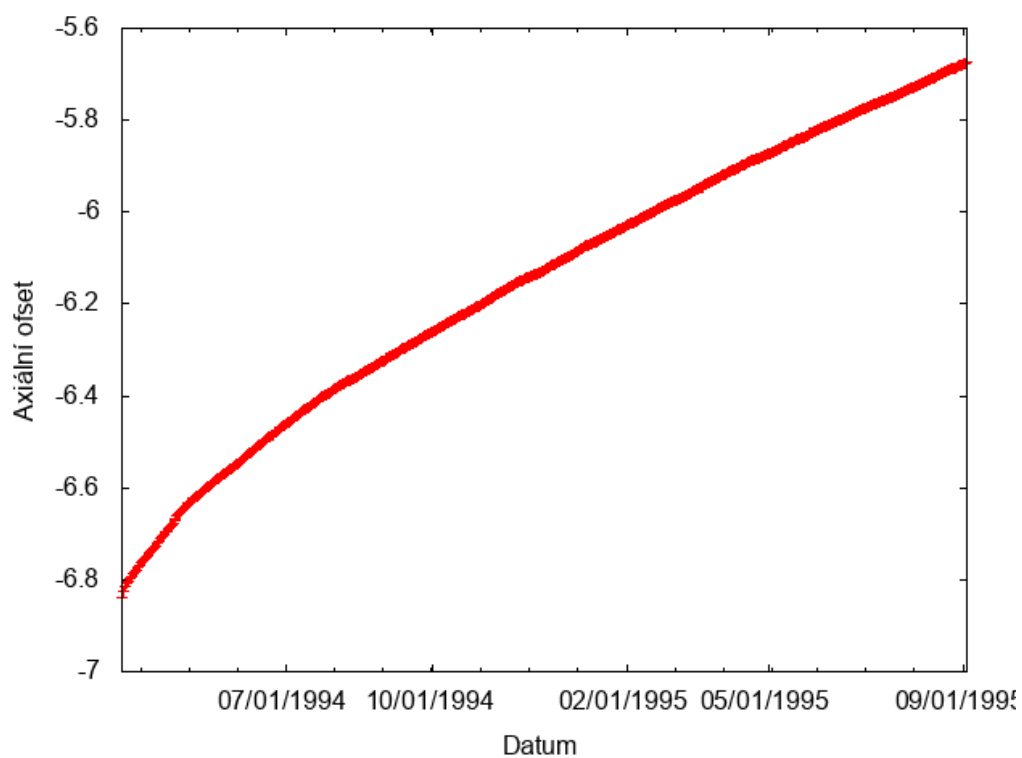


## Pokazetový koeficient nevyrovnání výkonu

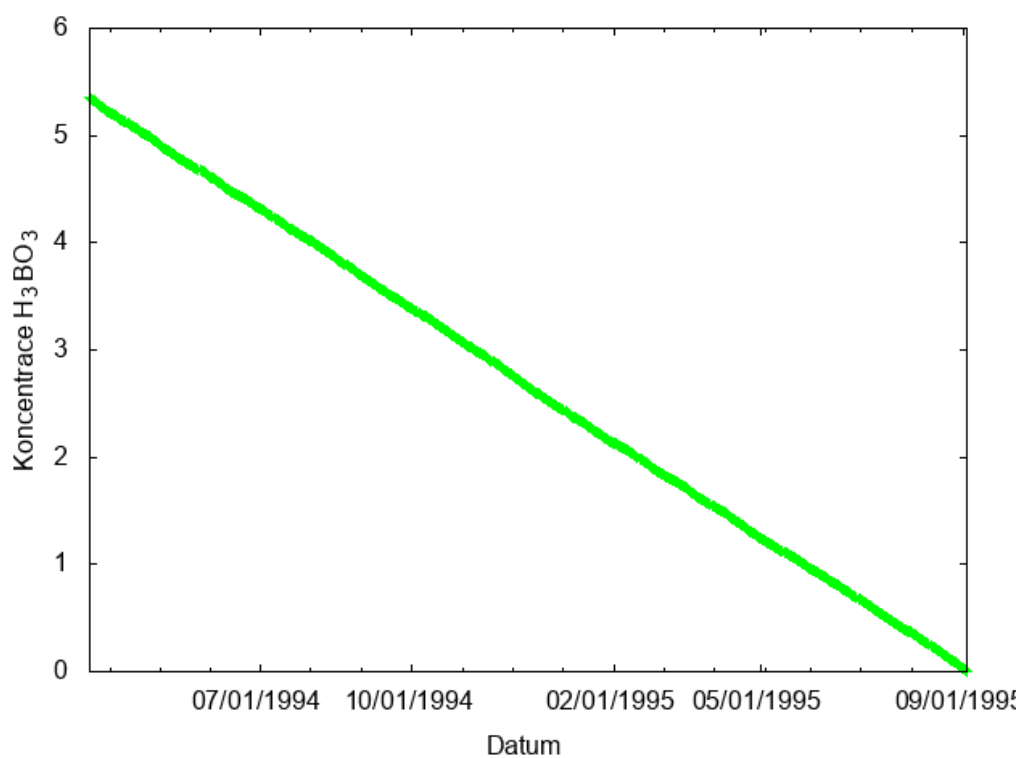


## Disneyland 5

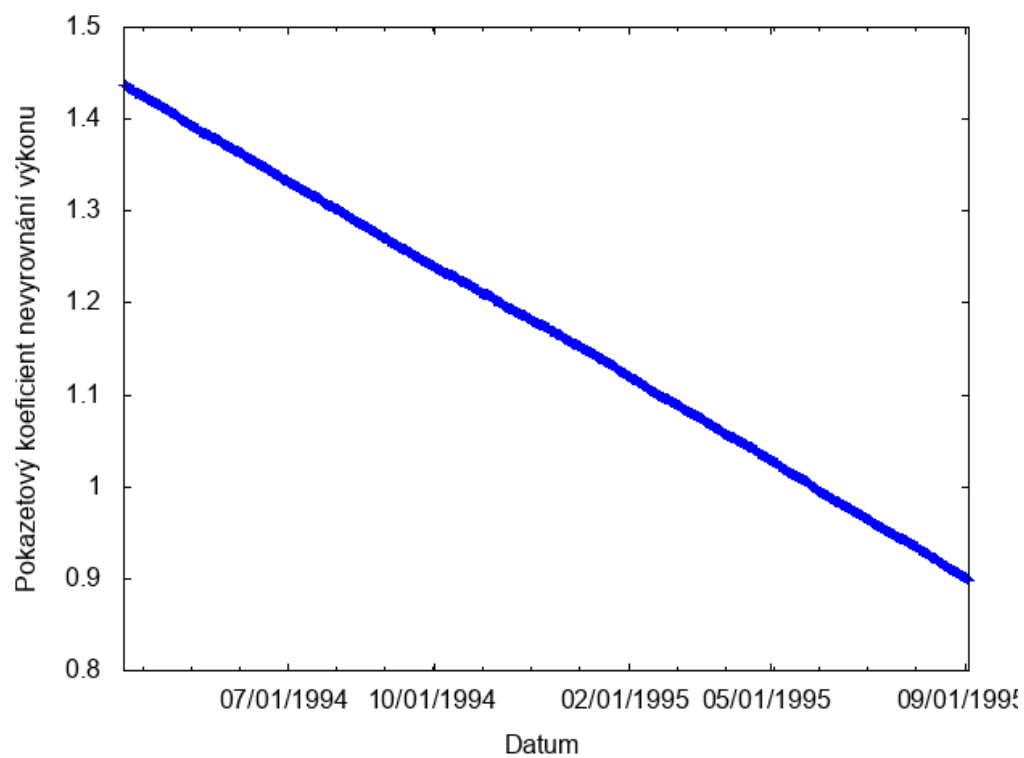
Axiální ofset



Koncentrace kyseliny borité

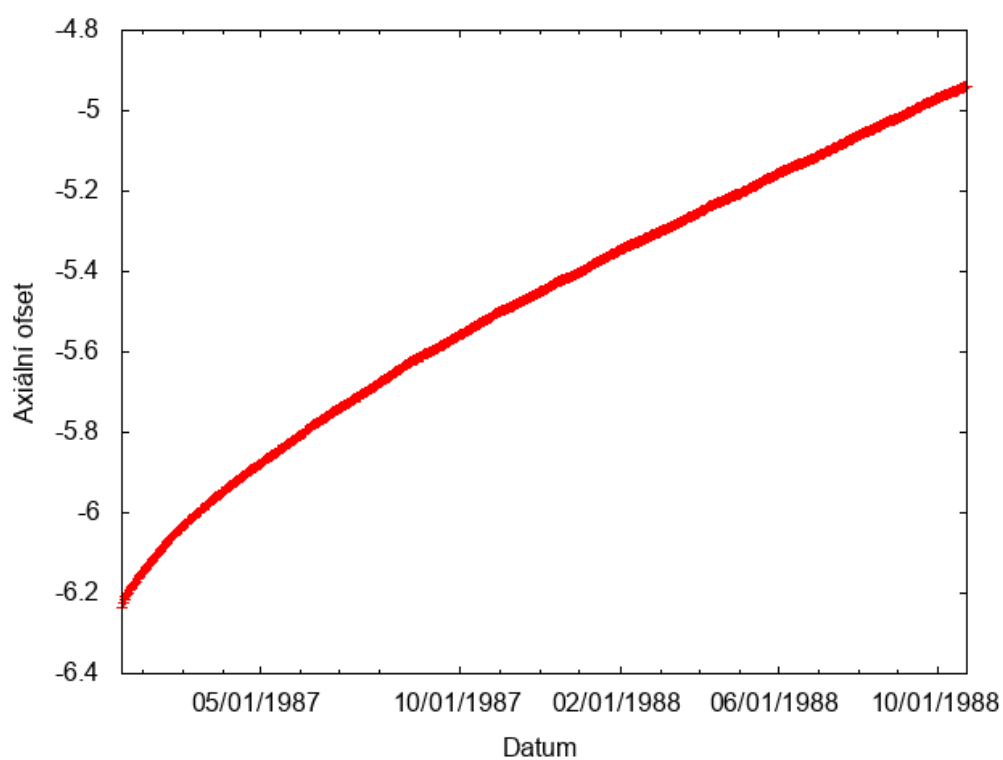


## Pokazetový koeficient nevyrovnání výkonu

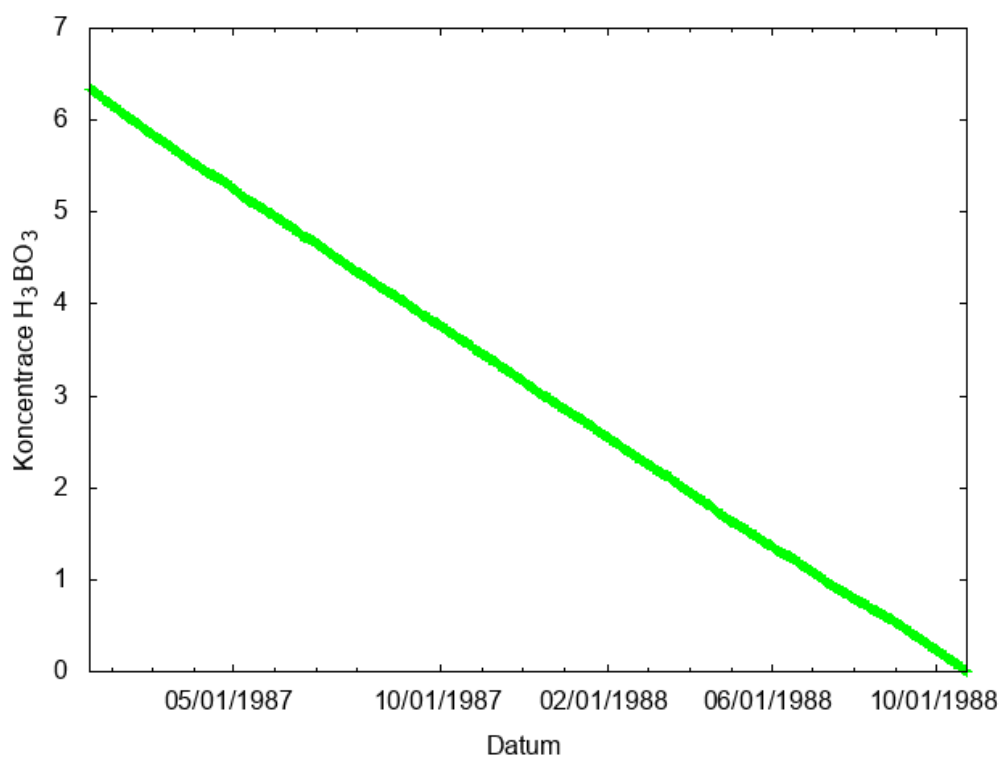


## Disneyland 6

### Axiální ofset

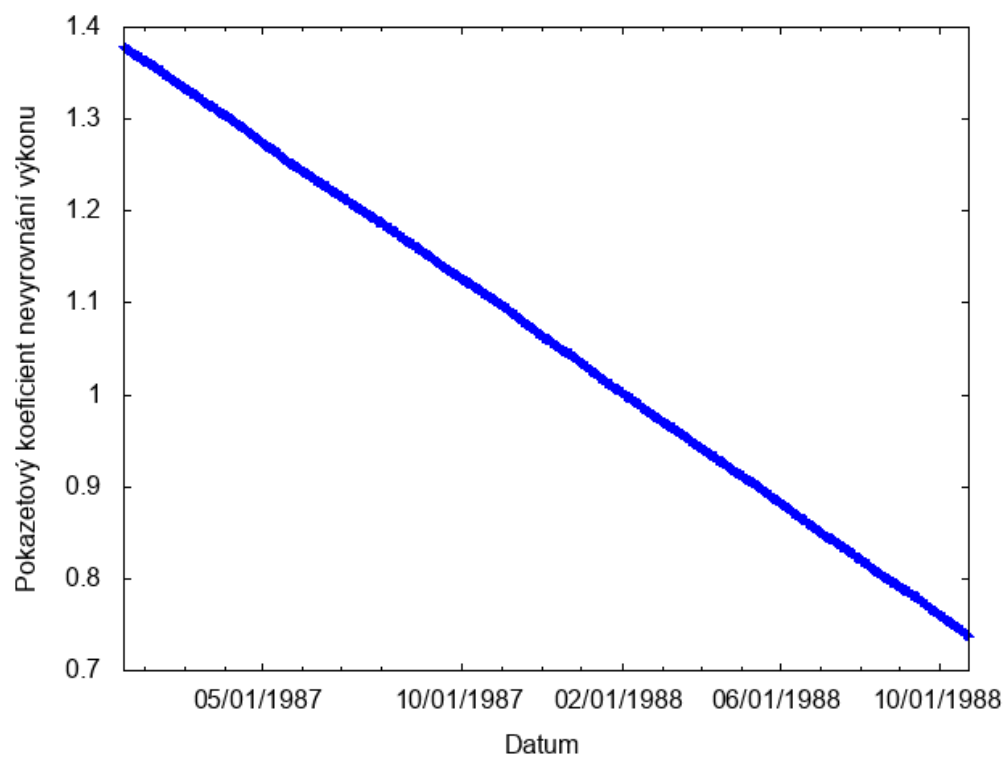


### Koncentrace kyseliny borité



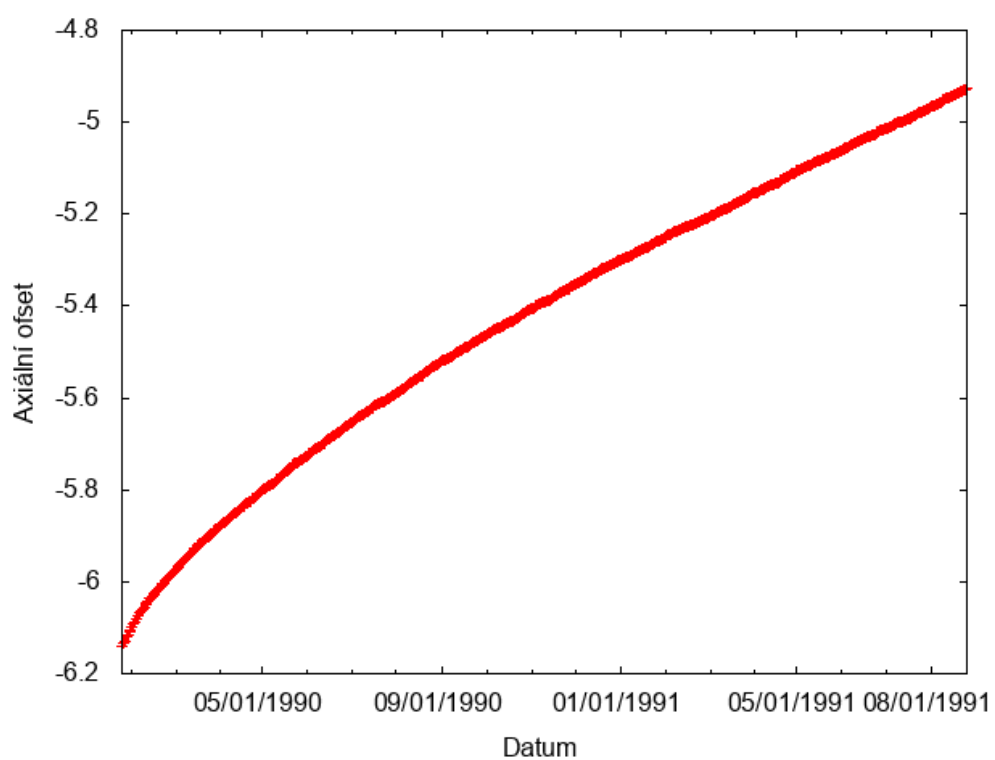


## Pokazetový koeficient nevyrovnání výkonu

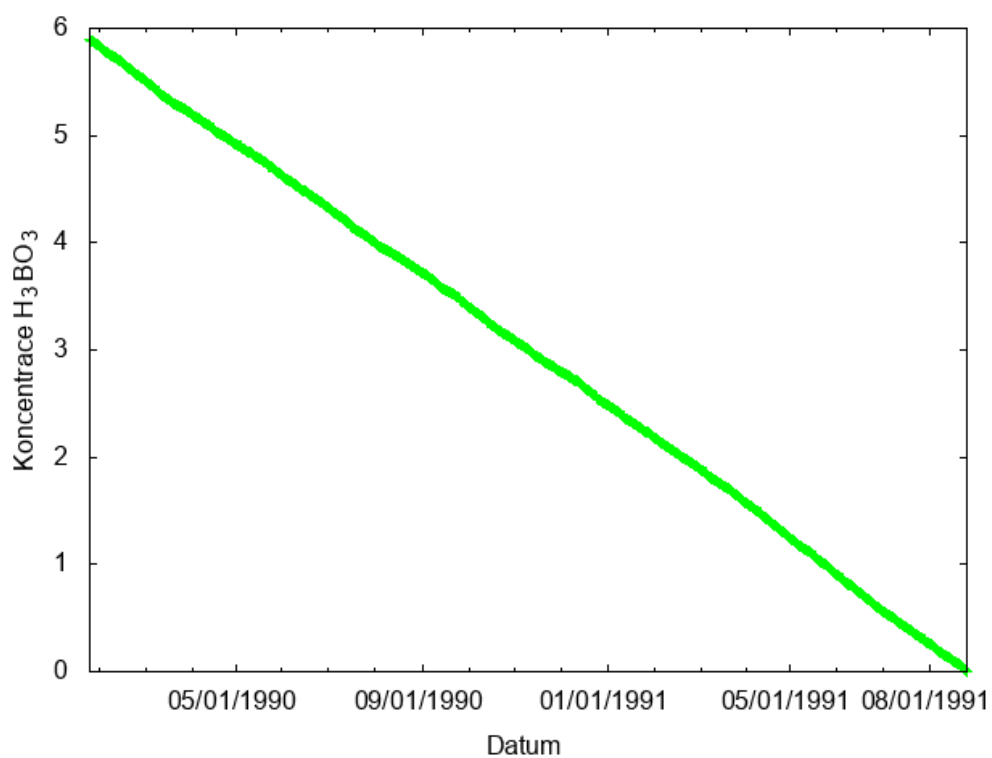


## Disneyland 7

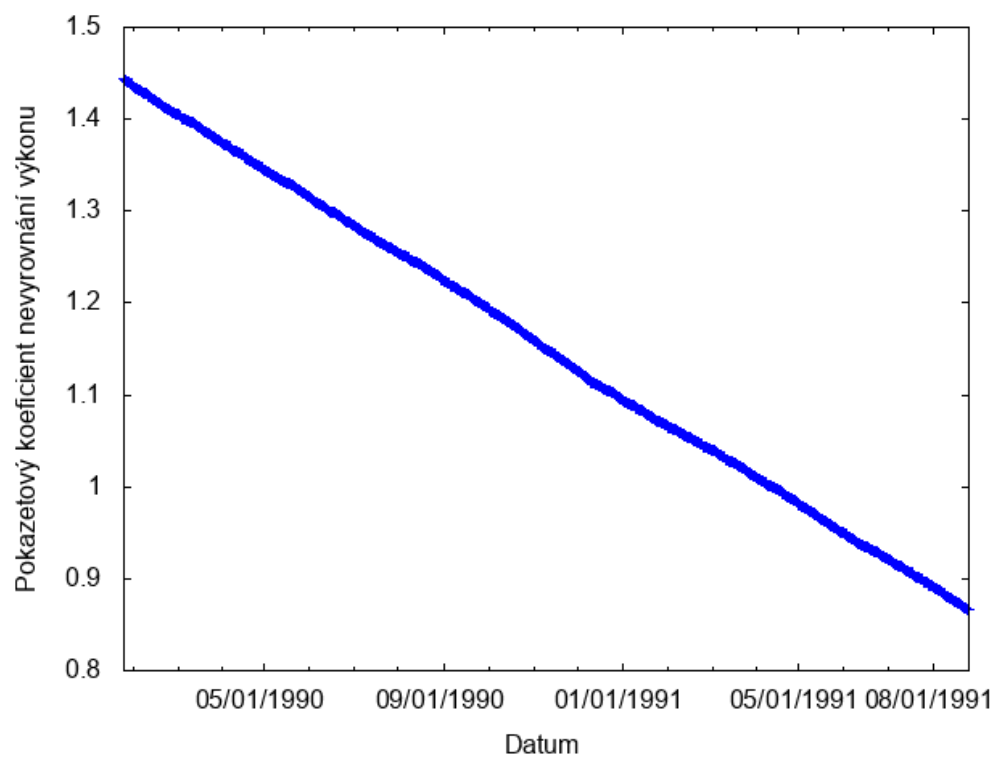
Axiální ofset



Koncentrace kyseliny borité

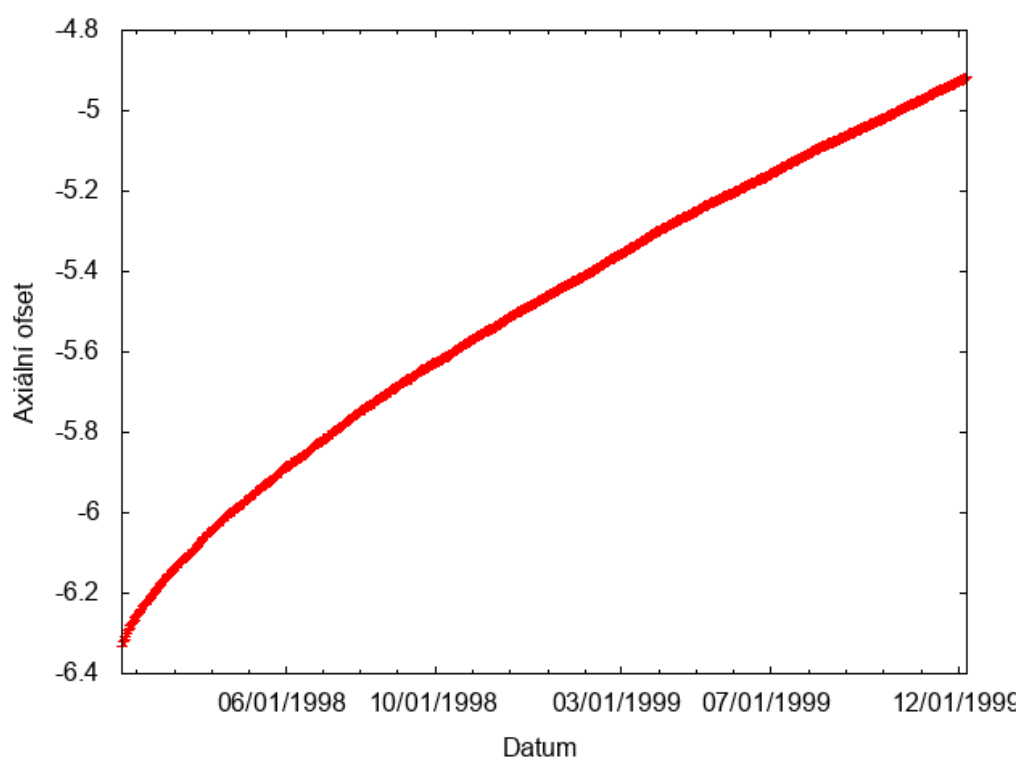


## Pokazetový koeficient nevyrovnání výkonu

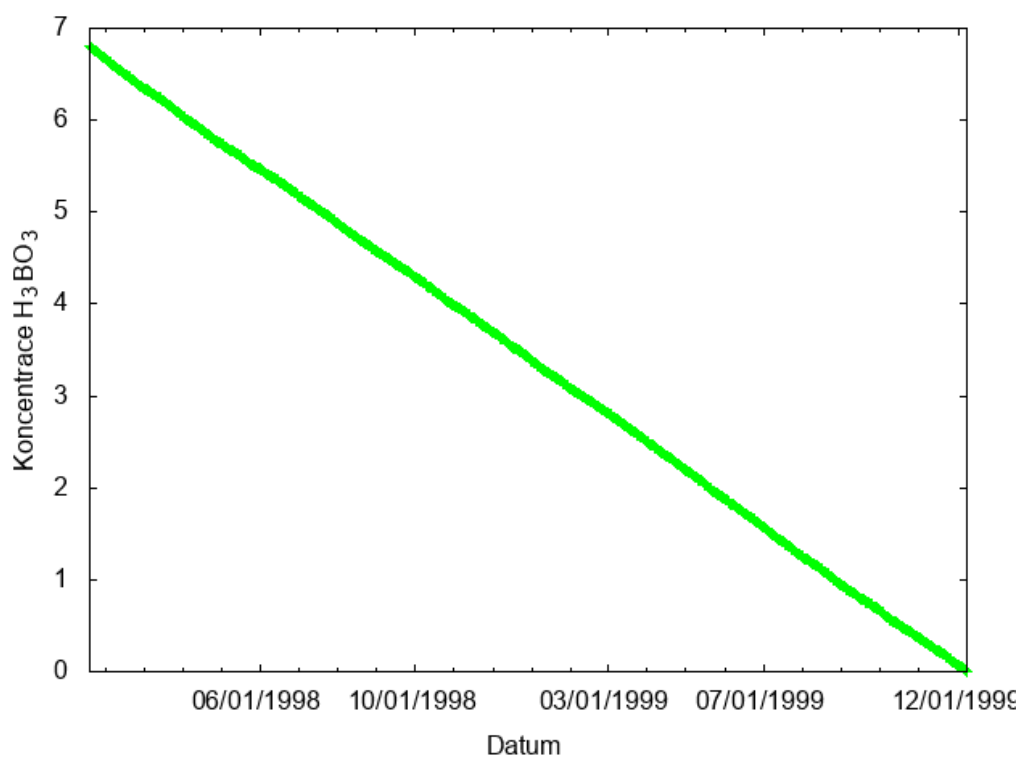


## Disneyland 8

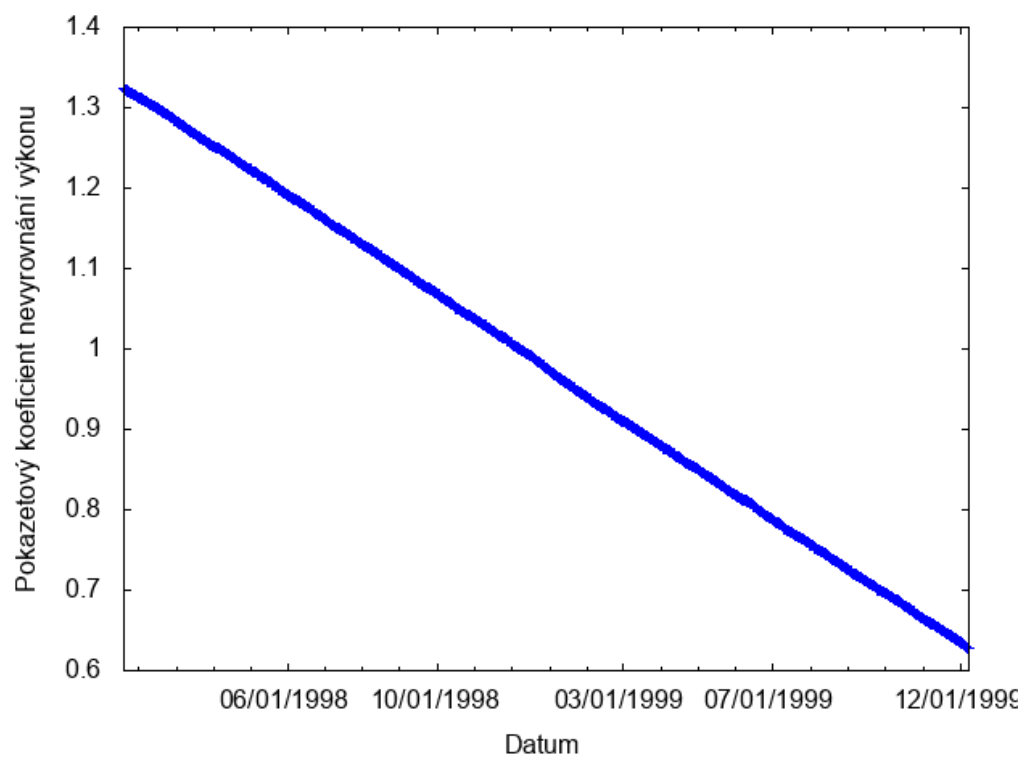
Axiální ofset



Koncentrace kyseliny borité

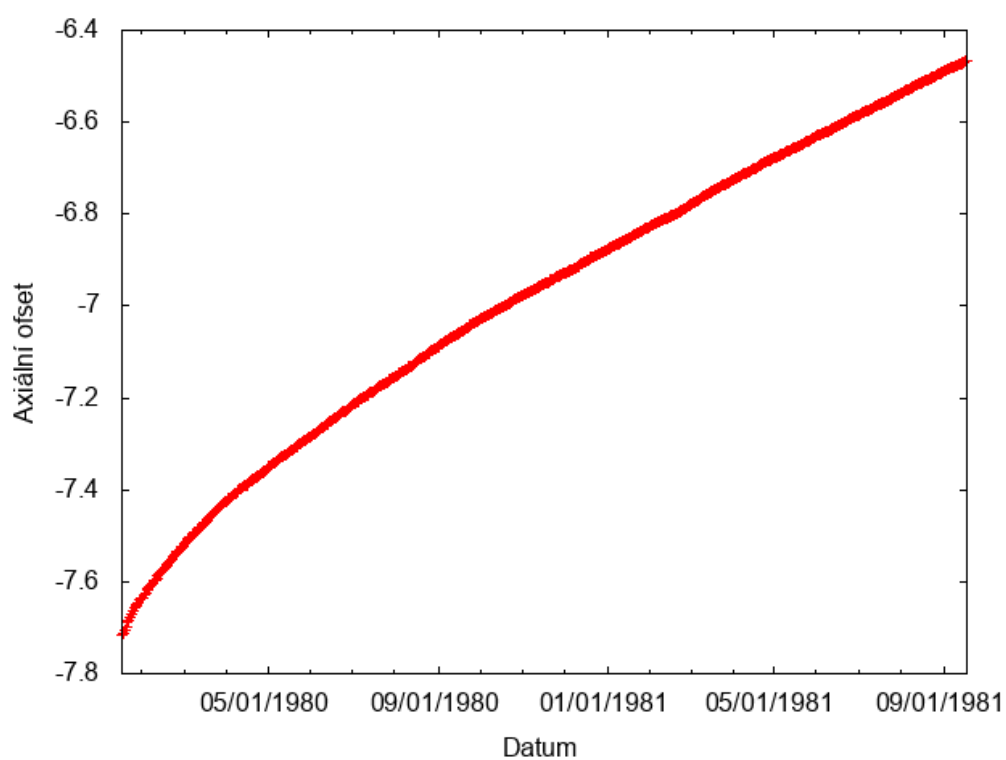


## Pokazetový koeficient nevyrovnání výkonu

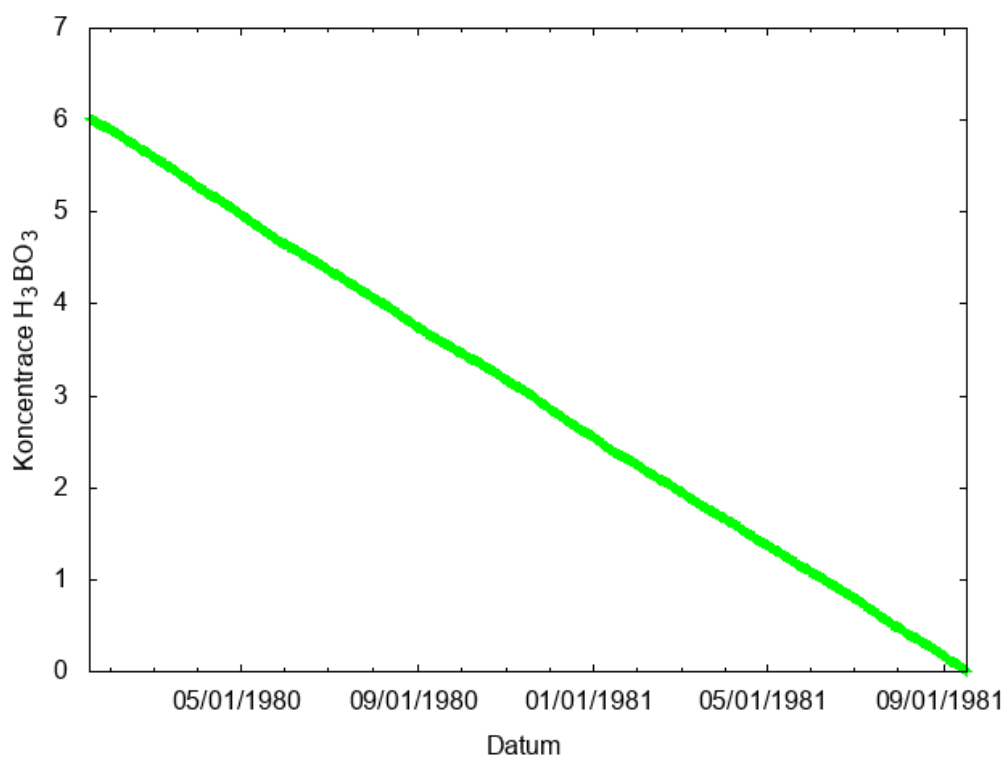


## Disneyland 9

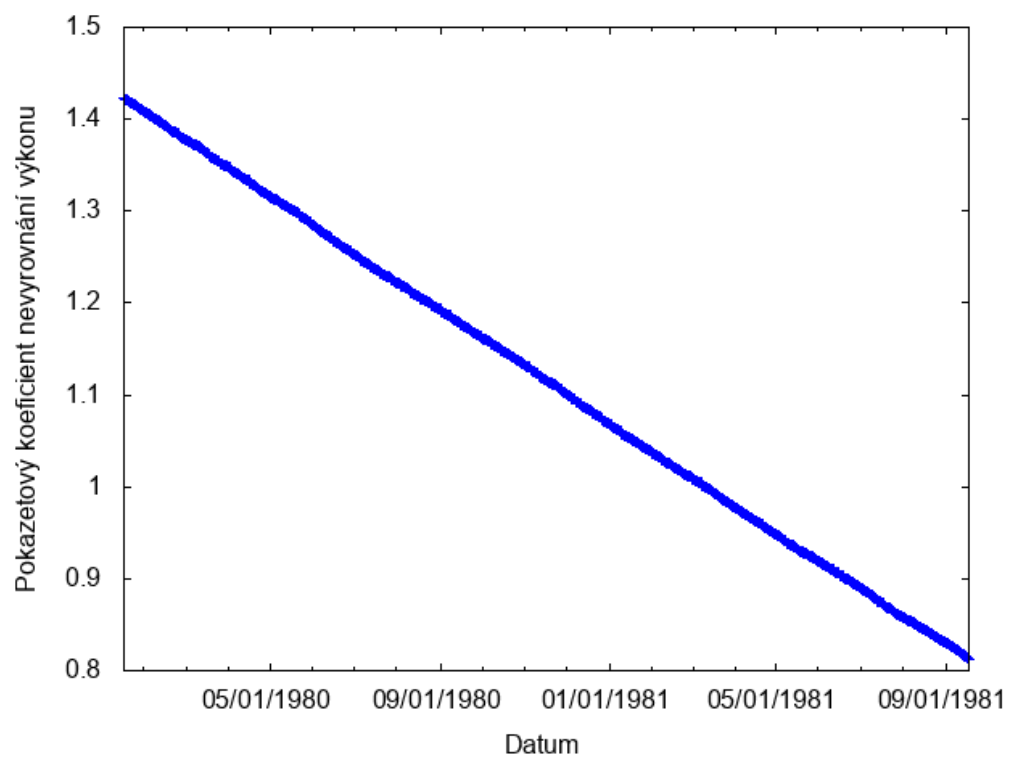
Axiální ofset



Koncentrace kyseliny borité

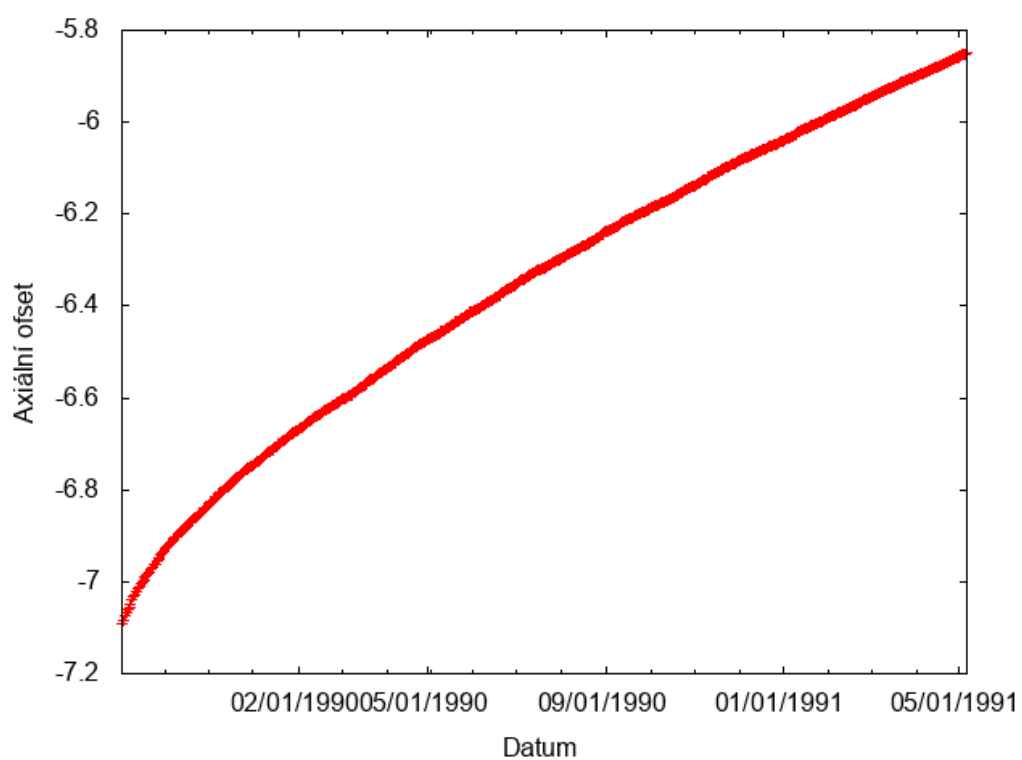


## Pokazetový koeficient nevyrovnání výkonu

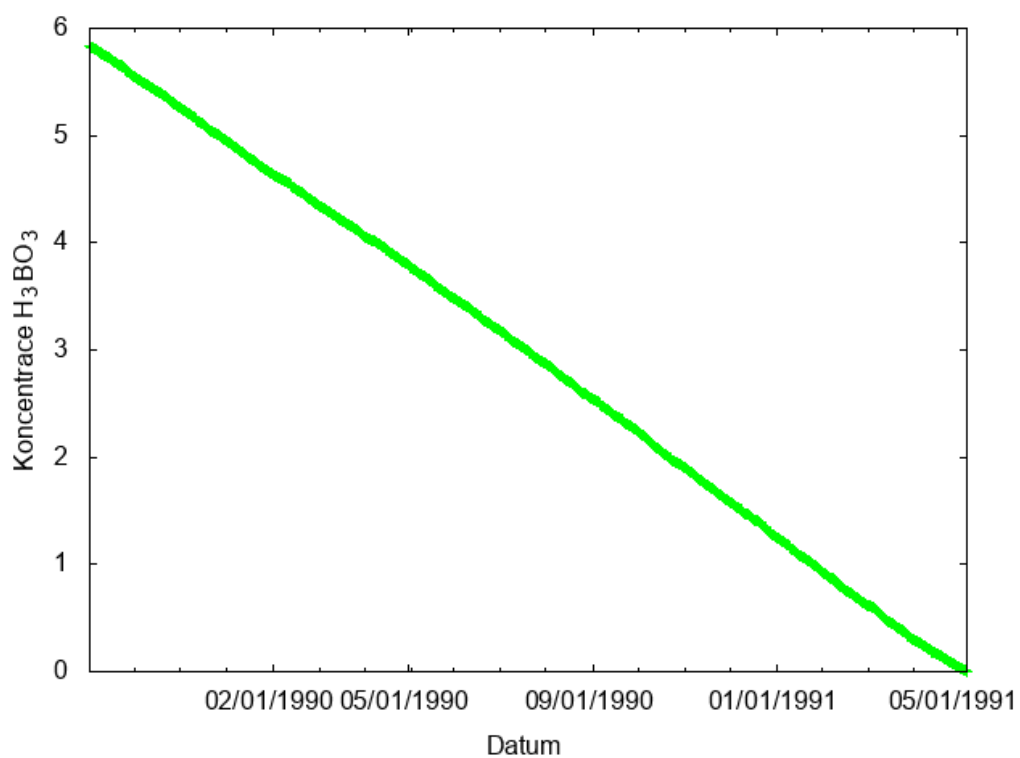


## Disneyland 10

Axiální ofset

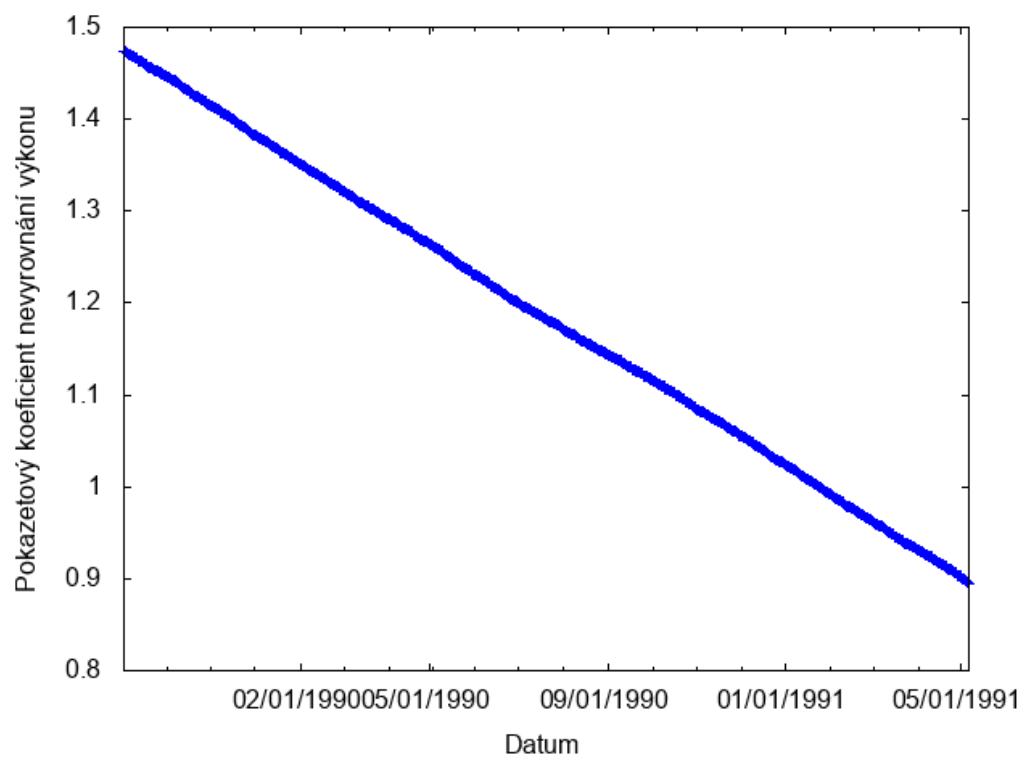


Koncentrace kyseliny borité



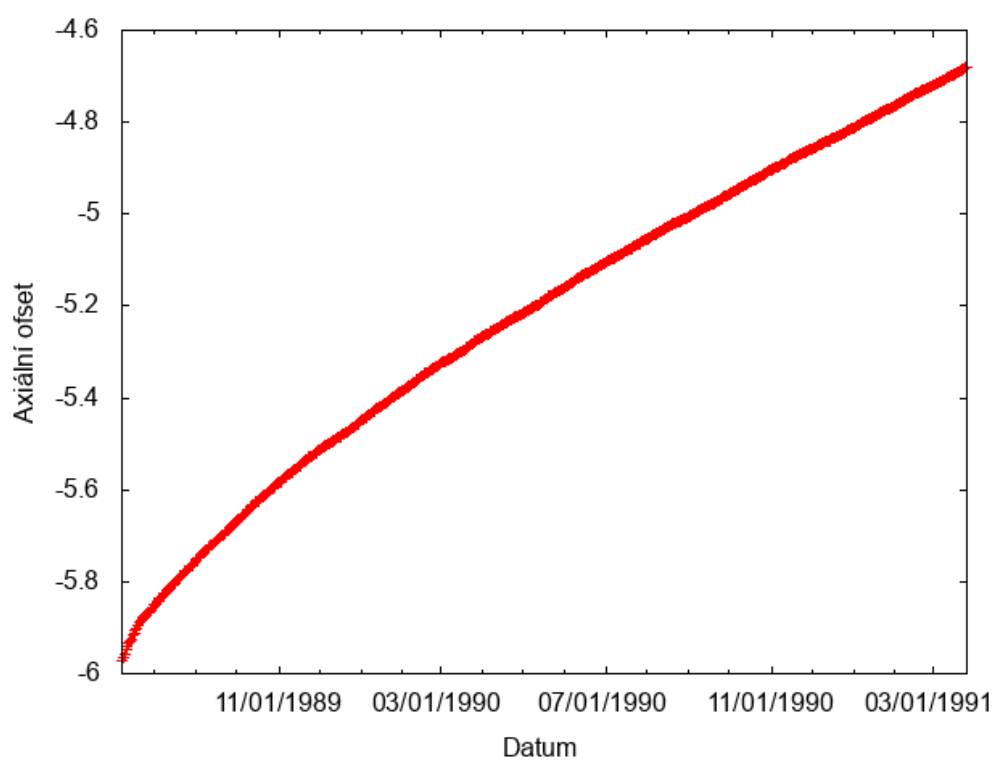


## Pokazetový koeficient nevyrovnání výkonu

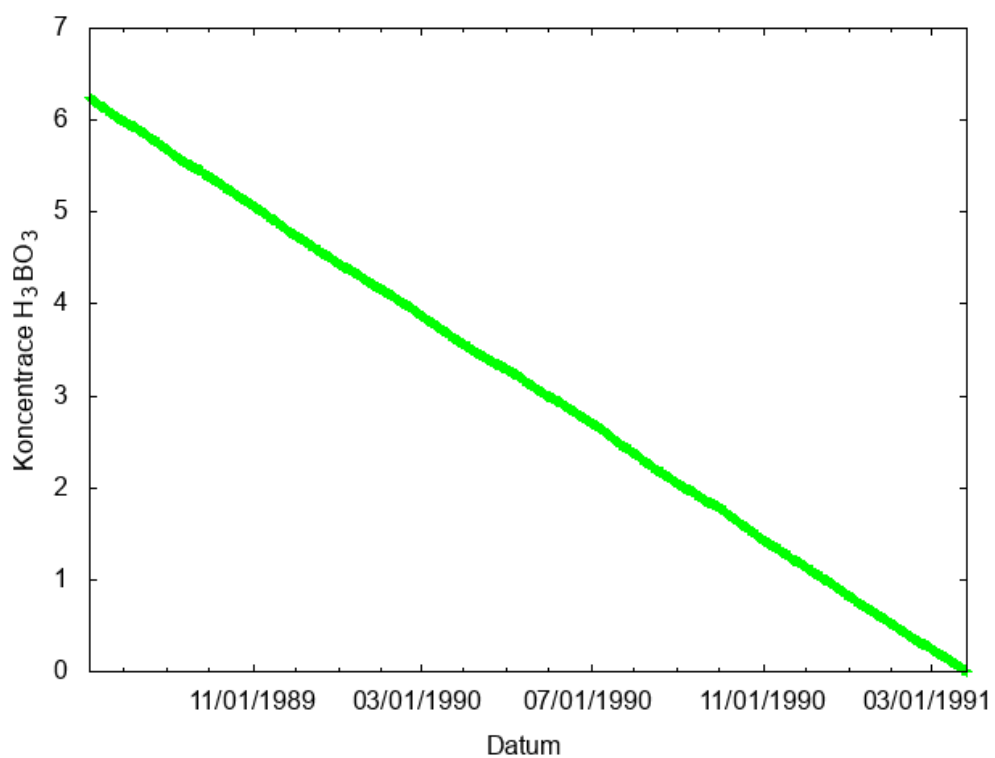


## Disneyland 11

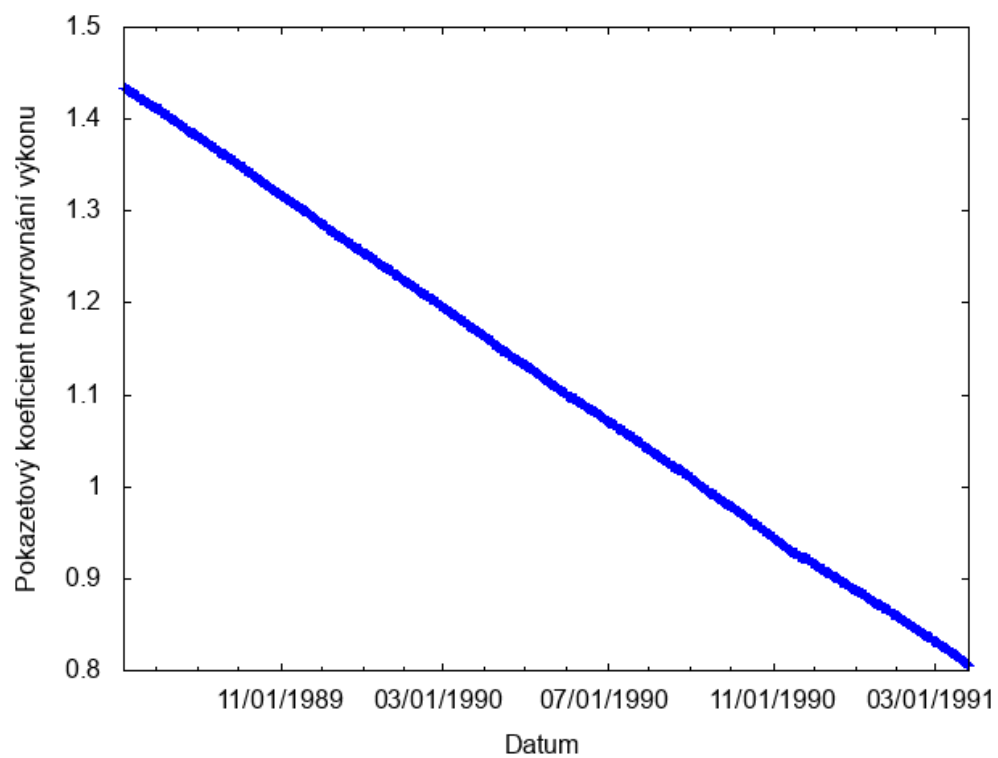
Axiální ofset



Koncentrace kyseliny borité

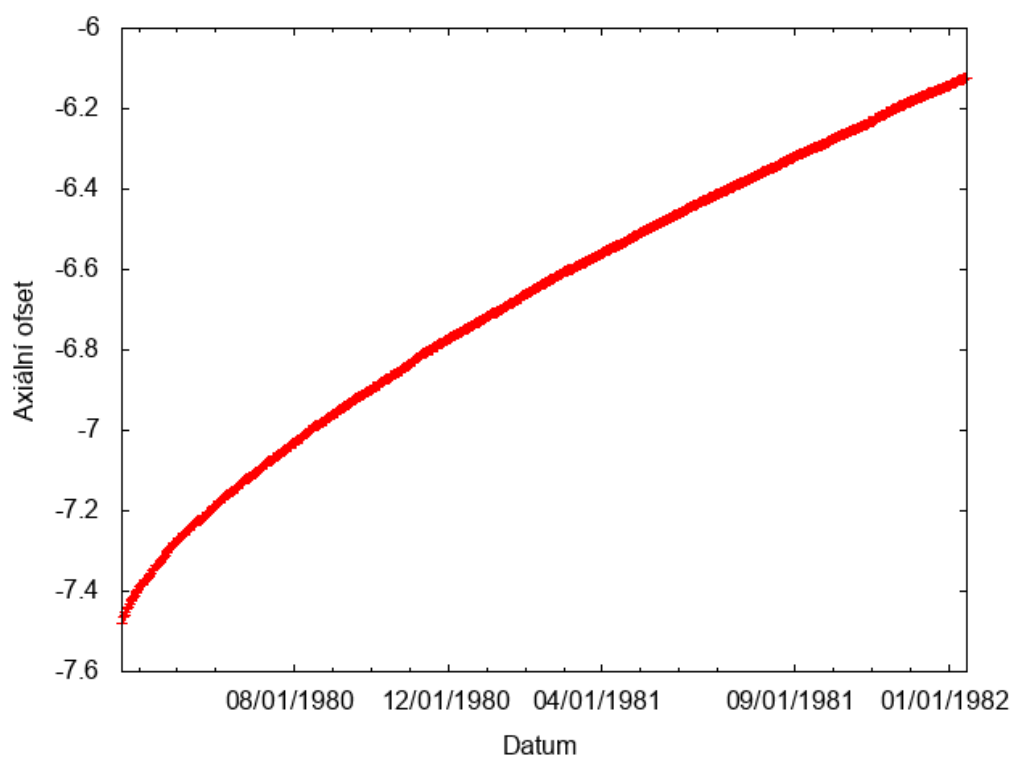


## Pokazetový koeficient nevyrovnání výkonu

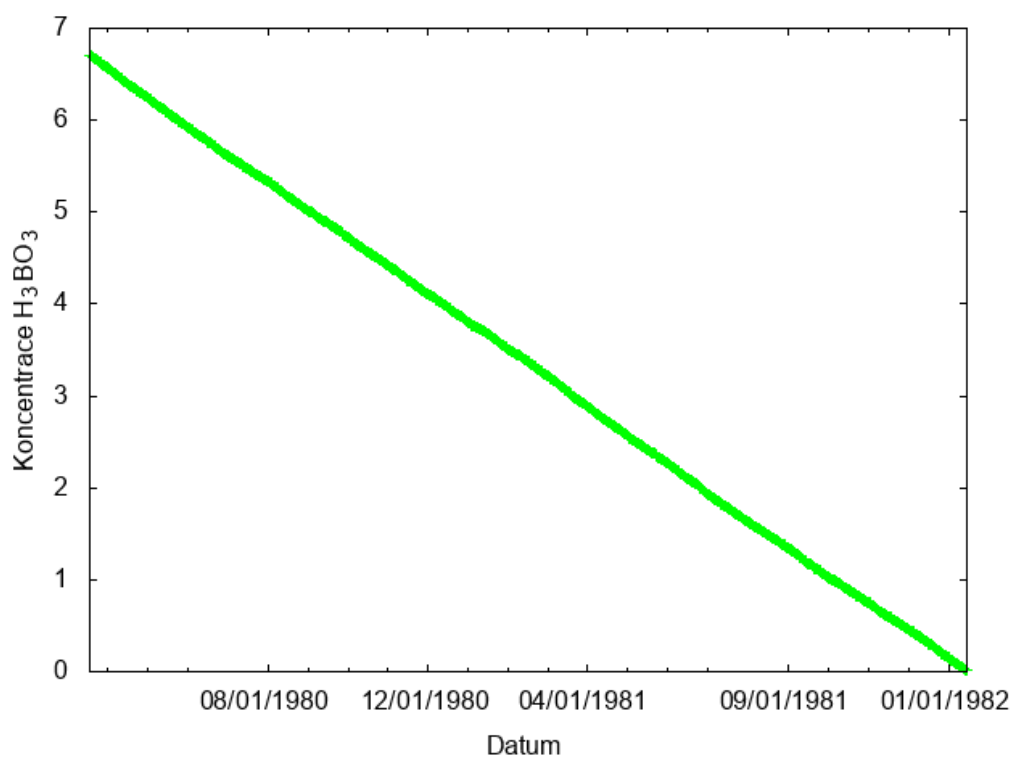


## Disneyland 12

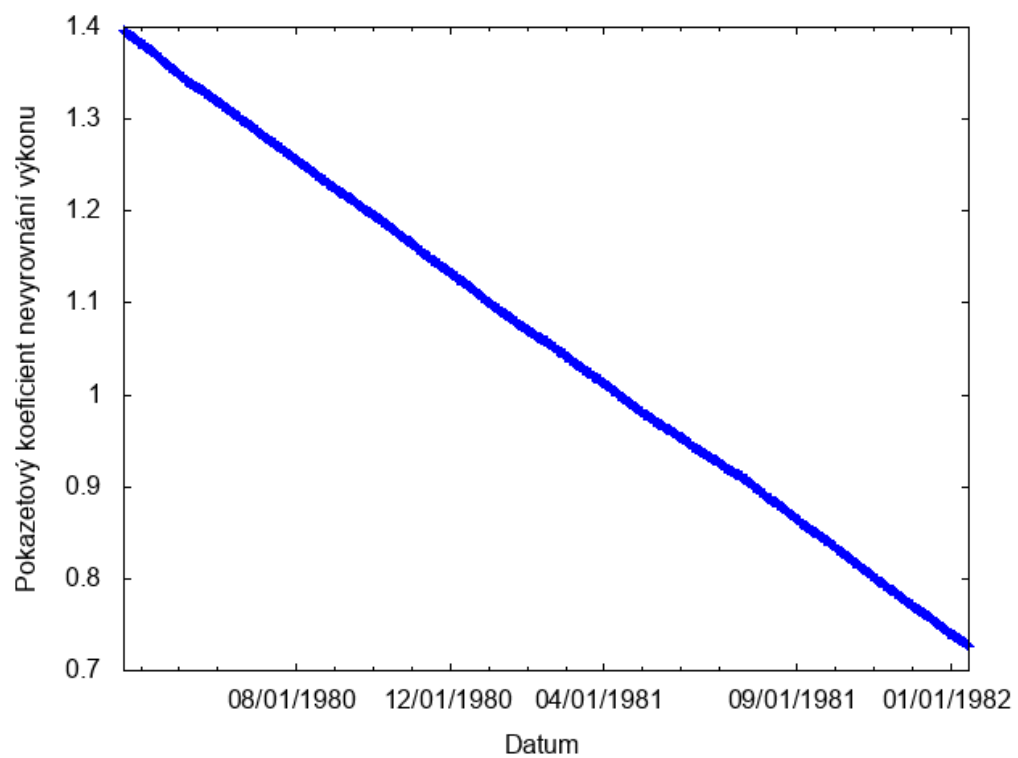
### Axiální ofset



### Koncentrace kyseliny borité

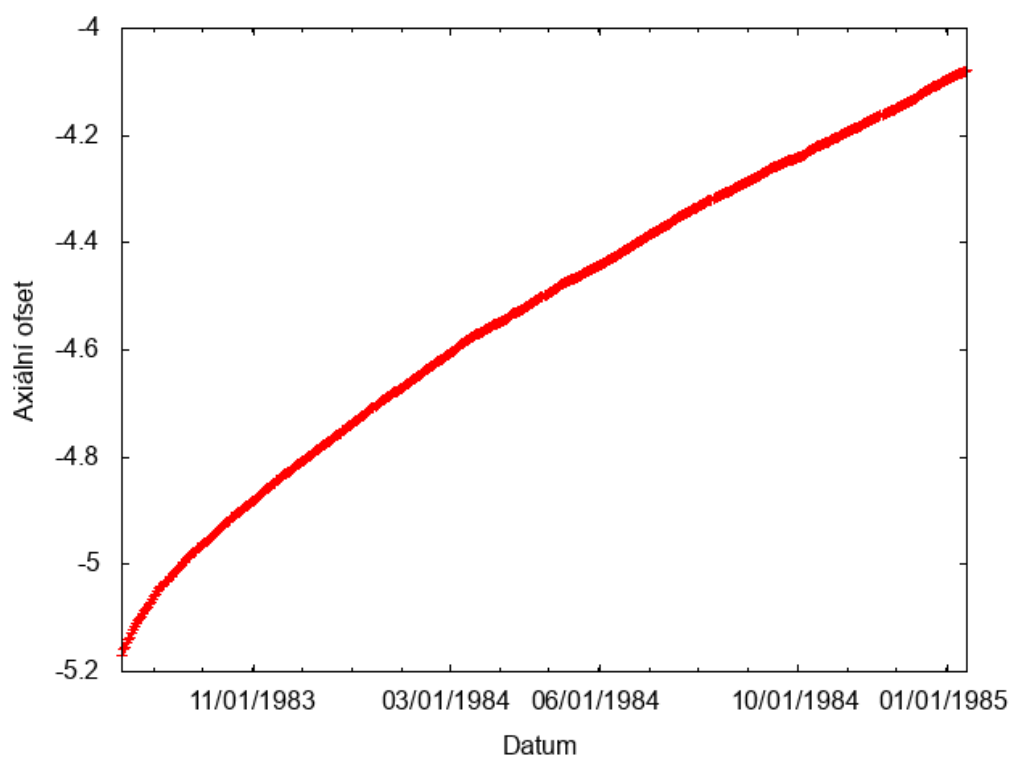


## Pokazetový koeficient nevyrovnání výkonu

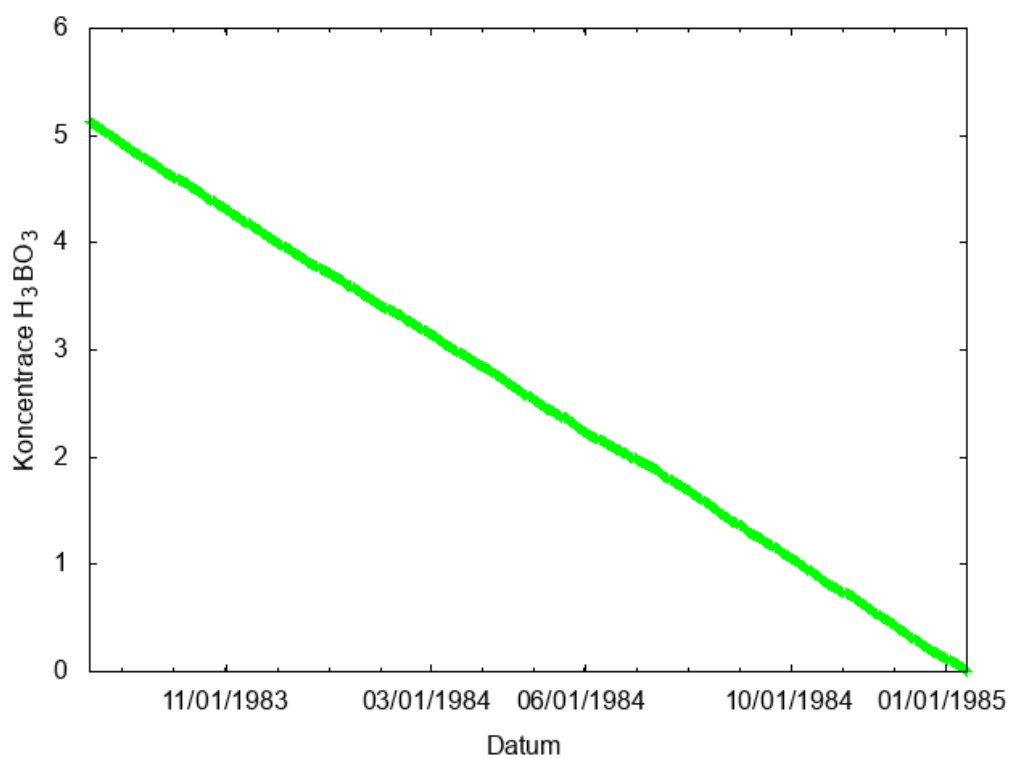


## Disneyland 13

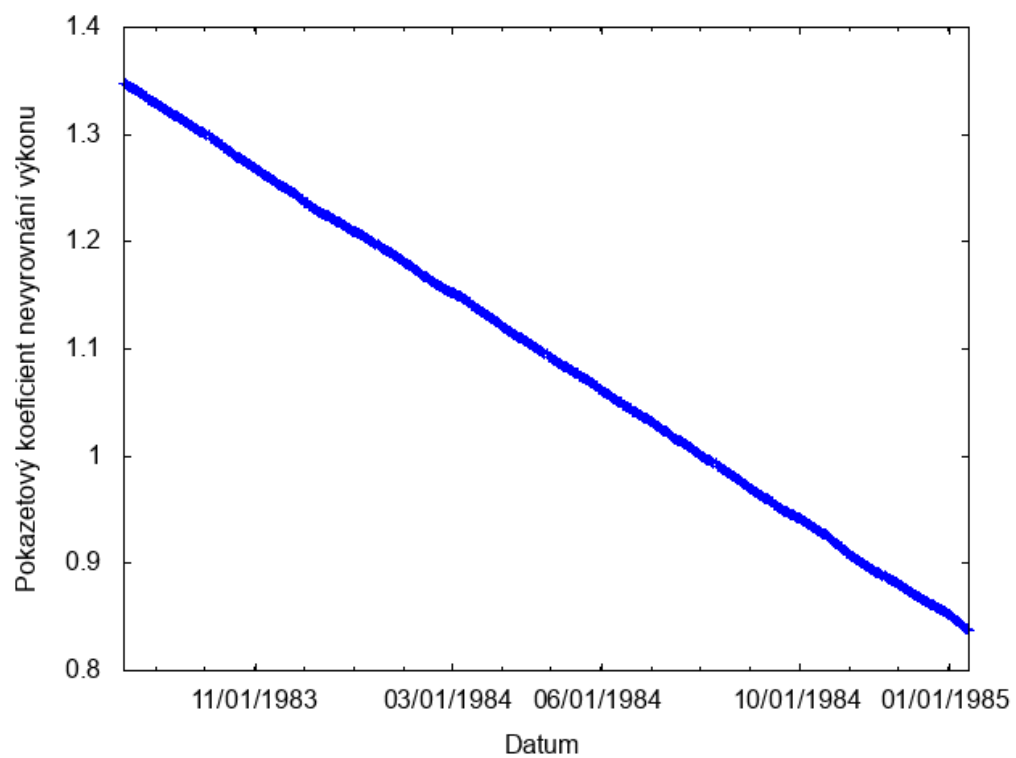
Axiální ofset



Koncentrace kyseliny borité

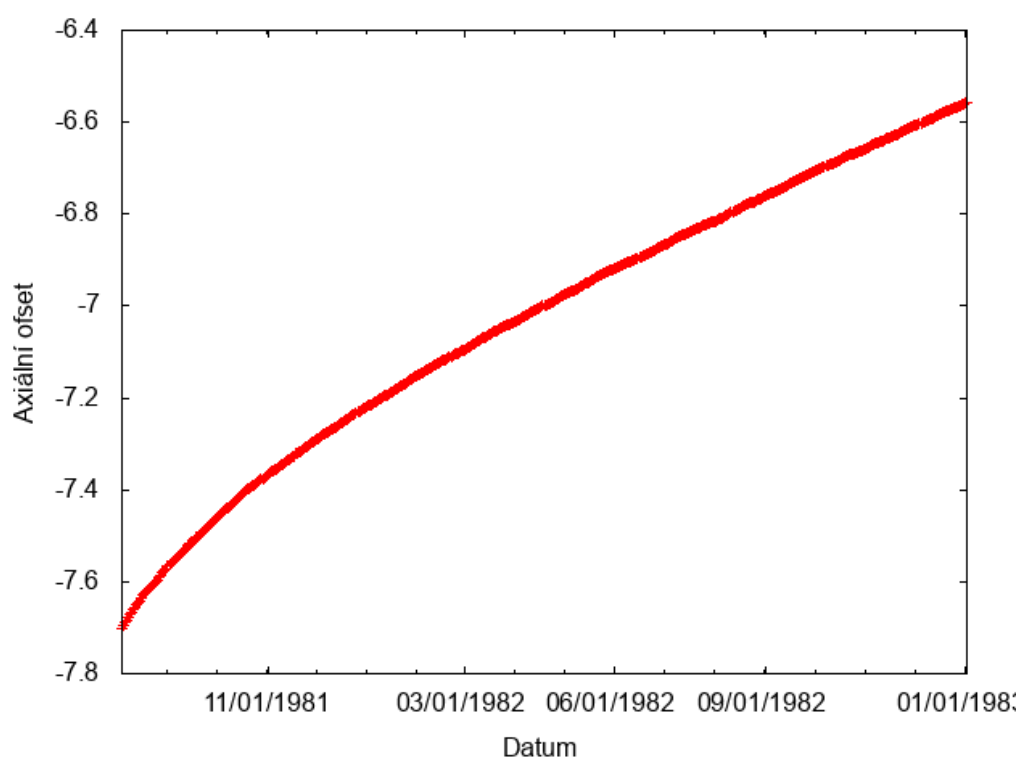


## Pokazetový koeficient nevyrovnání výkonu

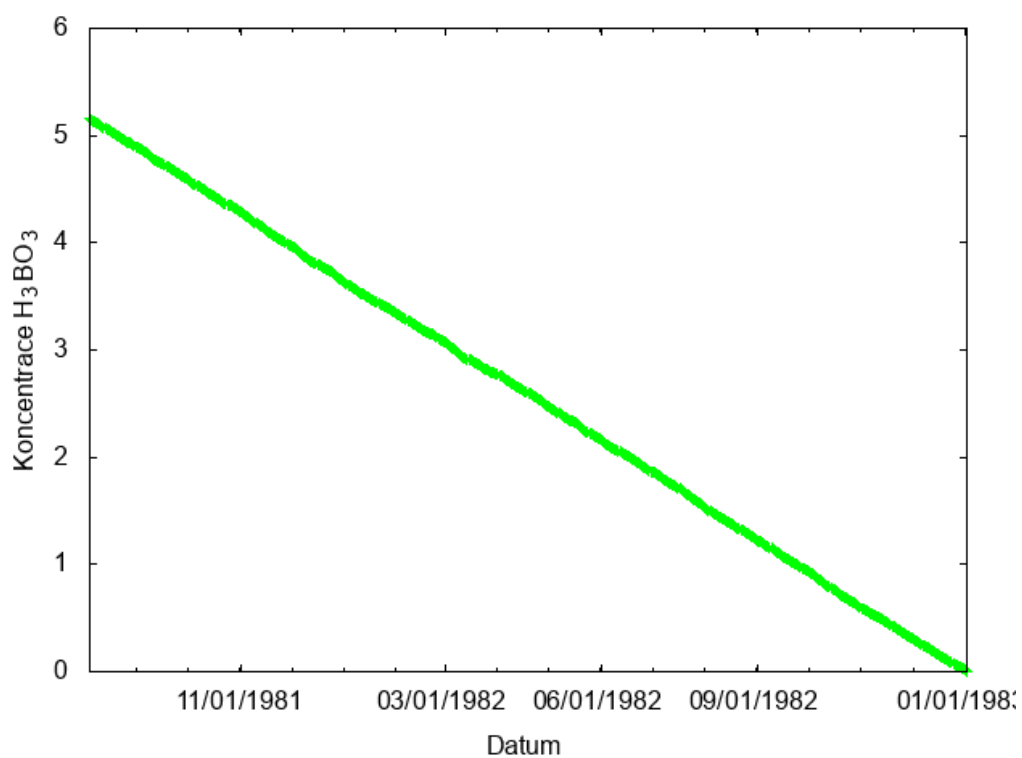


## Disneyland 14

Axiální ofset

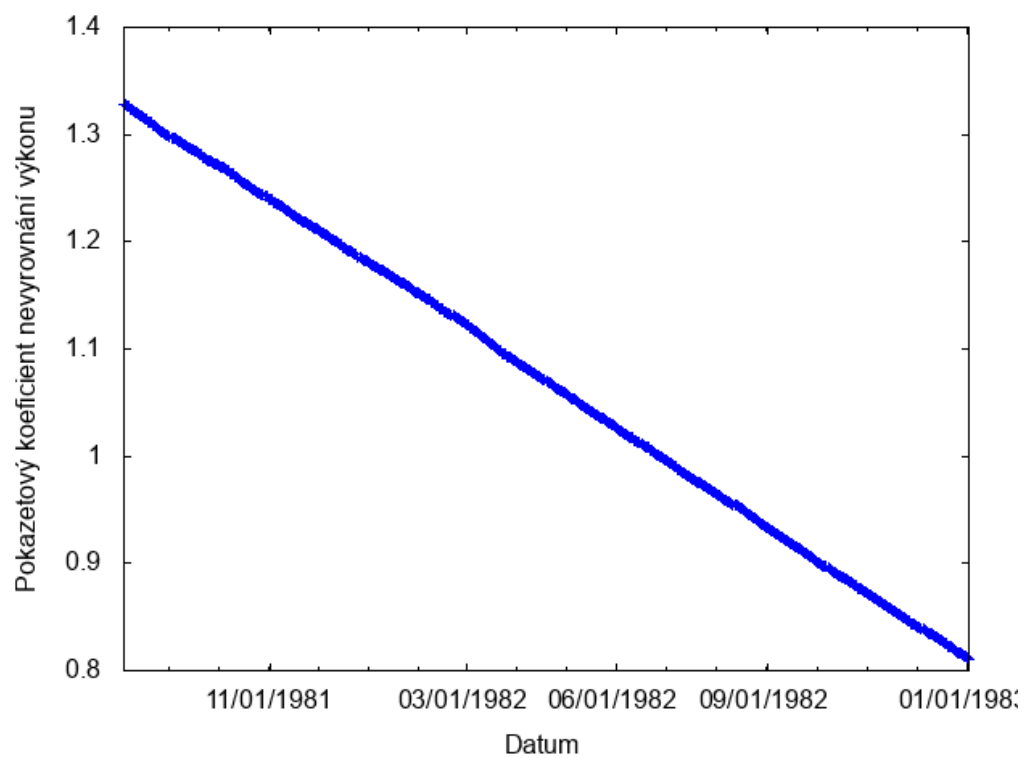


Koncentrace kyseliny borité



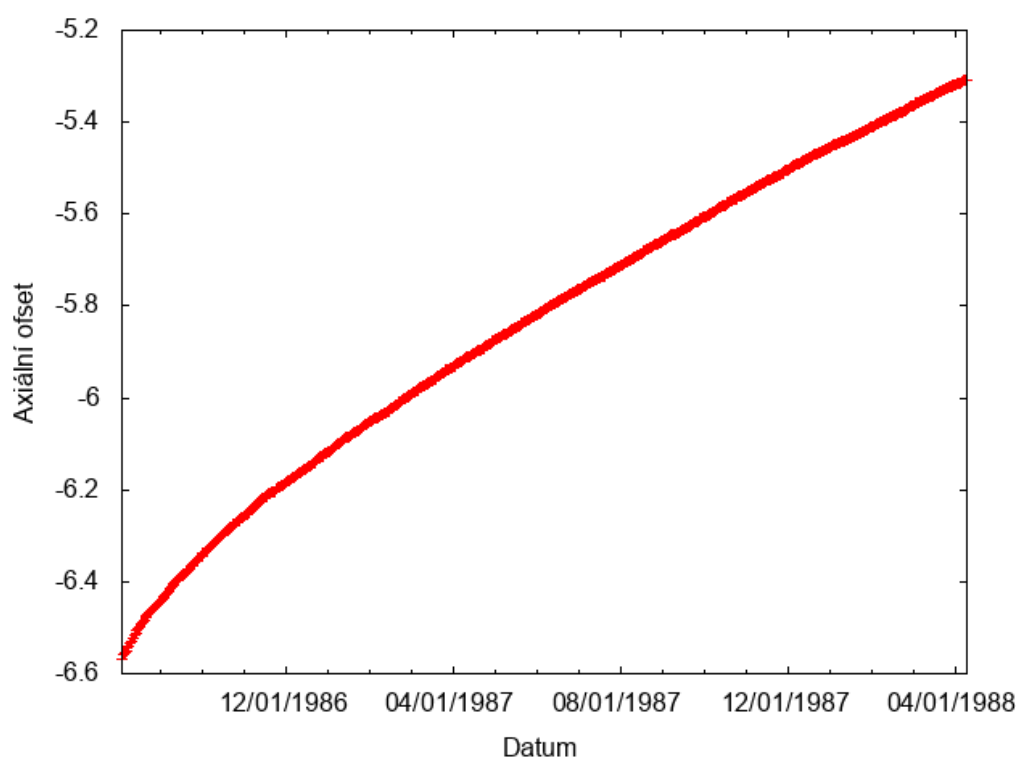


## Pokazetový koeficient nevyrovnání výkonu

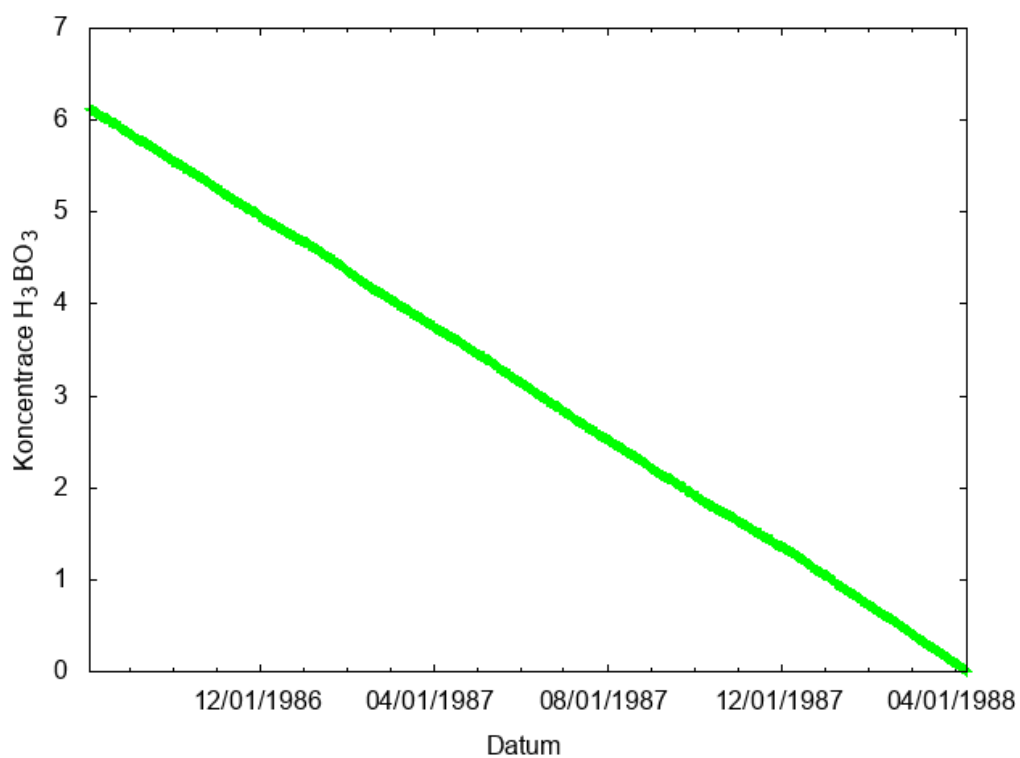


## Disneyland 15

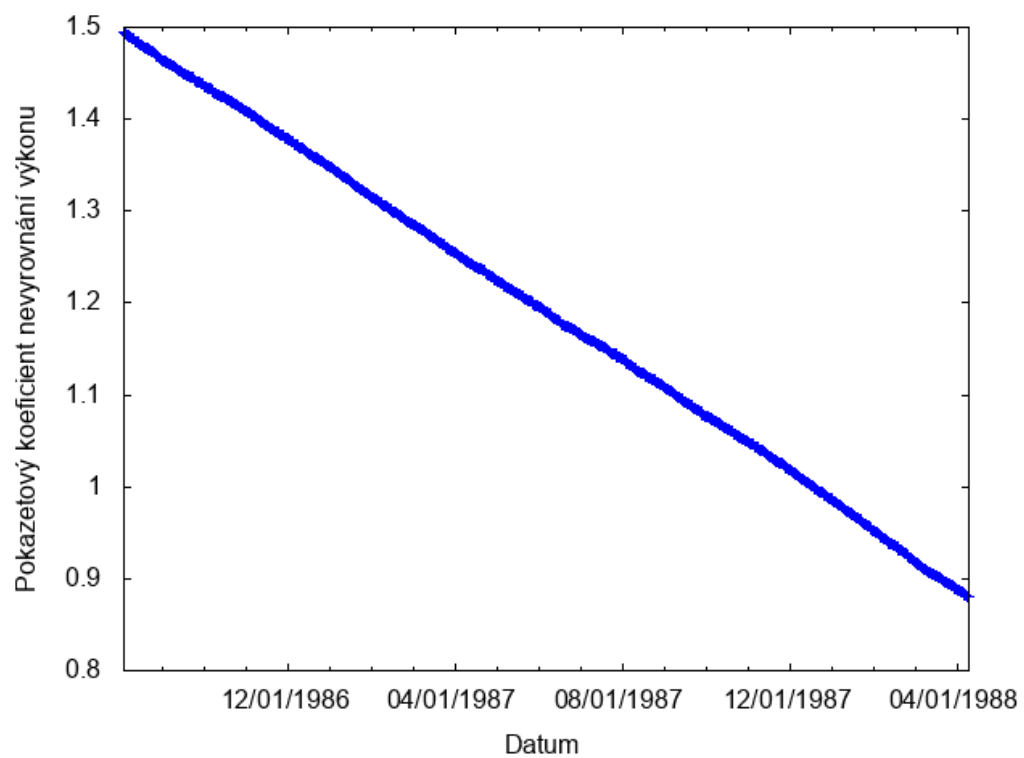
Axiální ofset



Koncentrace kyseliny borité

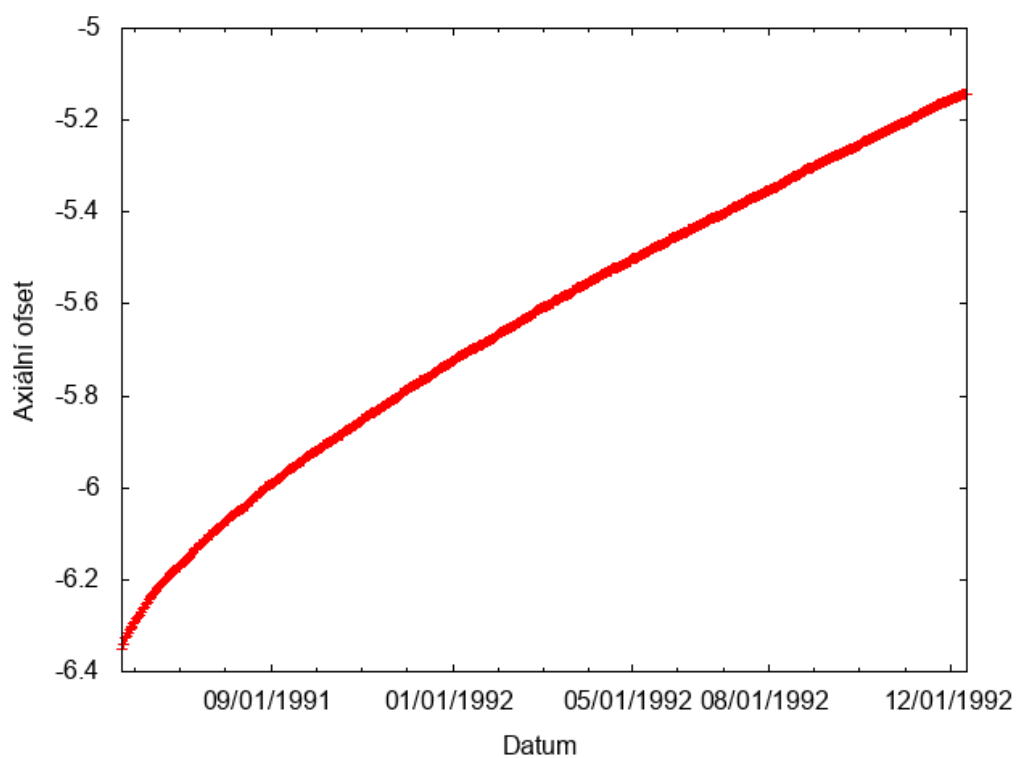


## Pokazetový koeficient nevyrovnání výkonu

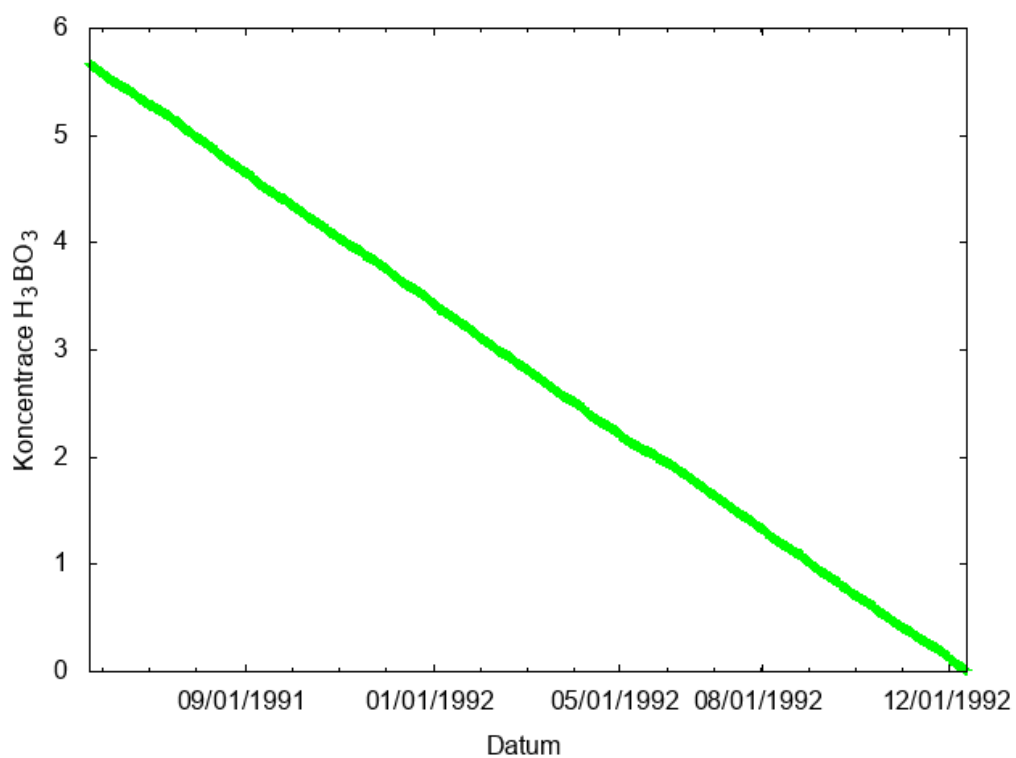


## Disneyland 16

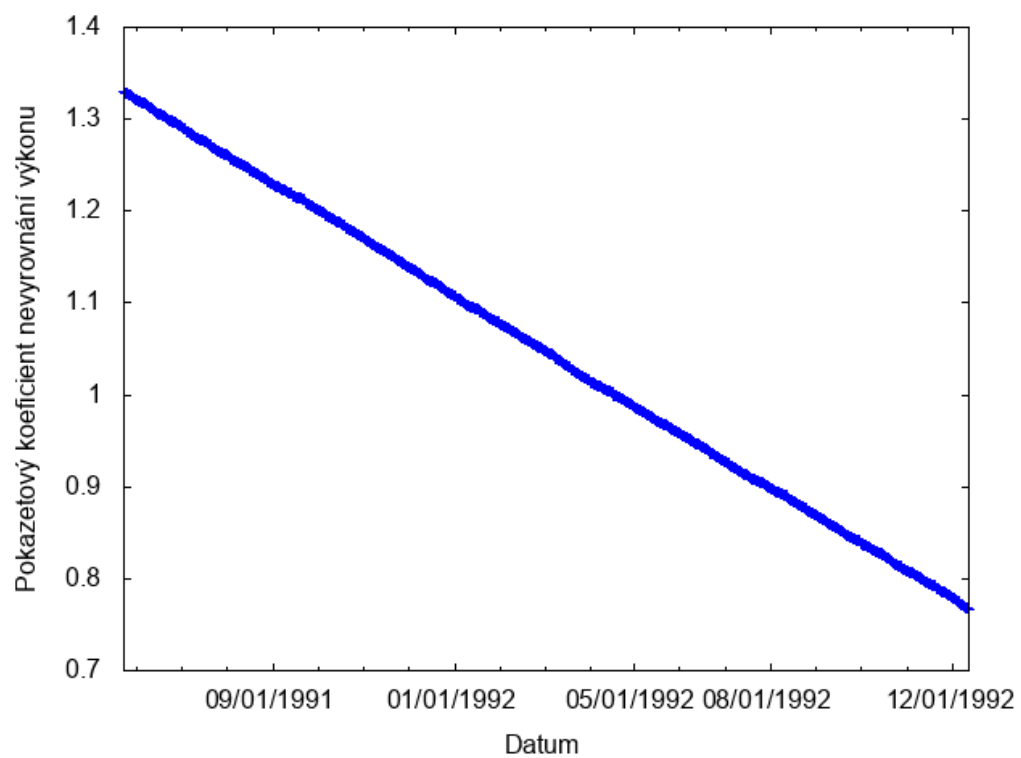
Axiální ofset



Koncentrace kyseliny borité

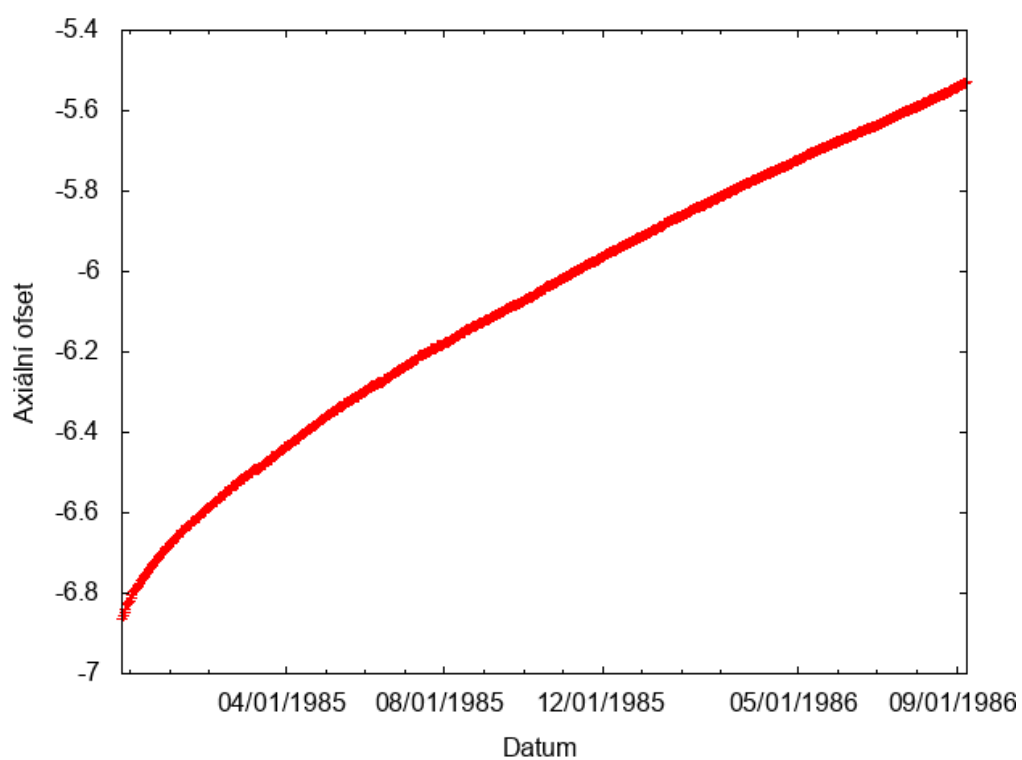


## Pokazetový koeficient nevyrovnání výkonu

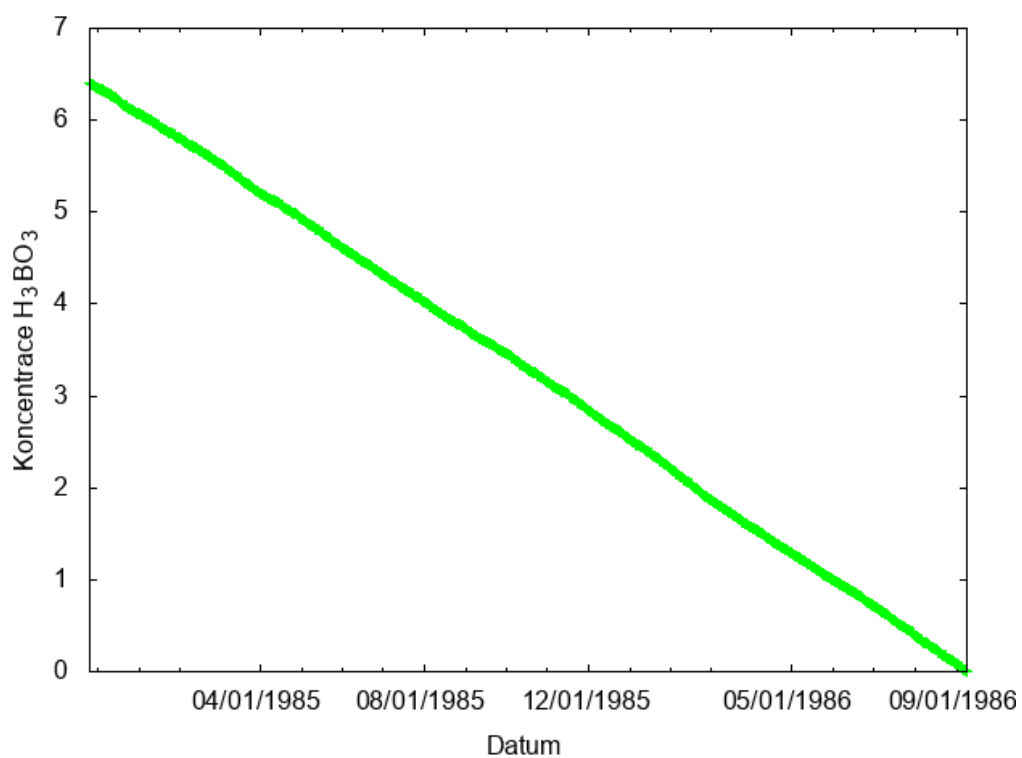


## Disneyland 17

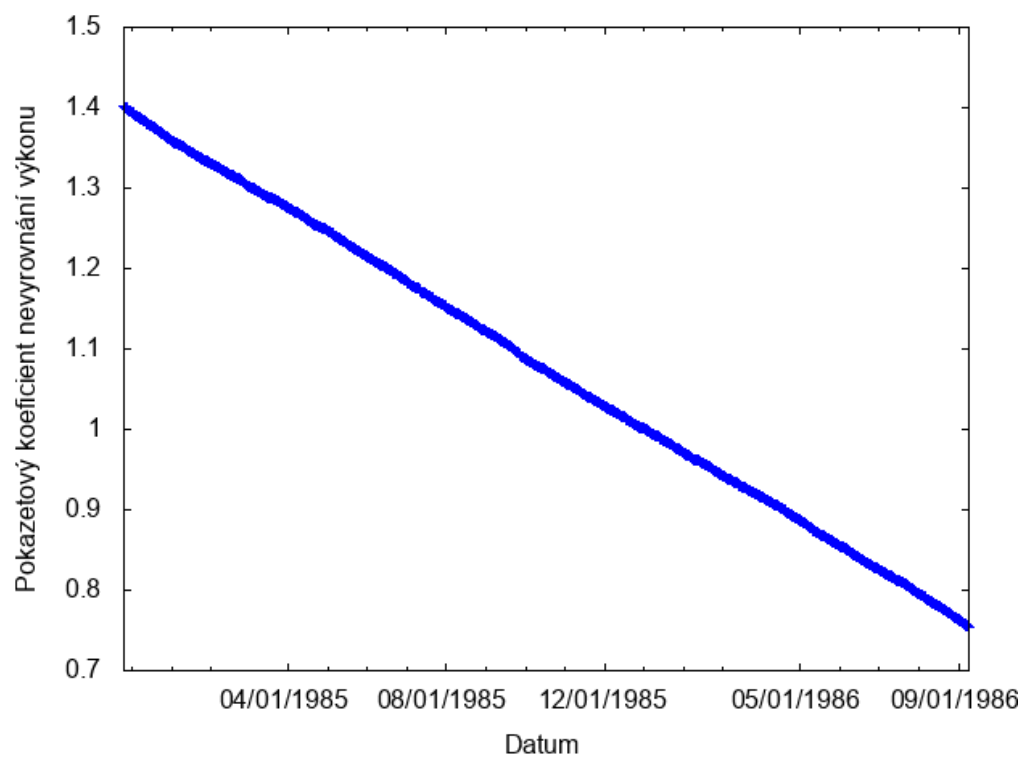
Axiální ofset



Koncentrace kyseliny borité

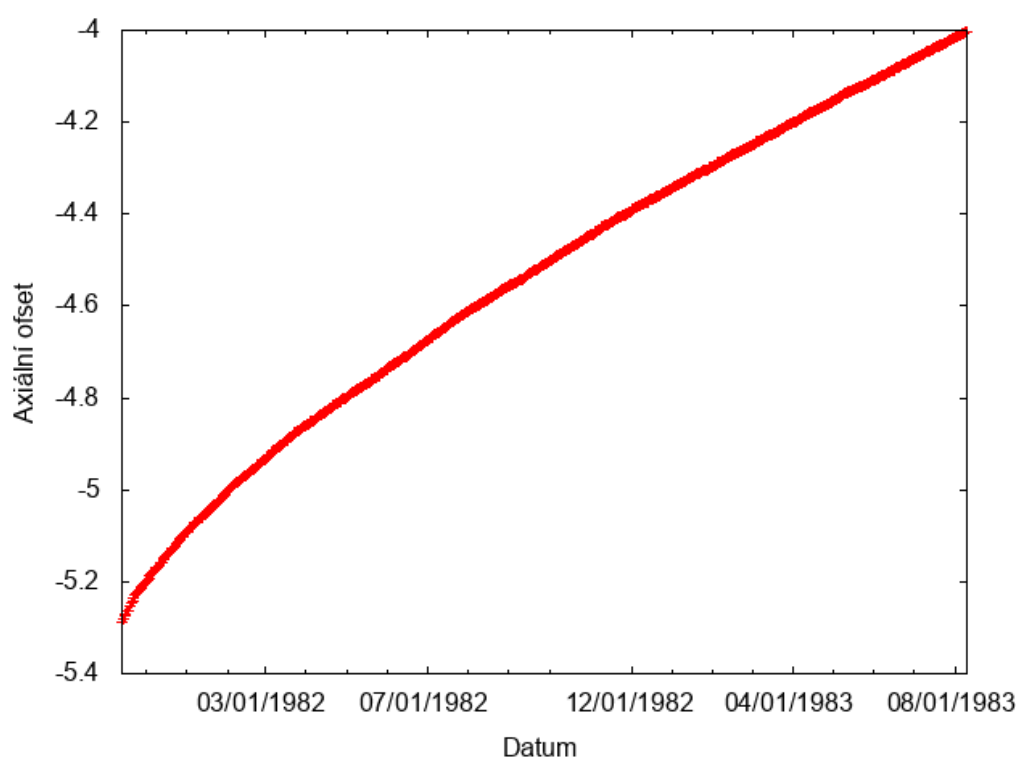


## Pokazetový koeficient nevyrovnání výkonu

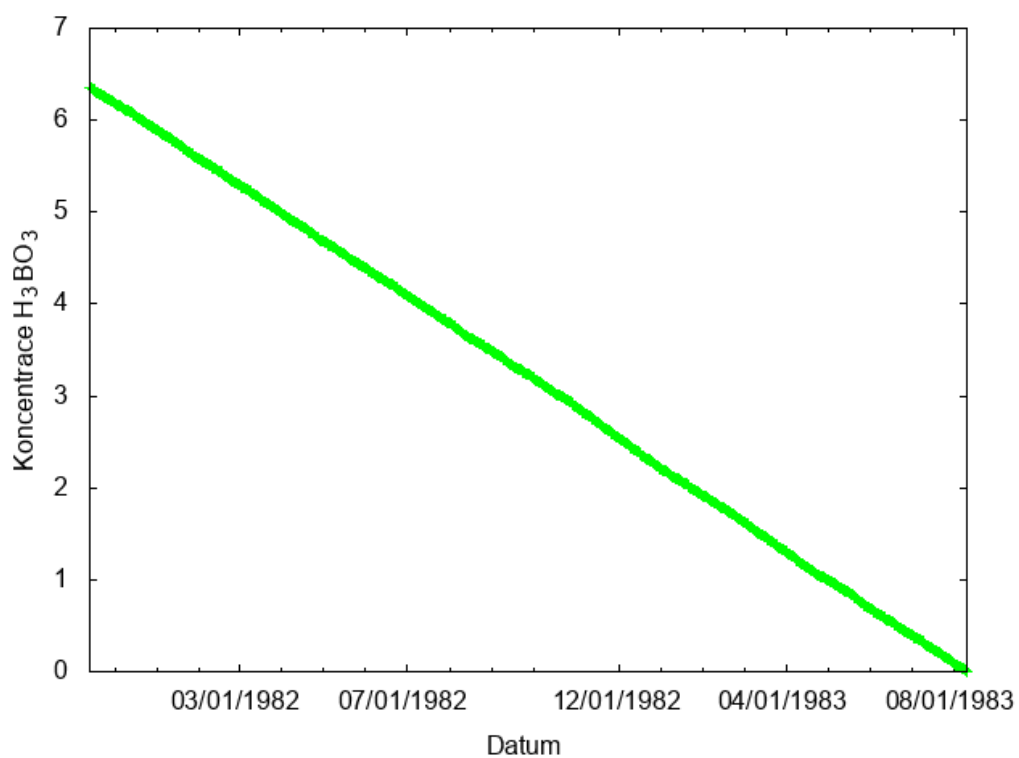


## Disneyland 18

Axiální ofset



Koncentrace kyseliny borité





## Pokazetový koeficient nevyrovnání výkonu

